



---

Fakulteta za kemijo  
in kemijsko tehnologijo

Doktorska disertacija

**RAZGRADNJA LIGNOCELULOZNEGA MATERIALA  
TRDNIH ORGANSKIH ODPADKOV Z GLIVO *PLEUROTUS  
OSTREATUS* PRED PROCESOM ANAEROBNE  
FERMENTACIJE V TRDNEM STANJU**

december, 2015

Nataša Belšak Šel





---

Fakulteta za kemijo  
in kemijsko tehnologijo

Nataša Belšak Šel

**RAZGRADNJA LIGNOCELULOZNEGA MATERIALA  
TRDNIH ORGANSKIH ODPADKOV Z GLIVO *PLEUROTUS  
OSTREATUS* PRED PROCESOM ANAEROBNE  
FERMENTACIJE V TRDNEM STANJU**

Doktorska disertacija

Maribor, 2015



---

Fakulteta za kemijo  
in kemijsko tehnologijo

# Razgradnja lignoceluloznega materiala trdnih organских odpadkov z glivo *Pleurotus ostreatus* pred procesom anaerobne fermentacije

Doktorska disertacija

Študent: Nataša Belšak Šel

Študijski program: Kemija in kemijska tehnika

Predvideni znanstveni naslov: doktorica znanosti

Mentor: red. prof. dr. Maja Leitgeb

Komentor: izr. prof. dr. Albin Pintar

Maribor, 2015



## Kazalo

Kazalo .....	I
Zahvala .....	III
Povzetek .....	IV
Abstract .....	V
Seznam tabel .....	VI
Seznam slik .....	VII
Uporabljeni simboli in kratice .....	IX
1 Uvod .....	1
1.1 Opredelitev problema .....	2
1.2 Pregled stanja znanosti .....	3
1.3 Doktorska teza .....	4
1.4 Namen in cilji .....	5
2 Teoreti ni del .....	6
2.1 Lignocelulozna biomasa .....	6
2.1.1 Sestava in struktura lignocelulozne biomase .....	6
2.1.2 Predobdelava lignocelulozne biomase .....	10
2.1.3 Lignocelulozni encimi in njihova vloga pri razgradnji lignoceluloze .....	12
2.1.4 Višje glive in njihova vloga pri razgradnji lignoceluloze .....	16
2.2 Anaerobna fermentacija za proizvodnjo metana .....	17
2.2.1 Potek anaerobne fermentacije .....	19
2.2.2 Dejavniki, ki vplivajo na proces anaerobne fermentacije .....	21
2.3 Osnovni koncept na rtovanja eksperimentov .....	23
2.3.1 Na rtovanje eksperimenta s Taguchi metodo .....	24
3 Eksperimentalni del .....	26
3.1 Materiali .....	26
3.1.1 Lignocelulozna biomasa .....	26
3.1.2 Pšeni ni otrobi .....	26
3.1.3 Vcepek glive <i>Pleurotus ostreatus</i> .....	27
3.1.4 Anaerobna mikrobnna biomasa .....	27
3.2 Metode dela .....	28
3.2.1 Test biometanskega potenciala s sistemom AMPTS .....	28
3.2.2 Anaerobna fermentacija v strnjem sloju .....	35
3.2.3 Proizvodnja lignoceluloznih encimov na trdnih gojiših z glivo <i>Pleurotus ostreatus</i> in ekstrakcija encimov .....	39
3.2.4 Optimizacija sestave gojiša za proizvodnjo lakaz glive <i>P. ostreatus</i> po Taguchi metodi .....	39
3.2.5 Saharifikacija LB in ostanka po anaerobni fermentaciji z encimskim ekstraktom glive <i>Pleurotus ostreatus</i> .....	40
3.3 Analizne metode .....	42
3.3.1 Določanje suhe snovi (SS) in organske snovi (OS) .....	42
3.3.2 Kemijska potreba po kisiku (KPK) .....	42
3.3.3 Elementna C, H, N in S sestava .....	43
3.3.4 pH vrednost .....	43
3.3.5 Določanje hlapnih maš obnih kislin v izcedni vodi s plinsko kromatografijo .....	43
3.3.6 Določanje vsebnosti celotnega dušika in celotnega organskega ogljika v izcedni vodi .....	43
3.3.7 Določanje alkalnosti izcedne vode .....	44

3.3.8 Spremljanje sestave bioplina iz pilotnih reaktorjev s prenosnim merilnikom za analiziranje deponijskega plina.....	44
3.3.9 Spremljanje sestave bioplina iz sistema AMPTS II na plinskem kromatografu..	44
3.3.10 Določanje encimskih aktivnosti .....	45
3.3.11 Določanje vsebnosti sladkorjev po encimski hidrolizi .....	51
4 Rezultati in diskusija.....	52
4.1 Določitev biometanskega potenciala s sistemom AMPTS II .....	52
4.1.1 Karakterizacija inkubacijskega inokuluma .....	52
4.1.2 Karakterizacija substratov.....	52
4.1.3 Karakterizacija testnih mešanic .....	54
4.1.4 pH vrednost testnih mešanic .....	55
4.1.5 Celokupna proizvodnja bioplina .....	55
4.1.6 Biometanski potencial in redukcija OS in KPK .....	58
4.1.7 Izplen metana .....	59
4.1.8 Izkoristek proizvodnje metana .....	60
4.2 Anaerobna fermentacija v pilotnem sistemu .....	61
4.2.1 Karakterizacija substratov na vhodu in izhodu procesa anaerobne fermentacije	61
4.2.2 Temperaturni profil v reaktorjih med procesom anaerobne fermentacije.....	62
4.2.3 Vpliv pretakanje izcedne vode na pH vrednosti izcedne vode .....	63
4.2.4 Vpliv pretakanja izcedne vode na sestavo bioplina .....	64
4.2.5 Redukcija OS in celokupna proizvodnja bioplina v reaktorju pilotnega sistema	67
4.2.6 Bioplinski in biometanski potencial.....	68
4.2.7 Vsebnost KPK, celotnega dušika, celotnega organskega ogljika, alkalnosti in hlapnih mašobnih kislin v izcedni vodi .....	69
4.2.8 Kurilna vrednost metana in energetska bilanca pilotnega sistema .....	71
4.3 Rast glive na različnih mešanicah PO in LB .....	73
4.4 Vpliv sestave substrata in inkubacijskega časa na encimsko aktivnosti .....	73
4.5 Optimizacija proizvodnje lakaz glive <i>P. ostreatus</i> z uporabo Taguchi metode .....	81
4.5.1 Vpliv parametrov na aktivnost lakaz .....	81
4.5.2 Analiza variance (ANOVA) .....	83
4.5.3 Potrditveni test .....	85
4.6 Encimska hidroliza LB in ostanka po fermentaciji.....	87
5 Razprava .....	90
6 Zaključek .....	93
7 Literatura .....	94
8 Življjenjepis .....	101
Izjava doktorskega kandidata .....	102
Bibliografija kandidata.....	103

## Zahvala

Zahvaljujem se vsem, ki so omogo ili in so mi bili v podporo pri nastanku te doktorske disertacije, predvsem pa Javni agenciji Republike Slovenije za spodbujanje podjetništva, inovativnosti, razvoja, investicij in turizma (SPIRIT) za finan no pomo .

Zahvaljujem se mentorici red. prof. dr. Maji Leitgeb, somentorju prof. dr. Albinu Pintarju in raziskovalnemu mentorju dr. Štefanu elanu za usmerjanje ter strokovne in znanstvene nasvete. Posebno zahvalo namenjam doc. dr. Dušanu Klinarju za nesebi no pomo pri izvajanju raziskovalnega dela ter strokovno pomo pri pripravi disertacije.

Zahvaljujem se prof. dr. Albinu Pintarju, da mi je omogo il izvajanje raziskav v Laboratoriju za okoljske vede in inženirstvo (Kemijski inštitut) ter zaposlenim v laboratoriju za pomo pri izvajanju eksperimentov in analiz.

Iskrena hvala Komunalnemu podjetju Ptuj za omogo eno izvajanje raziskav in analiz v njihovem laboratoriju. Posebno zahvalo namenjam dr. Brigit Tepuš in ostalim zaposlenim v laboratoriju, ki so mi bili vedno pripravljeni pomagati.

Za podporo in pomo se zahvaljujem vsem sodelavcem ZRS Bistra Ptuj. Ob tem se zahvaljujem tudi družini za izkazano podporo pri študiju. Posebna zahvala je namenjena Bojanu, ki mi je prisko il na pomo pri vsaki tehni ni težavi, ter pri izdelavi reaktorskega sistema. Zahvala velja tudi za njegovo moralno podporo skozi celotni študij.

## Povzetek

Omejeni viri, visoke cene in okoljski vpliv fosilnih goriv narekujejo razvoj alternativnih virov energije, med katere spada tudi proizvodnja energije iz lignocelulozne biomase. Lignocelulozna biomasa (LB) kmetijskih, vrtnih in gozdarskih ostankov se v veliki koli ini kopii na regionalnem zbirnem centru za ravnanje z odpadki, kjer jo uporabijo v procesu kompostiranja. Z našo nalogo smo raziskali možnosti proizvodnje bioplina iz lokalno zbrane LB. S tem namenom smo optimirali in nadgradili proces anaerobne fermentacije LB za pridobitev biometana, obnovljivega vira energije. Izdelali smo pilotni sistem šaržnih reaktorjev s strnjeno slojem in križnim pretakanjem izcedne vode, z namenom simulacije procesa na ustrezeni velikosti glede na vstopno biomaso.

Pri izvedbi eksperimentov v reaktorjih na pilotnem merilu, smo glavni poudarek namenili študiji vpliva pretakanja izcedne vode med reaktorji na proizvodnjo bioplina. Rezultati tovrstnih poskusov so pokazali, da je pretakanje izcedne vode med reaktorji ključno nega pomena za stabilnost procesa in povečano proizvodnjo bioplina.

Raziskave kažejo, da je proizvodnjo bioplina iz LB mogočno povečati z uinkovito predobdelavo. Nadgradnjo procesa anaerobne fermentacije smo izvedli z biološko predobdelavo LB. In sicer smo glivo *P. ostreatus* gojili direktno na LB, v nadaljevanju smo za razgradnjo LB uporabili le encime glive. V laboratorijskem sistemu AMPTS smo določili biometanski potencial LB in LB preraščeni z glivo. Postopek predobdelave LB, pri katerem smo glivo gojili direktno na vzorcih LB, se je izkazal za neuinkovitega, saj je bil biometanski potencial vzorcev preraščenih z glivo mnogo nižji od biometanskega potenciala LB, ki ni bil izpostavljen nobeni predobdelavi.

Naše raziskave smo nato nadaljevali v smeri gojenja glive na trdnem gojišču, sestavljenem iz pšeničnih otrobov in lignocelulozne biomase, in nato pridobivanja hidrolitov in oksidativnih encimov. Iz rezultatov encimskih aktivnosti smo ugotovili, da je gliva *P. ostreatus*, proizvedla celulitične encime v manjših količinah, medtem ko so bile lakaze, ki spadajo med ligninolitične encime, proizvedene v velikih količinah. Glede na to, da veljajo lakaze tudi za industrijsko zanimive encime, smo z optimizacijo po Taguchi metodi raziskovali vpliv sestave gojišča na produktivnost lakaz. Optimizacija gojišča s Taguchi ortogonalno matriko L18 ( $2^7 \times 3^7$ ) se je izkazala za uspešno metodo, s katero smo pridobili podatke za sestavo gojišča na katerem izločili glivo *P. ostreatus* največ lakaz.

Za primerjavo uinkovitosti razgradnje LB z encimskim ekstraktom, pridobljenim iz gojišča *P. ostreatus*, smo uporabili dva komercialna encima. Rezultati so pokazali, da je encimski ekstrakt uinkovit pri razgradnji LB, kakor tudi pri razgradnji trdnega ostanka po fermentaciji.

**Ključne besede:** lignocelulozna biomasa, anaerobna fermentacija, lignocelulozni encimi, *Pleurotus ostreatus*, encimska hidroliza

**UDK:** [602.42:577.152.3]:630\*86(043.3)

## Abstract

The limited resources, high cost and the environmental impact of fossil fuels require the development of alternative energy sources, which include energy production from lignocellulosic biomass (LB). LB from agricultural, garden and forestry residues has been accumulated in large quantities at a regional collection centre for waste management, where it is used in the composting process. In our study, we discussed the possibility of biogas production from locally collected LB. In this purpose, we optimized and upgraded the anaerobic digestion process of LB for biomethane production, a renewable energy source. We have made our system of batch reactors with fluidized bed and leachate recirculating system, and we followed the principle of cost effectiveness production of reactors system.

In carrying out the experiments in the reactors system on a pilot scale, the emphasis has been given to the study of leachate recirculation impact between reactors on the biogas production. The results of these experiments showed the crucial importance of leachate recirculation between reactors on the process stability and increased biogas production.

Researchers have shown that the production of biogas from the LB can be enhanced by an effective pre-treatment. We have upgraded our anaerobic digestion process with LB biological pre-treatment. Biological pre-treatment has been carried out with *P. ostreatus* cultivation directly on LB samples and in the continuation of pre-treatment study only the enzymes from *P. ostreatus* have been used. Biomethane potential has been determined by laboratory AMPTS system for LB and pretreated LB, respectively. Pre-treatment process with direct fungi cultivation on LB has been proved as ineffective since the biomethane potential of these samples has been much lower than the biomethane potential of LB, which has not been treated with any pre-treatment.

We continued our research in the field of fungi cultivation on solid state culture medium composed of wheat bran and LB with the aim of hydrolytic and oxidative enzymes production. From the results of enzyme activities, we found out that *P. ostreatus* has been, in our case, poor cellulolytic enzymes producer, but on the contrary laccases, known as enzymes for lignin degradation, have been produced in large quantities. According to the possibility of laccase application at industrial scale, we have been carried out optimization of culture medium for laccase production with Taguchi method. Optimization of culture medium with Taguchi orthogonal array L18 ( $2^1 \times 3^7$ ) has been proved as a successful method for obtaining the data of culture medium composition, which served as medium for maximum laccase production of *P. ostreatus*.

To compare the efficiency of LB degradation of enzyme extract obtained from *P. ostreatus* cultivation, we have been used two commercial enzymes. The results showed an efficiency of enzyme extract in the LB and digestate degradation, respectively.

**Key words:** lignocellulosic biomass, anaerobic digestion, lignocellulosic enzymes, *Pleurotus ostreatus*, enzymatic hydrolysis

**UDK:** [602.42:577.152.3]:630\*86(043.3)

## Seznam tabel

Tabela 2.1: Vsebnost celuloze, hemiceluloze in lignina za različni lesni odpad [9]. ....	7
Tabela 2.2 Različne tehnike predobdelave. ....	11
Tabela 3.1: Oznake in karakteristike rasti glice na vzorcih, uporabljenih v sistemu AMPTS II za določitev biometanskega potenciala. ....	28
Tabela 3.2: Faktorji in nivoji eksperimentalnega načrtovanja. ....	40
Tabela 4.1: Lastnosti inokuluma uporabljenega v sistemu AMPTS. ....	52
Tabela 4.2: Vsebnost SS, OS, KPK ter $H_c^\circ$ vzorcev uporabljenih v sistemu AMPTS. ....	52
Tabela 4.3: CHNS analiza vzorcev uporabljenih v sistemu AMPTS. ....	53
Tabela 4.4: Karakteristike testnih mešanic. ....	54
Tabela 4.5: Začetna in končna pH vrednost testnih mešanic. ....	55
Tabela 4.6: Bioplinski in biometanski potencial substratov. ....	58
Tabela 4.7: Redukcija OS in KPK med procesom anaerobne fermentacije v sistemu AMPTS. ....	59
Tabela 4.8: Izplen metana glede na reducirano KPK. ....	59
Tabela 4.9: Izkoristek proizvodnje metana. ....	60
Tabela 4.10: Vsebnost SS, OS, pH, dušika po Kjeldahlu in celotnega organskega ogljika v vhodnem in izhodnem vzorcu anaerobne fermentacije. ....	61
Tabela 4.11: Redukcija OS in celokupna proizvodnja bioplina in metana v reaktorju pilotnega sistema. ....	67
Tabela 4.12: Bioplinski (BPP) in biometanski potencial (BMP) LB v pilotnem sistemu. ....	68
Tabela 4.13: Kurilna vrednost in izkoristek vzorca anaerobne fermentacije v trdnem stanju. ....	71
Tabela 4.14: Energetska bilanca reaktorja iz pilotnega sistema. ....	72
Tabela 4.15: Eksperimentalni načrt z uporabo Taguchi L18 ortogonalne matrike z rezultati aktivnosti lakaz. ....	82
Tabela 4.16: Tabela srednjih vrednosti ("Več je boljše"). ....	83
Tabela 4.17: Analiza variance srednjih vrednosti (ANOVA). ....	84
Tabela 4.18: Optimalni pogoji za proizvodnjo lakaz in njihov prispevek. ....	85
Tabela 4.19: Rezultati potrditvenega eksperimenta. ....	86
Tabela 4.20: Specifične aktivnosti encimov, uporabljenih za test encimske hidrolize. ....	87
Tabela 4.21: Vsebnost glukoze po encimski hidrolizi. ....	88

## Seznam slik

Slika 2.1:Struktura lignoceluloze [22].....	7
Slika 2.2: Kemija strukture celuloze [25]. .....	8
Slika 2.3: Komponente hemiceluloze [25]. .....	8
Slika 2.4: Fenilpropanske predhodne enote polimerne lignina [29].....	9
Slika 2.5: Shema sestave lignina golosemenk, ki predstavlja razli no vezavo med enotami fenil propana [4]. .....	10
Slika 2.6: Shematski prikaz hidrolize amorfne in mikro kristalini ne celuloze z ne kompleksnim sistemom celulaz. Polni kvadrati predstavljajo reducirane konce, prazni kvadrati predstavljajo ne reducirane konce [38].....	13
Slika 2.7: Mehanizem hidrolize celuloze s celulazami [39].....	13
Slika 2.8: Kemi na struktura in razgradnja hemiceluloze [41]. .....	14
Slika 2.9: Bakrovi centri v lakazi [44].....	15
Slika 2.10: Katalitcki cikel oksidacijskega sistema lakaze – mediator [45].....	16
Slika 2.11: Potek anaerobne fermentacije (hidroliza, acidogeneza, acetogeneza in metanogeneza). .....	18
Slika 2.12: Vpliv temperature na stopnjo procesa anaerobne fermentacije rtkana rta predstavlja potek anaerobne fermentacije pri vmesnih temperaturah med mezofilnim in termofilnim podro jem [82]. .....	22
Slika 2.13: Smernice eksperimentalnega na rtovanja (povzeto po Montgomery [90]). .....	24
Slika 3.1: LB iz CERO Gajke, razli na sestava v razli nih asovnih obdobjih.....	26
Slika 3.2: Micelij glive <i>P. ostreatus</i> PLAB gojen na PDA mediju, uporabljen kot inokulum na gojiš ih v Erlenmajericah. .....	27
Slika 3.3: Sistem AMPTS II. (a) <i>on-line</i> beleženje koli ine nastalega bioplina, (b) termostatirana vodna kopel z reaktorji, (c) enota za odvzem vzorcev bioplina, (d) plovna celica za merjenje volumna nastalega bioplina. .....	29
Slika 3.4: Shema masne bilance anaerobne fermentacije izražena z vrednostmi KPK.....	33
Slika 3.5: Skica reaktorja.....	36
Slika 3.6: Pilotni sistem treh reaktorjev anaerobne fermentacije med izvajanjem anaerobne fermentacije. .....	37
Slika 3.7: Shema pretakanja izcedne vode med reaktorji. ....	37
Slika 3.8:Shema energetske bilance v pilotnem sistemu. ....	39
Slika 3.9: Izvedba encimske hidrolize v scintilacijskih vialah. ....	41
Slika 3.10: Spektrofometer Spectroquant NOVA 60 (Merck) z grelno komoro Spectroquant TR 420 (Merck) za dolo anje KPK. ....	43
Slika 3.11:Umeritvena krivulja za dolo anje CMCAz. ....	46
Slika 3.12: Umeritvena krivulja za dolo anje FPaz.....	47
Slika 3.13: Umeritvena krivulja za dolo anje aktivnosti -glukozidaz.....	48
Slika 3.14: Umeritvena krivulja za dolo anje ksilanaz. ....	49
Slika 3.15: Umeritvena krivulja za dolo anje sladkorjev po encimski hidrolizi. ....	51

Slika 4.1: Celokupna proizvodnja bioplina izražena na liter testne mešanice.....	56
Slika 4.2: Dnevna proizvodnja bioplina za preizkušane vzorce v sistemu AMPTS.....	57
Slika 4.3: Bioplinski potencial vzorcev izražen na OS substratov.....	57
Slika 4.4: Temperatura v reaktorjih pilotnega sistema med procesom anaerobne fermentacije v termofilnem temperaturnem območju.....	62
Slika 4.5: Vrednost pH izcedne vode v reaktorjih anaerobne fermentacije iz 2 zaporednih serij.....	63
Slika 4.6: Delež CH <sub>4</sub> in CO <sub>2</sub> v bioplincu iz reaktorjev anaerobne fermentacije 2 zaporednih serij.....	64
Slika 4.7: Vsebnost H <sub>2</sub> S v enem reaktorju pilotnega sistema anaerobne fermentacije.....	65
Slika 4.8. Vpliv pretakanja izcedne vode na vrednost pH v izcedni vodi in na deleže CO <sub>2</sub> in CH <sub>4</sub> v bioplincu.....	66
Slika 4.9: Dnevna in kontinuirana proizvodnja bioplina in metana v reaktorju pilotnega sistema.....	67
Slika 4.10: Vsebnost KPK, dušika, ogljika in alkalnosti v izcedni vodi.....	69
Slika 4.11: Vsebnost hlapnih maš obnih kislin v izcedni vodi.....	70
Slika 4.12: Primerjave rasti micelija glive <i>P. ostreatus</i> na tretji dan gojenja za substrat z najnižjim deležem LB (a) in z najvišjim deležem LB (b). Primerjava Slike 4.12 (a) in 4.12 (c) prikazuje hitrost rasti micelija po desetih dneh inkubacije.....	73
Slika 4.13: Encimske aktivnosti FPaz, CMCaz, -glukozidaz in ksilanaz dosežene pri gojenju <i>P. ostreatus</i> na PO1 gojiš u.....	74
Slika 4.14: Encimske aktivnosti FPaz, CMCaz, -glukozidaz in ksilanaz dosežene pri gojenju <i>P. ostreatus</i> na PO2 gojiš u.....	74
Slika 4.15: Encimske aktivnosti FPaz, CMCaz, -glukozidaz in ksilanaz dosežene pri gojenju <i>P. ostreatus</i> na PO3 gojiš u.....	75
Slika 4.16: Encimske aktivnosti FPaz dosežene pri gojenju <i>P. ostreatus</i> na PO1, PO2 in PO3 gojiš ih.....	75
Slika 4.17: Encimske aktivnosti CMCaz dosežene pri gojenju <i>P. ostreatus</i> na PO1, PO2 in PO3 gojiš ih.....	76
Slika 4.18: Encimske aktivnosti - glukozidaz dosežene pri gojenju <i>P. ostreatus</i> na PO1, PO2 in PO3 gojiš ih.....	77
Slika 4.19: Encimske aktivnosti ksilanaz dosežene pri gojenju <i>P. ostreatus</i> na PO1, PO2 in PO3 gojiš ih.....	78
Slika 4.20: Encimske aktivnosti lakaz dosežene pri gojenju <i>P. ostreatus</i> na PO1, PO2 in PO3 gojiš ih.....	79
Slika 4.21: Plastni diagrami interaktivnih interakcij, ki vplivajo na aktivnost lakaz za LB in glukozo (a), LB in pepton (b), glukozo in KH <sub>2</sub> PO <sub>4</sub> (c) in kvasni ekstrakt in pepton (d).....	85

## Uporabljeni simboli in kratice

### Simboli

A	absorbanca (-)
c	množinska koncentracija (mol/L)
d	pot žarka (cm)
f	faktor reditve (-)
m	masa (g, kg)
M	molska masa (g/mol)
n	množina (mol)
p	tlak (kPa)
R	splošna plinska konstanta (kPa L/mol K)
t	as (min, h, dan)
V	volumen (mL, L)

### Grški simboli

x	masna koncentracija (g/L)
	razlika (-)
	molarni ekstinkcijski koeficient (mol/ L cm)
	izkoristek (%)
	valovna dolžina (nm)
	gostota (g/L)
	premer (m)

### Kratice

ABTS	2,2-azino-bis(3-etilbenzotiazolilna-6-sulfonska kislina)
Adj. MS	prilagojeno povpre je kvadratov (ang. Adjusted mean squares)
Adj. SS	prilagojena vsota kvadratov (ang. Adjusted sums of squares)
ANOVA	analiza variance (ang. ANalysis Of Variance)
AMPTS	Automatic Methane Potential Test System
BMP	biometanski potencial
BPP	bioplinski potencial
C:N	razmerje med ogljikom in dušikom
DF	prostostna stopnja (ang. degree of freedom)
F-vrednost	povezava faktorja z odzivom
idr.	in drugi
LB	lignocelulozna biomasa

KPK	kemijska potreba po kisiku (mg/L; g/kg)
OS	organska snov (g/kg; %)
P-vrednost	statisti na pomembnost/nepomembnost faktorja
<i>P. ostreatus</i>	<i>Pleurotus ostreatus</i>
PDA	krompirjev dekstrozni agar (ang. potato dextrose agar)
PO	pšeni ni otrobi
PO <sub>1</sub> , PO <sub>2</sub> ,	gojiš a za gojenje glice <i>P. ostreatus</i>
PO <sub>3</sub>	
rpm	obrati na minuto (ang. rotation per minute)
SS	suha snov (g/kg; %)
TKN	celotni dušik po Kjeldahlu
TOC	celotni organski ogljik
TN	celotni dušik

### **Podpisi**

as	anorganska snov
B	bioplín
CH <sub>4</sub>	metan
d	delovni
eks	eksperimentalna
iz	izhod
OS	organska snov
red	redukcija
rz	reakcijska zmes
s	substrat
ss	suha snov
t	teoreti na
tm	testna mešanica
vh	vhod
vz	vzorec

## 1 Uvod

Med pomembnejše predpogoje za trajnostni razvoj sodi proizvodnja ustreznih goriv iz biomase, ki lahko nadomestijo alternativna fosilna goriva. V mnogih državah se bioplín, proizveden iz odpadnih materialov, že uporablja za proizvodnjo toplote in električne energije, kakor tudi kot gorivo za avtomobile. Bioplín se lahko proizvaja iz skoraj vseh bioloških materialov, vendar frakcije z nizko razgradljivostjo omejujejo količino nastalega bioplína in s tem znižujejo učinkovitost procesa. Med najbolj razširjen biološki material sodijo lesna biomasa (les listavcev in iglavcev), trave in industrijski, kot tudi kmetijski ostanki. Kopi enje lignoceluloznih odpadkov v velikih količinah lahko povzroči ali prispeva k mnogim okoljskim problemom. Po drugi strani pretvorba teh materialov v obnovljiva goriva predstavlja velik potencial za postopno zniževanje uporabe neobnovljivih fosilnih virov (nafta, premog in zemeljski plin) [1]. Glede na kemijsko sestavo, ki vključuje visoko vsebnost sladkorjev, so lahko lignocelulozni odpadki pretvorjeni v številne produkte z dodano vrednostjo, kot so etanol, bioplín, lignin, kot tudi organske kisline in encime [2].

Anaerobna fermentacija je primerna tehnologija za obravnavanje tako trdnih odpadkov kot tudi odpadnih vod in je obravnavana kot tehnologija predelave odpadkov v energijo. Ocenjena je kot energetsko učinkovita in okolju koristna tehnologija za proizvodnjo bioenergije. Omejitve izpustov ogljikovega dioksida in drugih emisij z zakonodajo in subvencijami za proizvodnjo energije iz biomase, so prispevali k temu, da je postala tehnologija anaerobne fermentacije privlačnejša in konkurenčnejša tehnologija za opravljanje z odpadki. Biogoriva predstavljajo velik potencial pri trajnostnem razvoju, saj so lahko proizvedena iz lokalno dostopnih obnovljivih virov. Trenutno se zelo obsoja proizvodnja t.i. biogoriv prve generacije, ki zajema proizvodnjo biogoriv iz živilskih pridelkov, trend se nadaljuje v smeri proizvodnje t.i. biogoriv druge generacije, ki se proizvajajo iz kmetijskih in gozdnih ostankov ter energetskih rastlin, ki niso namenjene prehrani [3].

Lignocelulozna biomasa (LB) obsega približno polovico rastlinskih virov proizvedenih s fotosintezo. Sestavljena je iz treh vrst polimerov: celuloze, hemiceluloze in lignina, ki so močno prepleteni in kemijsko povezani z ne-kovalentnimi vezmi in s kovalentnimi križnimi povezavami [4]. Le majhna količina celuloze, hemiceluloze in lignina, proizvedenih kot stranski proizvod v kmetijstvu in gozdarstvu, se uporabi, ostalo se obravnava kot odpadek. Mnogi organizmi so sposobni razgradnje in rabe celuloze in hemiceluloze kot vir ogljika in energije. Veliko manjša je skupina višjih gliv, ki ima razvito sposobnost razgradnje lignina, ki velja za najupornejšo sestavino v celičnih stenah rastlin. Te glive so znane kot glive bele trohnobe, ki imajo edinstveno sposobnost učinkovite razgradnje lignina do ogljikovega dioksida. Zraven lignina, so glive bele trohnobe sposobne razgradnje različnih obstojnih onesnaževalcev okolja, kot so klorirane aromatske spojine, heterociklični aromatski hidrokarbonati, različne barve in sintetični polimeri. Ta sposobnost razgradnje gliv bele trohnobe je posledica močne oksidativne dejavnosti njihovih ligninolitičnih encimov [5].

Obstaja mnogo opisov lignoceluloznih encimov glive *P. ostreatus* med gojenjem na različnih lignoceluloznih substratih [6]. Lesne glive so saprofitti, kar pomeni, da rastejo na mrtvem in razpadajočem organskem materialu. Med rastjo glivnega micelija in razvojem dozorelih trosnjakov se pojavijo biokemične spremembe, zaradi katerih se za nejo zunajceli nočijo atični encimi, ki razgrajajo netopne snovi v substratih v preproste in topne molekule, ki jih nato uporabijo znotrajcelični encimi v gobi [7]. Glivna razgradnja se odvija zunajcelično zaradi netopnosti lignina, celuloze in hemiceluloze. Lesne glive imajo dva tipa zunajceličnih

encimskih sistemov: hidroliti ni sistem, ki proizvaja hidrolaze, ki so odgovorne za razgradnjo polisaharidov; in edinstven oksidativni, zunajceli ni ligninoliti ni sistem, ki razgrajuje lignin in odpira fenilne obro. Za glice bele trohnobe je znano, da ne morejo uporabiti lignina kot edinega vira ogljika in energije. Predvideva se, da glice razlenijo lignin zato, da s tem dobijo omogočen dostop do celuloze in hemiceluloze [8].

Zaradi raznolikosti v sestavi organskih trdnih odpadkov je za večjo inkovitost procesa anaerobne fermentacije potrebna predobdelava LB. S predobdelavo želimo vplivati na morfološke in strukturne lastnosti materiala ter zmanjšati stopnjo polimerizacije. Z odpiranjem strukture lignina se povečuje razpoložljiva površina substrata, hkrati pa postanejo snovi, ki so ujeti v strukturi lignina, organizmom bolj dostopne. Predobdelava mora izpolnjevati naslednje zahteve: izboljšanje razpoložljivosti sladkorjev ali možnost naknadnega nastajanja sladkorjev z encimsko hidrolizo, preprečevanje razgradnje ali izgube ogljikovih hidratov, preprečevanje nastanka stranskih produktov, inhibitornih za nadaljnjo hidrolizo in proces fermentacije mora biti stroškovno uinkovit [9].

## 1.1 Opredelitev problema

V centru za ravnanje z odpadki (CERO) Gajke na Ptiju se ob ostalih še enih frakcijah odpadkov zbirajo tudi lignocelulozni ostanki, zbrani iz lokalnega okolja. Večji del lignocelulozne biomase je sestavljen iz lesne biomase, ki vsebuje obreznine dreves in grmovja, obreznin živih mej, ostankov okrasnih rastlin, pokošene trave, plevela in listja. Razmerje posameznih komponent v LB ni konstantno skozi celotno leto. Močno je odvisno od letnega asa. Zbrano LB na CERO kompostirajo. Ob kompostu se v procesu aerobne razgradnje z oksidacijo substratov proizvede še ogljikov dioksid in voda ter sprosti se energija v obliki toplote. Alternativo aerobni razgradnji predstavlja anaerobna fermentacija, ki predstavlja biološko razgradnjo organskega materiala v odsotnosti kisika. Izvaja se v reaktorjih, ki zagotavljajo zaprt sistem, ki lahko zagotovi primerne pogoje za anaerobno fermentacijo. V procesu se proizvede bioplín, ki je v glavnem sestavljen iz metana in ogljikovega dioksida, na koncu procesa ostane trdni ostanek po fermentaciji. Iz okoljskega vidika se obravnava tehnologija anaerobne fermentacije za koristnejšo v primerjavi s kompostiranjem, saj predstavlja bioplín iz anaerobne fermentacije alternativo fosilnim gorivom. Poleg tega uporaba LB v anaerobni fermentaciji prispeva k zmanjševanju emisij toplogrednih plinov, saj se pri sistemu anaerobne fermentacije proizvede manj ogljikovega dioksida, kot v sistemu aerobne razgradnje.

## 1.2 Pregled stanja znanosti

V procesih anaerobne fermentacije LB velja za etno faza hidrolize za stopnjo, ki omejuje hitrost in u inkovitost procesa nastajanja bioplina. To se zgodi zaradi kompleksne strukture LB (celuloza, hemiceluloza, lignin), ki je mikroorganizmi brez predhodne predobdelave niso sposobni predelati. Do danes so bile narejene mnoge študije, ki obravnavajo predobdelave LB, v ve ini primerov se produkti razkroja uporabljajo pri fermentaciji za proizvodnjo etanola, manj je primerov predobdelave LB za uporabo v sistemih anaerobne fermentacije. Za predobdelavo so bile uporabljeni razli ne tehnike, ki so vklju evale razli ne fizikalne, kemijske in biološke predobdelave ali kombinacije ve predobdelav.

Encimi, ki razgrajujejo biomaso, so prisotni v reaktorjih anaerobne fermentacije, saj jih proizvajajo mikroorganizmi, ki so prisotni v procesu anaerobne fermentacije. Za izboljšanje razgradnje LB se lahko doda mešanica razli nih encimov, kot so celulaze, hemicelulaze, ligninaze in pektinaze. Encimi se lahko dodajajo na tri razli ne na ine: kot dodatek direktno v reaktor enofaznega sistema anaerobne fermentacije; kot dodatek v reaktor dvofaznega sistema, v katerem poteka stopnja hidrolize in acidifikacije ali v posebnem reaktorju, ki je namenjena encimski predobdelavi. Dodatek encimov v anaerobno fermentacijo je bil obravnavan v mnogih študijah. Obstaja nekaj študij, ki so pokazale, da dodatek encimov neposredno v reaktor nima pomembnega vpliva na proizvodnjo bioplina, saj so encimi po dodatku hitro razgrajeni [10]. Številne študije izvedene v šaržnih procesih anaerobne fermentacije so pokazale, da dodajanje encimov v prvi fazi dvostopenjskega procesa anaerobne fermentacije vodi do nekoliko višje topnosti substratov, kar vodi do višjega doprinosova bioplina. Romano. idr. [11] so preu evali vpliv dodatka celulaz, hemicelulaz in -glukozidaz v sistemu anaerobne fermentacije pšeni ne trave. Anaerobna fermentacija je potekala v šaržnih reaktorjih pri temperaturi 50 °C. Encimi so bili dodani v enofazni sistem fermentacije, pšeni ni travi po kon ani eno fazni fermentaciji in v prvo fazi dvo faznega sistema anaerobne fermentacije. Dodatek encimov je pokazal pozitivne u inke, ko so bili encimi dodani izklju no travi, u inka pa ni bilo zaznati, ko so bili encimi dodani v proces anaerobne fermentacije. Nekatere študije so pokazale, da encimska predobdelava v posebnem reaktorju vodi do višje razgradnje substratov ali višjih doprinosov bioplina v šaržnih testih anaerobne fermentacije, kot na primer predobdelava razli nih kmetijskih ostankov s koktajlom celuliti nih encimov [12].

Vpliv encimske predobdelave na kašo sladkorne pese in ostanke hmelja pred procesom anaerobne fermentacije so preiskovali Zieminski idr. [13]. Uporabili so koktajl ve razli nih encimov. Encimska predobdelava je pokazala pove anje donosnosti bioplina, najve ji porast so dosegli na predobdelani kaši sladkorne pese, kjer se je proizvodnja bioplina pove ala za 88,9 % v primerjavi s proizvodnjo bioplina kaše sladkorne pese brez predobdelave.

Mnogo študij anaerobnih fermentacij v trdnem stanju za LB je bilo izvedenih brez predhodne predobdelave LB. Adhikari idr. [14] so izvedli študijo anaerobne fermentacije v trdnem stanju s križnim pretakanje izcedne vode za organsko frakcijo komunalnih odpadkov. Ugotovili so, da pove anje dnevnega nivoja pretakanja izcedne vode vpliva na povišanje donosnosti metana in skrajšanje zadrževalnega asa. Pod razli nimi pogoji obratovanja so dosegli proizvodnjo biometana od 143 do 240 L CH<sub>4</sub>/kg organske snovi (OS). Primerjavo med anaerobno fermentacijo v trdnem in teko em stanju za osem razli nih LB substratov so izvedli Brown idr. [15]. Pri donosnosti metana niso zaznali razlik med teko o in trdno anaerobno fermentacijo. Volumetri na produktivnost biometana je bila od dva do sedem krat višja pri fermentaciji v trdnem stanju v primerjavi s teko o fermentacijo. Biometanski potencial (BMP) je bil višji za ostanke žitaric v primerjavi z BMP za vzorce lesa. Najvišja proizvodnja biometana je bila dosežena za pšeni no slamo, in sicer 123,9 L CH<sub>4</sub>/kg OS, najnižja pa za borov les 17,0 L CH<sub>4</sub>/kg OS.

### 1.3 Doktorska teza

Teza predstavljene raziskave je bila, da lahko LB, zbrano v lokalnem okolju, uspešno anaerobno fermentiramo v reaktorjih s strnjениm slojem. Zaradi potrebe po dodatnih metodah obravnavanja stranskih tokov v teko i fermentaciji, smo se omejili na fermentacijo v trdnem stanju v reaktorjih s strnjениm slojem s križnim pretakanjem izcedne vode. Zaradi kompleksnosti sestave LB smo predvidevali, da donosnost bioplina brez predhodne obdelave LB ne bo zadovoljiva. Zaradi spreminjanja sestave LB glede na obdobje v letu, smo predvidevali, da lahko prihaja do sprememb donosnosti bioplina z uporabo LB zbrano v razli nih mesecih v letu. Anaerobno fermentacijo smo optimizirali s pretakanjem izcedne vode in nadgradili z biološko predobdelavo LB. Predpostavili smo, da bo pretakanje izcedne vode pozitivno vplivalo na potek anaerobne fermentacije. V drugem delu smo preizkusili biološko predobdelavo LB. Omejili smo se na biološko predobdelavo, saj smo že eleli, da je vpliv predobdelave na okolje minimalen in da so stroški povezani z obdelavo stranskih tokov predobdelave minimalni. Predpostavili smo, da lahko pove amo proizvodnjo bioplina z direktnim gojenjem glive *P. ostreatus* na LB. Gliva bele trohnobe *P. ostreatus* je znana kot uspešna proizvajalka celuliti nih in ligninoliti nih encimov. Predpostavili smo, da lahko glivo *P. ostreatus* uspešno gojimo na trdnem gojiš u, prilagojenem rastnih zahtevam glive in pridobimo skupek razli nih zunajceli nih encimov, ki jih bomo lahko samostojno uporabili za predobdelavo LB. Za glivo *P. ostreatus* smo se odlo ili, ker je poznana po tem, da je prilagodljiva in se jo lahko goji na enostaven na in.

## 1.4 Namen in cilji

Namen doktorske disertacije je bila optimizacija in nadgradnja procesa anaerobne fermentacije LB v sistemu šaržnih reaktorjev s strnjениm slojem in križnim pretakanjem izcedne vode. LB vsebuje mnogo kompleksnih spojin, ki jih mikroorganizmi v procesu anaerobne fermentacije niso sposobni razgraditi. Za u inkovitejšo proizvodnjo bioplina je potrebna predobdelava LB v enostavne sladkorje, ki se lahko predelajo v bioplín v procesu anaerobne fermentacije. Nadgradnja procesa anaerobne fermentacije je bila namenjena biološki predobdelavi LB z glivo *P. ostreatus* in encimi proizvedenimi z glivo *P. ostreatus*.

V okviru raziskovalnega dela izvedbe procesa anaerobne fermentacije so bili postavljeni naslednji cilji:

- na laboratorijskem nivoju izvesti poizkus BMP in s tem dolo iti maksimalno proizvodnjo bioplina za obravnavane vzorce LB,
- na laboratorijskem nivoju izvesti poizkus BMP vzorcem preraš enim z glivo *P. ostreatus* in dolo iti vpliv biološke predobdelave z glivo *P. ostreatus* na proizvodnjo bioplina,
- izdelati pilotni sistem za izvajanje procesa anaerobne fermentacije z vsemi potrebnimi merilnimi sistemi za u inkovito študijo poteka procesa anaerobne fermentacije z minimalnimi stroški,
- izvesti anaerobno fermentacijo LB v trdnem stanju s ciljem preverjanja stabilnosti in u inkovitosti anaerobne fermentacije,
- preu iti vpliv pretakanja izcedne vode na stabilnost procesa in na donosnost proizведенega bioplina.

V okviru raziskovalnega dela, ki se navezuje na biološko predobdelavo LB, so bili postavljeni naslednji cilji:

- vzgojiti glivo *P. ostreatus* na ve razli nih substratih s ciljem poiskati substrat, na katerem bo gliva *P. ostreatus* izloila najve zunajceli nih encimov za razgradnjo LB,
- s Taguchi metodo optimizirati sestavo rastnega medija za maksimalno proizvodnjo lakaz glive *P. ostreatus*, saj veljajo lakaze za industrijsko zanimiv encim,
- preveriti u inkovitost razgradnje LB z ekstraktom encimov *P. ostreatus*, ter primerjati u inkovitost z uporabo komercialnih encimov.

Doktorska disertacija je razdeljena na dva glavna dela. Prvi del je namenjen predstavitvi rezultatov izvedbe laboratorijskih in pilotnih poskusov anaerobne fermentacije LB. Drugi del je namenjen predstavitvi rezultatov biološke predobdelave LB, pri emer je predstavljen postopek gojenja glive *P. ostreatus* s katerim smo pridobili encimski ekstrakt, ki smo ga uporabili v poskusu encimske hidrolize LB.

## 2 Teoretični del

### 2.1 Lignocelulozna biomasa

Lignocelulozna biomasa (LB) je organski material, ki je na voljo v precejšnjih koli inah. Sestavljen je iz surovin, kot so kmetijski ostanki (npr. koruzna steba, pšeni na slama), gozdarski in lesnopredelovalni ostanki (npr. žagovina, veje, lubje in ostali ostanki, ki nastanejo pri žaganju), organska frakcija trdnih komunalnih odpadkov (npr. odpadni papir, biološki odpadki, obreznine iz vrtov in parkov) in industrijskih organskih odpadkov.

LB se lahko uporablja za trajnostno proizvodnjo bioenergije in biogoriv, kot je bioplín. Anaerobna fermentacija je stroškovno naju inkovitejša tehnologija biološke pretvorbe za proizvodnjo električne energije, toplove in bioplína. Do danes anaerobna fermentacija za izkoriščanje LB ni masovno zastopana za proizvodnjo bioplína, saj kompleksna struktura celi nih sten rastlin predstavlja odporen material za mikrobiološko razgradnjo. LB je v glavnem sestavljena iz treh vrst polimerov: celuloze, hemiceluloze in lignina. Celuloza in hemiceluloza (vsebuje ogljikove hidrate) sta primerni za fermentacijo po hidrolizi [16].

Na biorazgradljivost LB vpliva vrsta strukturnih in kompozicijskih lastnosti, in sicer kristalini nos celuloze, dostopnost površine, stopnja polimerizacije celuloze, prisotnost lignina in hemiceluloze, stopnja acetilacije hemiceluloze [17]. Za izboljšanje proizvodnje bioplína iz LB je potrebna predobdelava za zrahanje strukture naravno upornih ogljikovih hidratov – ligninski še it zmanjšuje dostopnost encimov in mikroorganizmov do celuloze in hemiceluloze [18].

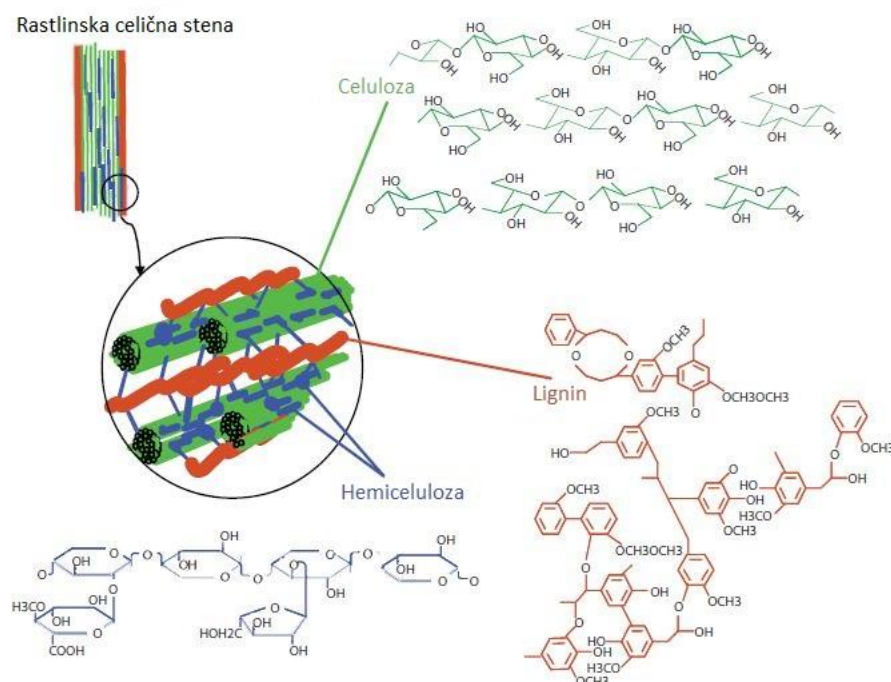
Splošne strukturne značilnosti lignoceluloznih materialov se lahko ponazorijo s strukturo lesa. Celi na stena lesa je sestavljena iz primarne in sekundarne stene in srednje lamele. Primarna celi na stena je tanek sloj (0,1 – 1 µm), ki jo sestavlja naključno razporejena matrika celuloznih mikrovlaken [19]. Sekundarna celi na stena je debelejša (10 – 20 µm) in je sestavljena iz podslojev S1 (zunanji), S2 in S3 (notranji) z različnimi usmeritvami mikrovlaken za vsak sloj. V S1 sloju so mikrovlakna usmerjena v prenosni vijačni strukturi (S in Z vijačna nica). Najdebelejša med plastmi je S2 plast z relativno usklajenimi usmeritvami mikrovlaken. Sekundarna celi na stena vsebuje večji delež celuloze. Srednja lamela ima funkcijo povezovanja sosednjih celic skupaj in vsebuje velik delež lignina (Slika 2.1) [20].

#### 2.1.1 Sestava in struktura lignocelulozne biomase

Tri glavne komponente celi nih sten rastlin so celuloza, lignin in hemiceluloza (Slika 2.1). Celuloza in hemiceluloza sta polisaharida, medtem ko je lignin aromatski polisaharid sintetiziran iz fenilpropanoidnih predhodnikov [21]. Les, različnih drevesnih vrst, je običajno sestavljen iz 40 do 50 % celuloze, 20 do 35 % hemiceluloze in 15 do 35 % lignina [4]. Podrobnejši podatki sestave različne LB so podani v Tabeli 2.1.

Tabela 2.1: Vsebnost celuloze, hemiceluloze in lignina za različni lesni odpad [9].

LB	celuloza /%	hemiceluloza /%	lignin /%
Debla listavcev	40 – 55	24 – 40	18 – 25
Debla iglavcev	45 – 50	25 – 35	25 – 35
Lušine oreškov	25 – 30	25 – 30	30 – 40
Koruzni storži	45	35	15
Trave	25 – 40	35 – 50	10 – 30
Papir	85 – 99	0	0 – 15
asopisni papir	40 – 55	25 – 40	18 – 30
Pšeni na slama	30	50	15
Listje	15 – 20	80 – 85	0



Slika 2.1: Struktura lignoceluloze [22].

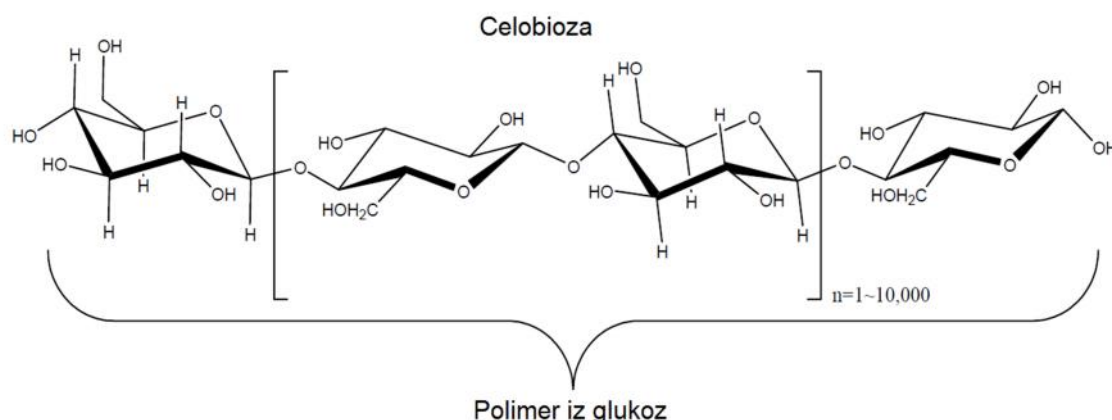
### 2.1.1.1 Celuloza

Celuloza je organski polisaharid, sestavljen iz linearne verige -1,4-povezanih D-glukoznih enot. Vsak polimer ima hidroksilni ostanek na C2, C3 in C6 atomih. Glukoze tvorijo dolge verige, ki so med seboj povezane z vodikovimi vezmi in Van der Waalsovimi disperzijskimi silami [8]. Hidroksilni ostanki se vežejo z atomi kisika na drugih sosednjih verigah za tvorbo mikrovlaken. Dolžina celulozne verige lahko variira med 2.000 in 12.000 glukoznih enot, odvisno od izvora, vendar je večina celuloznih molekul dolžine med 8.000 in 12.000 enot glukoze. Vsaka enota glukoze je zasukana za 180° glede na sosednji dve glukozni enoti. Tako je najmanjša ponavljajoča enota v polimeru glukoze disaharid celobioza (Slika 2.2) [23].

Celuloza je glavna sestavina lesa, običajno je 40 do 50 % lesne mase sestavljene iz celuloze. Stopnja polimerizacije lesa je nad 10.000. Celuloza se lahko pojavi v dveh oblikah. Približno

50 do 70 % celuloze v oleseneli celi ni steni je v visoko obstojni kristalini ni obliki, ostala celuloza je v amorfni obliki [24].

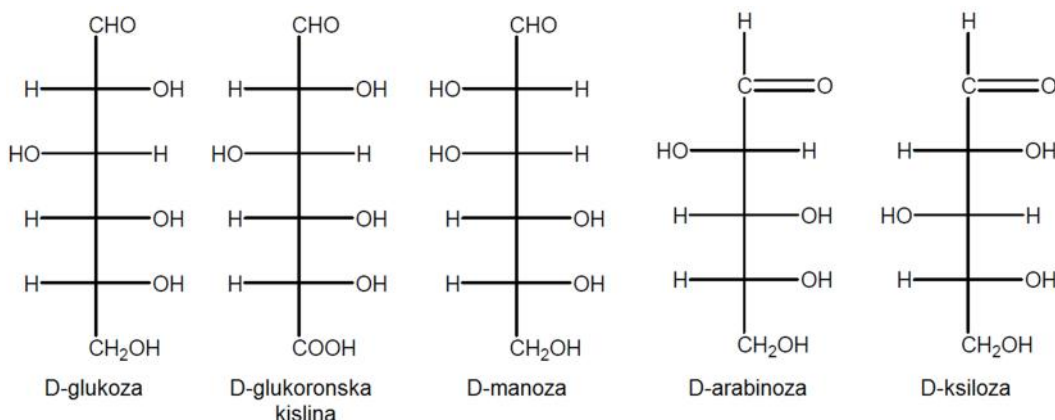
Snopi celuloznih molekul tvorijo skupke in tako formirajo kristalini ne regije z notranjimi molekularnimi vodikovimi vezmi ter izmeni no tudi manj urejene amorfne regije. Najmanjši snop je mikrovlakno. Mikrovlakna gradijo obliko vlaken in vlakna gradijo celulozo. Celuloza ima visoko natezno trdnost in je netopna v ve ini topil, zaradi rednega ponavljanja vodikovih vezi in vlaknaste strukture [21].



Slika 2.2: Kemijska struktura celuloze [25].

#### 2.1.1.2 Hemiceluloza

Hemiceluloza je kompleksen polimer ogljikovih hidratov in sestavlja med 25 ter 30 % suhe teže lesa. Je polisaharid z nižjo molekulsko maso od celuloze. Hemiceluloza je sestavljena iz mnogih razli nih monomernih sladkorjev, kot so: D-ksiloza, L-arabinoza (pentoze), D-manoza, D-glukoza, D-galaktoza, L-ramnoza (heksoze), 4-O-metil-D-glukoronska kislina, D-glukoronska kislina in D-galakturonska kislina (uronske kisline) (Slika 2.3) [26]. Sladkorji so povezani med seboj z -1,4- in ob asno z -1,3-glikozidnimi vezmi. Glavna komponenta hemiceluloze lesa listavcev je glukonoksilan, medtem ko glukomanan prevladuje v lesu iglavcev. Glavna razlika s celulozo je ta, da ima hemiceluloza razvezjane kratke stranske verige, ki so sestavljene iz razli nih sladkorjev. V nasprotju s celulozo, se lahko hemiceluloza zlahka hidrolizira. Ne tvori agregatov, tudi e je so-kristalizirana z verigo celuloze [4]. Povpre na stopnja polimerizacije hemiceluloze se giblje med 70 in 200, odvisno od vrste lesa [27].

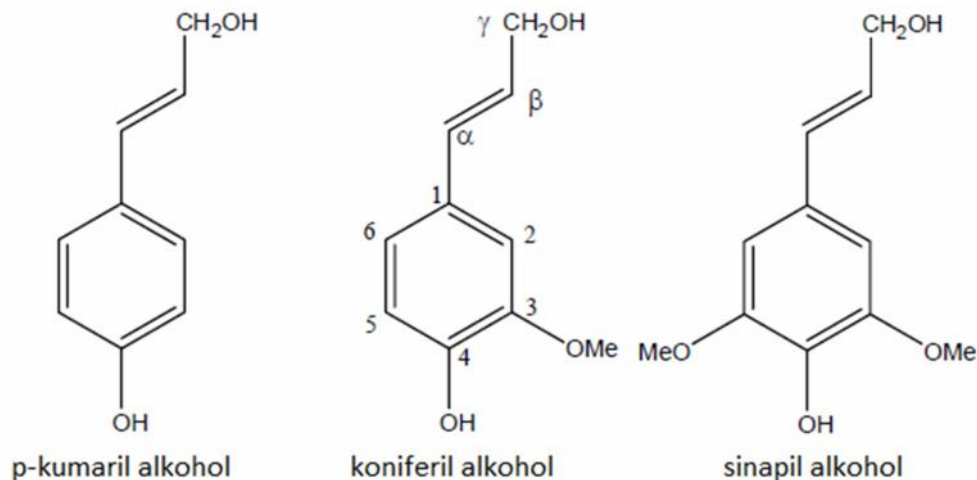


Slika 2.3: Komponente hemiceluloze [25].

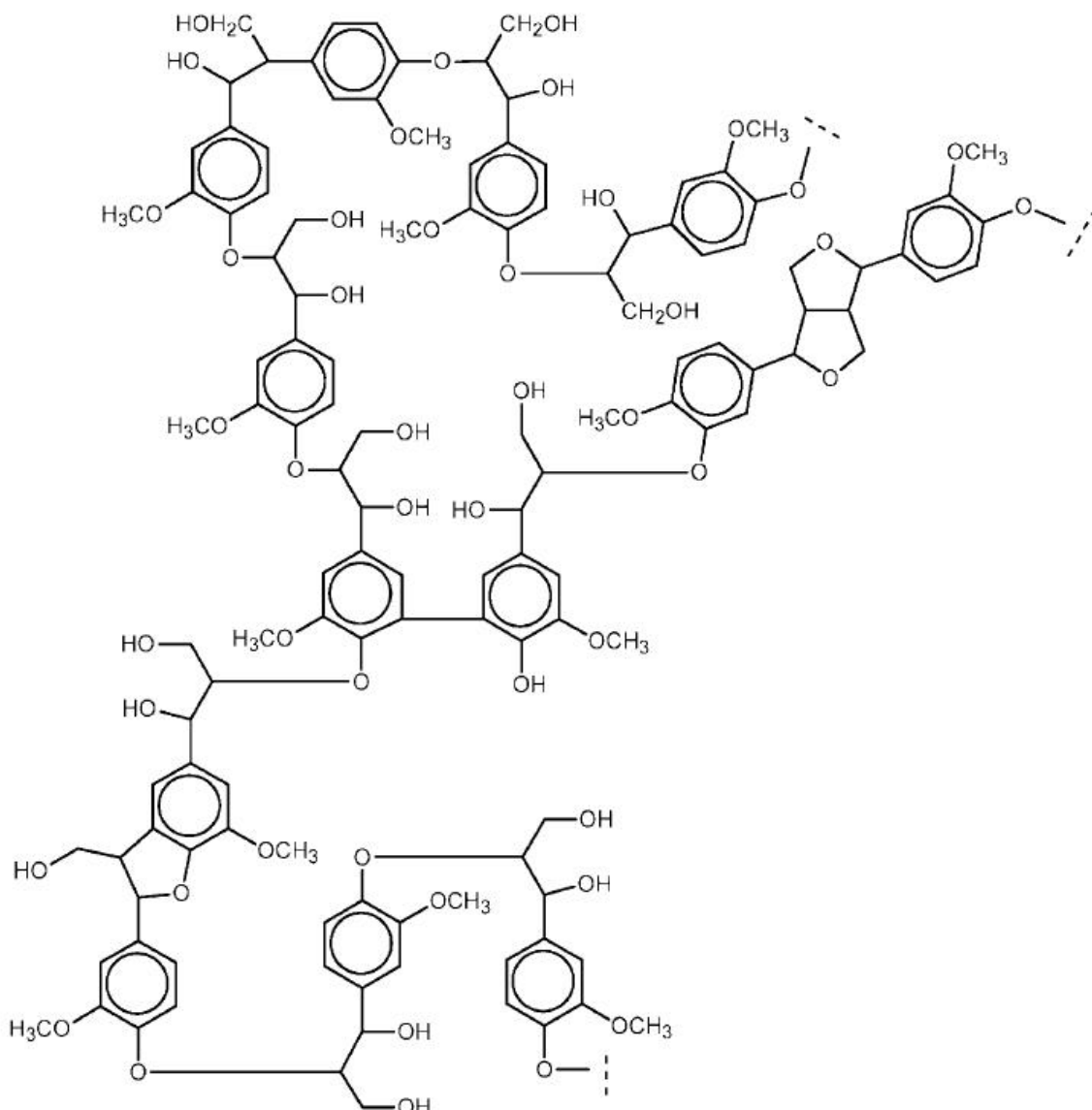
### 2.1.1.3 Lignin

Lignin (skupaj s celulozo) je najbolj razširjen polimer v naravi. Prisoten je v celi nih stenah in predstavlja strukturno podporo, neprepustnost in odpornost proti mikrobnim okužbam ter proti oksidativnemu stresu. Strukturno je lignin amorfni heteropolimer, ne vodotopen in optično neaktivni. Sestavljen je iz enot fenilpropana povezanih med seboj z različnimi vrstami povezav. Polimer se sintetizira z nastajanjem prostih radikalov, ki se sproščajo pri peroksidazno posredovani dehidrogenaciji treh fenil propanskih alkoholov: koniferil alkohol, kumaril alkohol in sinapil alkohol (Slika 2.4). Glavna komponenta lignina v mehkem lesu je koniferil alkohol, medtem ko sta kumaril in sinapil alkohola glavni komponenti lignina v trdjem lesu. Končni rezultat polimerizacije je heterogena struktura, katere osnovne enote so povezane s C-C in aril-eter vezavami, pri čemer je glavna struktura aril-glicerol -aril eter (Slika 2.5) [4].

Tako kot pri hemicelulozi, se tudi pri ligninu sestava in koliko ina prisotnega lignina v lesnem materialu spreminja glede na vrsto lesa, tip celic in stopnjo razvitiosti vlakna. Lignin predstavlja približno 20 do 35 % lesne strukture [28].



Slika 2.4: Fenilpropanske predhodne enote polimernega lignina [29].



Slika 2.5: Shema sestave lignina golosemenk, ki predstavlja različno vezavo med enotami fenil propana [4].

### 2.1.2 Predobdelava lignocelulozne biomase

Pri proizvodnji bioplina iz LB so mikroorganizmi sposobni porabiti širok spekter organskih komponent (kot so pentoze, heksoze, maščobe obne kisline, proteini in maščobe); zato je glavni cilj predobdelave za proizvodnjo bioplina povečanje dostopnosti do holoceluloze v LB. Uinkovita obdelava mora povečati poroznost substrata, s tem se poveča dostopnost ogljikovih hidratov za encime. Hkrati je pomembno, da so posamezne frakcije ohranjene brez razgradnje ali izgube organskega materiala. Med predobdelavo se tudi ne smejo tvoriti inhibitorji. Zraven tega mora biti predobdelava ekonomsko upravičena [30]. Mnogo tehnik predobdelav je že bilo obravnavanih v številnih študijah, različne metode so predstavljene v Tabeli 2.2.

Tabela 2.2 Različne tehnike predobdelave.

Tehnika predobdelave	
Fizikalna	mehanska termična ultrazvorna elektrokemična
Kemijska	alkalna kislinska oksidativna
Biološka	mikrobiološka encimska
Kombinirana tehnika	parna eksplozija ekstruzija termokemijska

Glavni cilj predobdelave je priprava biomase za uinkovito izvedbo naslednje stopnje procesa, v katerega je vključena biomasa. Zato je pomembno izbrati tehnologijo, ki izpolnjuje imenovane naštete uinkovitosti:

- povečanje vsebnosti tako C-5 kot C-6 sladkorjev za naslednjo stopnjo fermentacije z minimalno razgradnjo proizvedenih sladkorjev;
- znižanje nastajanja inhibitornih topnih kemikalij vključno furfurala, hidroksimetilfurfurala, organske kisline in fenolne spojine, ki so prisotne v fazi encimske hidrolize in fermentacije;
- predobdelava mora biti sposobna upoštevati raznolikost substratov brez ob utnih sprememb v izvedbi procesa;
- zahteva malo ali ni pred procesnih stopenj, kot so zmanjšanje velikosti substrata z drobljenjem, mletjem, upraševanjem, itd.;
- imeti mora visoko stopnjo enostavnosti;
- uporabljati nizkocenovne kemikalije z minimalno proizvodnjo odpadnih tokov;
- uporabljati malo energije in stroški opreme in obratovanja morajo biti nizki [31]

#### 2.1.2.1 Biološka predobdelava lignocelulozne biomase

Biološka predobdelava ima nizke energijske potrebe, nezahtevne okoljske pogoje in malo ali ni nastanka inhibitorjev v primerjavi s kemijskimi in fizikalno-kemijskimi tehnikami predobdelave [32]. Vendar predobdelave z glivami zahteva dolge reakcijske čase, zaradi nizke stopnje hidrolize, kar je omejitev pri uporabi v industrijskih procesih, a je okolju prijazna.

### 2.1.3 Lignocelulozni encimi in njihova vloga pri razgradnji lignoceluloze

Razgradnja LB vklju uje ve razli nih encimov, ki sodelujejo pri hidrolizi biomase. Glede na zapletenost zgradbe LB, pri razgradnji sodelujejo tri ali ve razli nih skupin encimov, odvisno od kon nega produkta, ki ga želimo z razgradnjo dose i in od stopnje zahtevane hidrolize. Glavne tri skupine encimov za razgradnjo LB so ligninaze in celulaze ter hemicelulaze.

#### 2.1.3.1 Celuliti ni encimi - celulaze

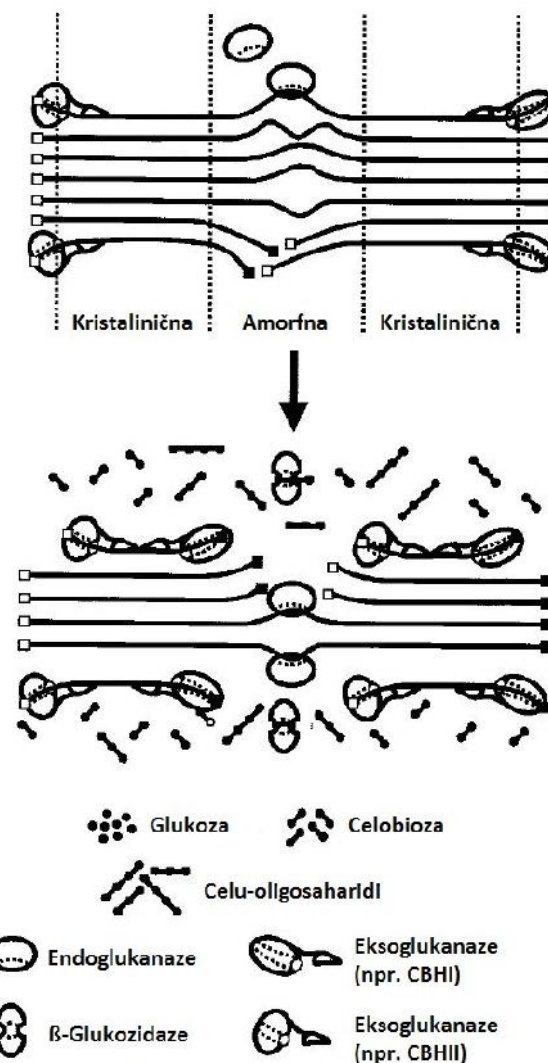
Produkte, pridobljene s hidrolizo lignoceluloznega materiala s celulazami, sestavlajo predvsem glukoza, celobioza in celuoligosaharidi [33]. Med produkti je glukoza najbolj zaželena, saj lahko ta osnovna podenota celuloze služi kot dragocena surovina za veliko razli nih kon nih produktov. Za lažjo hidrolizo celuloze v glukozo sestavljajo sistem celulaz endoglukanaze, eksoglukanaze in -glukozidaze, ki morajo biti za popolno hidrolizo prisotne v znatnih koli inah [34].

Hidroliza celuloze se izvaja s tremi skupinami celulaz, to so endoglukanaze (karboksimetil celulaze; EC 3.2.1.4), eksoglukanaze (celobiohidrolaze; EC 3.2.1.91) in -glukozidaze (celobiaze; EC 3.2.1.21).

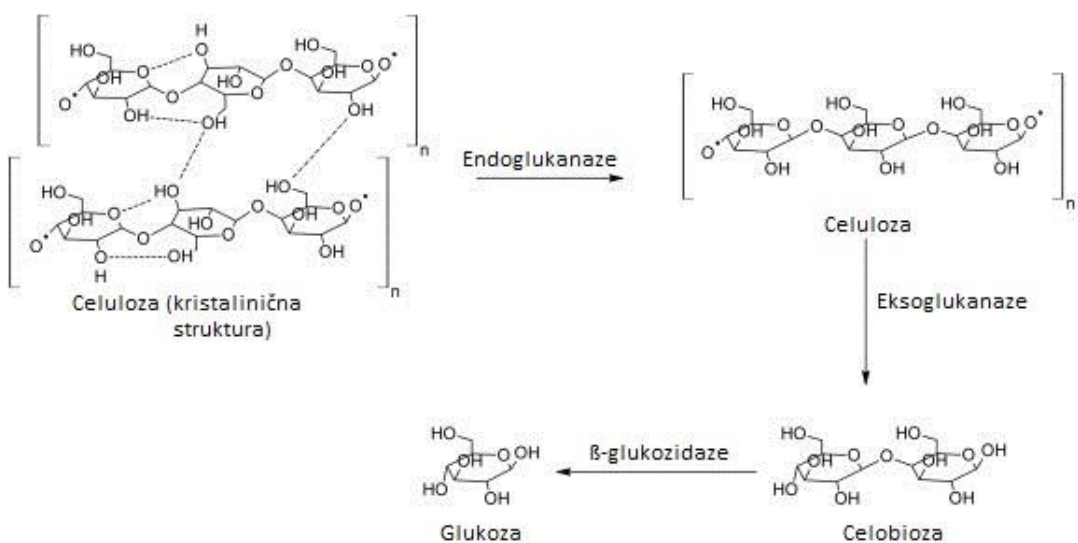
Karboksimetil celulaze naklju no hidrolizirajo amorfno, nabreklo obmo je verig celuloze, kar ima za rezultat skrajšane verige in po asno naraš anje števila reduciranih skupin. Na splošno so ti encimi neaktivni do kristalini ne celuloze in celobioze s kon nimi produkti hidrolize, ki so sestavljeni iz mešanice skrajšanih verig celuloznih vlaken, ki so lahko naknadno raz lenjene s celobiohidrolazami [35].

Celobiohidrolaze (CBH), imenovane CBHI in CBHII so zunajceli no delujo i encimi, ki cepijo iz obeh koncev celulozne molekule. CBHI deluje na reducirajo e konce celulozne enote, kjer odstranjuje molekule glukoze in celobioze, s imer se pove a število reducirajo ih skupin. CBHII delujejo na ne-reducirajo e konce ogljikovih hidratov. CBH so edini encimi, ki lahko u inkovito razgradijo kristalini ne dele celuloze, medtem ko lahko endoglukanaze delujejo le na amorfne dele celuloze [4]. Celobiohidrolaze so glavna komponenta celulaznega sistema v glivah, saj predstavljajo med 40 in 70 % vseh proizvedenih celuliti nih aktivnosti (Slika 2.6).

-glukozidaze hidrolizirajo -1,4 glukozidne vezi celobioze, pri emer celobioza razpade na glukozne enote. So pomembni encimi v celotni hidrolizi celuloze, saj so celobiohidrolaze inhibirane z visoko koncentracijo celobioze. Zato so eksogene -glukozidaze potrebne za pretvorbo celobioze v glukozo. Številne razli ne celulaze so lahko prisotne v posameznem encimskem pripravku, vrsta in koli ina razli nih celulaz je odvisna od njihovega izvora (Slika 2.7) [32]. Celulaze so razvrš ene v družine glede na njihovo aminokislinsko zaporedje in/ali glede na podobnosti v njihovih kataliti nih domenah. Aktivno mesto za hidrolizo substrata je vklju eno v kataliti no domeno, medtem ko domena za vezavo celuloze omogo a vezavo na netopne substrate [36]. Celulaze obi ajno vsebujejo tri domene, kataliti no domeno, domeno za vezavo celuloze in glikoliziran fleksibilen povezovalec, ki povezuje skupaj ostali dve domeni [37].



Slika 2.6: Shematski prikaz hidrolize amorfne in mikro kristalini ne celuloze z ne kompleksnim sistemom celulaz. Polni kvadrati predstavljajo reducirane konce, prazni kvadrati predstavljajo ne reducirane konce [38].

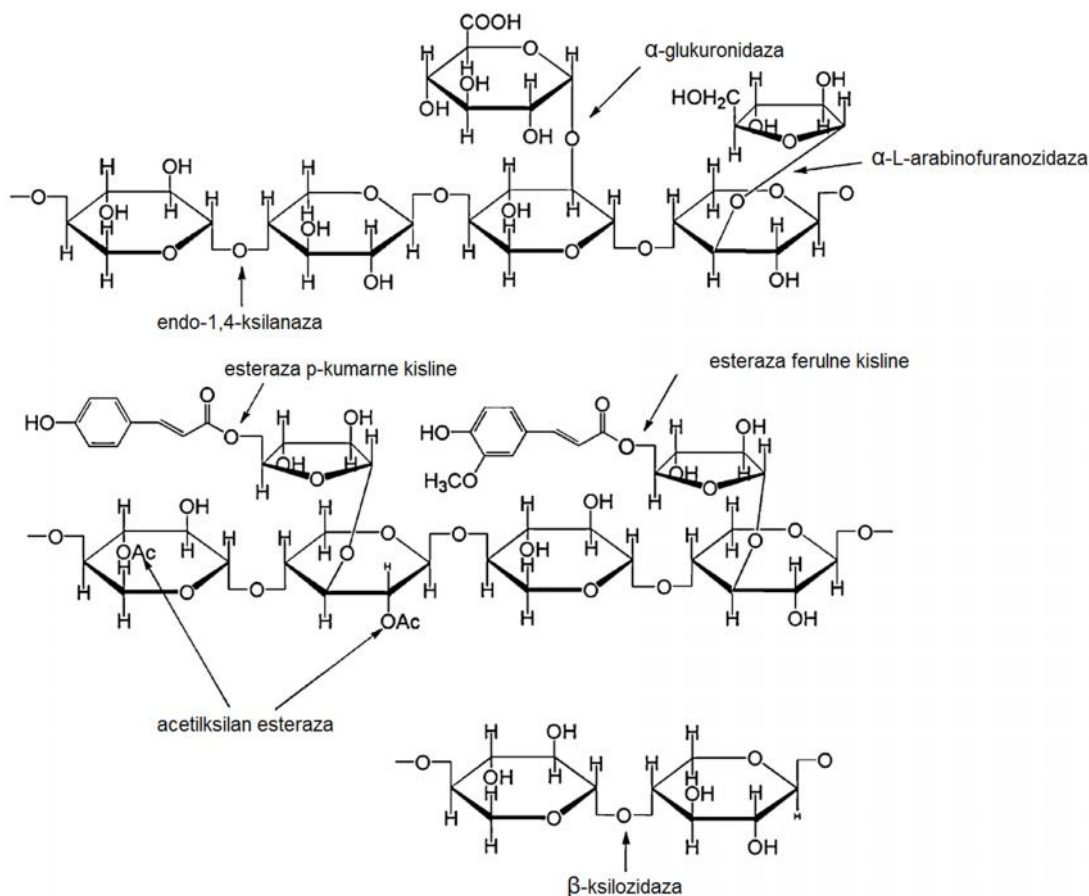


Slika 2.7: Mehanizem hidrolize celuloze s celulazami [39].

### 2.1.3.2 Hemiceluliti ni encimi

Hemicelulaze so encimi, ki razgrajujejo hemicelulozo, skupino polisaharidov, ki predstavlajo enega od glavnih sestavnih delov celi ne stene rastlin. Hemiceluloza služi za križno medsebojno vezavo celuloznih mikrovlaken, prav tako pa povezuje molekule celuloze z drugimi komponentami celi ne stene kot je lignin. Ve inoma hemiceluloza vklju uje -glukan (druga en od celuloznega), ksilan, ksiloglukan, arabinoksilan, manan, galakto manan, arabinan, galaktan in poligalakturonan. Glede na specifične vezave v hemicelulozi, obstajajo različni tipi hemicelulaz [34]. Te encime lahko razvrstimo v dve skupini: hemicelulaze, ki napadejo glavno polisaharidno verigo in tiste, ki razgrajujejo stranske verige.

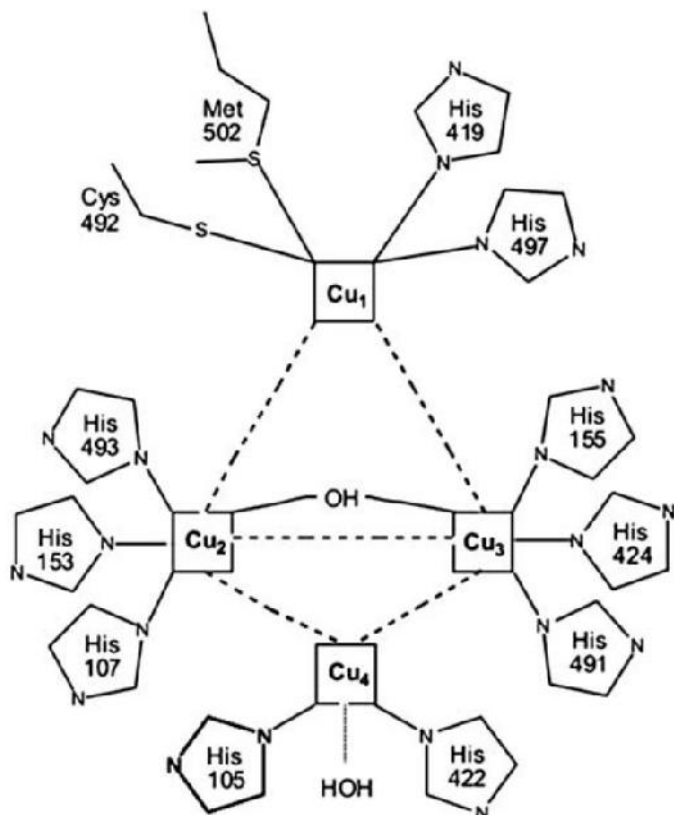
Ksilan, katerega struktura se razlikuje od rastline do rastline, je drugi najpogostejši polisaharid v travah in lesu listavcev in zahteva sodelovanje skupine encimov v njegovi razgradnji. Skupina encimov vključuje endo-ksilanaze (EC 3.2.1.8), -ksilosidaze (EC 3.2.1.37), -glukuronidaze (EC 3.2.1.139), -L-arabinofuranosidaze (EC 3.2.1.55) in acetilksilan esteraze (EC 3.1.1.6), ki delujejo sinergijsko v tem procesu (Slika 2.8). Endo-1,4-ksilanaze cepijo notranje 1,4-ksilozidne vezi na glavni polisaharidni verigi ksilana. Za razliko od endoglukanaz, katerih cepilna mesta so naključna, endo-1,4-ksilanaze prepoznavajo specifične vezi za vezavo na osnovi lastnosti polisaharida kot sta dolžina verige in stopnja razvejanosti. Produkti razgradnje ksilana z endoksilanazami so mešanica -D-ksilopiranozilnih oligomerov različnih dolžin, ki so v naslednji stopnji uporabljeni kot substrati -ksilosidaz, ki hidrolizirajo te oligosaharide do ksiloze iz nereducirnih končev oligomerov. Zaradi kompleksne strukture polisaharidov hemiceluloze je več drugih encimov prav tako vključenih v razgradnjo ksilana [40].



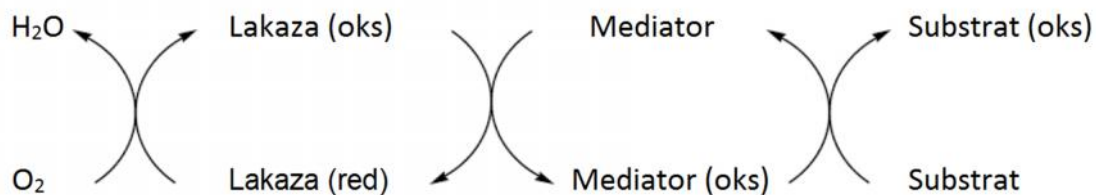
Slika 2.8: Kemična struktura in razgradnja hemiceluloze [41].

### 2.1.3.3 Ligninoliti ni encimi

Izjemno zapletena zgradba lignina zahteva vklju itev vrsto oksidativnih encimov za njegovo popolno razgradnjo. Lignin peroksidaze (LiP), mangan peroksidaze (MnP) in lakaze so glavni encimi razgradnje lignina. Zna ilnosti teh encimov se mo no razlikujejo glede na vrsto mikrobov. Sposobnost organizma, da proizvede enega ali ve teh encimov, se prav tako mo no razlikuje med razli nimi skupinami organizmov. Zraven LiP, MnP in lakaze so številni drugi encimi, kot so veratril alkohol oksidaze, aril alkohol dehidrogenaze, kinon oksidoreduktaze, reduktaze aromatske kisline, dioksigenaze, katalaze, oksidaze aromatskih aldehydov in glioksal oksidaze, vklju eni v zapleten proces razgradnje lignina. Vendar so ti encimi manj pomembni, saj lahko delujejo kot mediatorji pri razgradnji lignina s proizvodnjo  $H_2O_2$ , ki je potreben za aktivnost peroksidaz ali katalizirajo raz lenjene produkte razgradnje lignina, ki jih opravijo encimi kot so LiP, MnP in lakaze [42]. Lakaza je polifenolna oksidaza, ki spada v družino modrih multi bakrovih oksidaz. Ti encimi katalizirajo so asno eno-elektronsko oksidacijo štirih reduciranih molekul substrata s štiri elektronsko redukcijo molekule kisika do vode [43]. Lakaze oksidirajo širok obseg substratov, najbolje fenolne skupine. V prisotnosti mediatorjev, lakaze izkazujejo razširjen obseg substratov z možnostjo oksidacije in tako so s pomo jo mediatorjev lakaze sposobne oksidirati spojine z redoks potencialom, ki presega njihov redoks potencial (Slika 2.10). Lakaze se razlikujejo od LiP in MnP po tem, da ne zahtevajo  $H_2O_2$  za oksidacijo substratov. Aktivno mesto vsake molekule lakaze ima štiri bakrove ione: enega tipa 1, enega tipa 2 in dva tipa 3. Dva bakrova iona na strani tipa 3 sta antifero magnetno povezana. Bakrovi ioni tipa 2 in tipa 3 v aktivnem mestu, so razporejeni v unikaten tri jedrski grozd, ki je sposoben vezave kisika, ki je kon ni prevzemnik elektrona (Slika 2.9). Aktivnost lakaz je široko razširjena med razli nimi skupinami gliv [42].



Slika 2.9: Bakrovi centri v lakazi [44].



Slika 2.10: Katalitcki cikel oksidacijskega sistema lakaze – mediator [45].

### 2.1.4 Višje glive in njihova vloga pri razgradnji lignoceluloze

Obstajata dve glavni skupini gliv razgrajevalk lesa. Prva skupina je Basidiomycotina, običajno imenovana prostotrosnice, druga skupina je Ascomycotina ali zaprtotrosnice. Razgradnja lignoceluloze z glivami se v glavnem izvaja s specializirano skupino gliv prostotrosnic (Basidiomycota). Večina gliv je sparofitnih (uspevajo na mrtvem organskem materialu in odmrljih organizmih), lahko pa so tudi paraziti, simboli (mikorizne glive) in patogeni [46]. Glive razkrojevalke lesa razdelimo v tri različne skupine, in sicer glive rjave trohnobe, glive bele trohnobe in modrivke. Glive rjave trohnobe razgrajujo celulozo in hemicelulozo, medtem ko pustijo lignin nerazkrojen. Edina skupina gliv, ki je razvila sistem za uinkovito mineralizacijo lignina, so glive bele trohnobe [47].

#### 2.1.4.1 Glive bele trohnobe

Glive, ki povzročajo razkroj bele trohnobe izločajo encime, ki razgrajujo predvsem lignin, razgrajujo pa tudi hemicelulozo in celulozo. Oksidativno razkrojeni lignin daje izgled vlaken belega videza. Po mikroskopskih in ultra strukturnih preiskavah zasledimo dva glavna vzorca razkroja bele trohnobe [48].

Simultana (neselektivna) delignifikacija je znana ilna predvsem za listavce in razgrajuje celulozo, lignin in hemicelulozo so asno. Celi na stena razpade postopno od celi nega lumna proti srednji lameli. Pri tej razgradnji ostajajo znatne količine nerazkrojenega lesa. Prostotrosnice (npr. *Trametes versicolor*, *Irpex lacteus*, *Phanerochaete chrysosporium*, *Heterobasidion annosum* in *Phlebia radiata*) in zaprtotrosnice (npr. *Xylaria hypoxylon*) povzročajo to vrsto razgradnje.

Selektivna delignifikacija ali zaporedni razkroj je znana ilna za listavce in iglavce. Za etni razkroj je selektivno usmerjen na razkroj lignina, na hemicelulozo in celulozo pa kasneje. Lignin je razgrajen v srednji lameli, ki je raztopljen z mehanizmom difuzije, in v sekundarni steni. Ta vrsta razkroja poteka izključno z glivami iz skupine prostotrosnic (npr. *Ganoderma australe*, *Phlebia tremellosa*, *Ceriporiopsis subvermispora*, *Pleurotus spp.* in *Phellinus pini*).

Mnoge glive bele trohnobe povzročajo obe vrsti trohnobe (neselektivno in selektivno), kolikor ina simultanega ali selektivnega razkroja lesa se razlikuje tudi med različnimi sevi iste vrste in je odvisna tudi od substrata [46], [49].

#### 2.1.4.2 Bukov ostrigar (*Pleurotus ostreatus*)

Rod *Pleurotus* vključuje skupine užitnih ligninolitičnih gliv z zdravilnimi lastnostmi in pomembnimi biotehnološkimi in okoljskimi aplikacijami. Gojenje ostrigarjev je ekonomsko pomembno za živilsko industrijo in se je razširilo v zadnjih 30. letih. *Pleurotus ostreatus* je tretja najpomembnejša gojena goba za prehrambne namene. Glede prehrambnih lastnosti ima edinstven okus in aromatske lastnosti, je bogata s proteinimi, vlakninami, ogljikovimi hidrati, vitaminimi in minerali. Vrste *Pleurotus* so obetavne medicinske gobe, ki kažejo hematološke, antivirusne, antitumorne, antibiotske, antibakterijske in hipo-cholesterolne aktivnosti.

Bioaktivne molekule, izolirane iz različnih gliv, so predvsem polisaharidi. Eden najpomembnejših vidikov gliv iz rodu *Pleurotus* je povezan z uporabo njihovega ligninolitičnega sistema za različne uporabe, kot so biološka pretvorba kmetijskih odpadkov v koristne produkte za krmo živali in drugih prehrambnih izdelkov ter uporaba njihovih ligninolitičnih encimov za biorazgradnjo organskih onesnaževalcev, ksenobiotikov in industrijskih kontaminantov [50].

Komercialne gojitvene tehnike za užitne glice, iz vrst *Pleurotus*, so dobro razvite. V primerjavi z drugimi užitnimi gobami, so vrste *Pleurotus* relativno enostavne za gojiti. Zraven tega velja rod *Pleurotus* za najbolj prilagodljiv rod užitnih gob, sposoben rasti na raznolikih lignoceluloznih materialih [51]. Gojenje ostrigarjev se pojavlja po vsem svetu z uporabo številnih substratov. Vrsta uporabljenega substrata je pogosto odvisna od razpoložljivosti materialov v določeni regiji. V naravi rastejo vrste *Pleurotus* na lesu listavcev, zato so lesni ostanki primerni substrati za gojenje ostrigarjev. Pšenična slama je najbolj ustrezan substrat za gojenje ostrigarjev v ZDA in EU, medtem ko je obilica riževe slame na voljo na Kitajskem in se tam izkorišča kot substrat za gojenje ostrigarjev [52]. Zraven teh se kot substrati za gojenje ostrigarjev uporabljajo tudi koruzni storži, riževi in pšenični otrobi, žagovina, ostanki iz cvetličnega arstva, oljarski odpadki in ostanki iz pivovarstva [53] – [57].

Vrste gliv iz rodu *Pleurotus* proizvajajo različne encime, ki vključujejo hidrolaze, peroksidaze in fenoloksidaze. Glede na širok spekter proizvodnje encimov, bi se lahko povealo gojenje gliv vrste *Pleurotus* za proizvodnjo določenih encimov ali encimskih mešanic z aplikacijami na različnih področjih, kot so področja prehrane, bioremediacije in razgradnja lesnih ostankov. Vrste *Pleurotus* so užitne glice in glede na to imajo velike prednosti pred neužitnimi glivami npr. iz vrst *Aspergillus* in *Penicillium*.

## 2.2 Anaerobna fermentacija za proizvodnjo metana

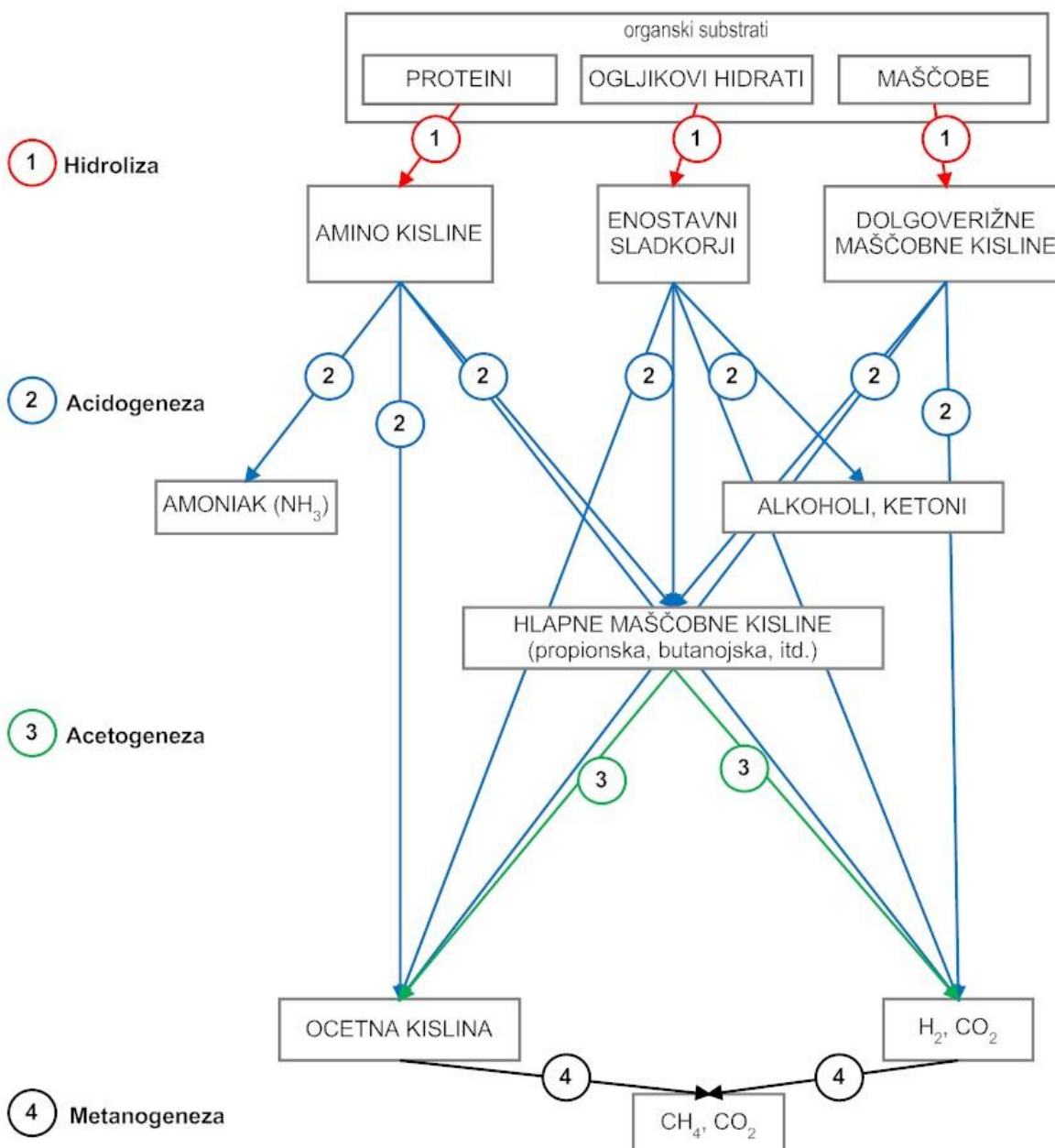
Anaerobna razgradnja je proces, pri katerem kompleksna mešanica simbiotskih mikroorganizmov pretvori organske snovi, brez prisotnosti kisika, v biopljin, hranila in dodatni organski material. Ostanejo pa soli in nerazgrajeni organski material. Biopljin je običajno sestavljen iz metana ( $\text{CH}_4$ ; 55 – 75 %) in ogljikovega dioksida ( $\text{CO}_2$ ; 25 – 45 %), vodne pare in sledi vodikovega sulfida. Biopljin je brez vonja in brez barve, ki gori z modrim plamenom. Proces anaerobne razgradnje izvajajo mikroorganizmi pri strogo anaerobnih pogojih iz dveh bioloških kraljestev, to so bakterije in arheje [58], [59].

Z anaerobno fermentacijo se stabilizira organska snov v blatih odpadnih vod, zmanjšajo se patogeni, smrad in celokupna trdna snov s pretvorbo njenega dela v biopljin. Različni faktorji, kot so bioplinski potencial substrata, način rtovanja reaktorjev, inkubator, strukturne značilnosti substrata, pH, temperatura, stopnja obremenitve, zadrževalni as, razmerje med ogljikom in dušikom, hlapne mašne obnove kisline, itd., vplivajo na proizvodnjo biopljina. Anaerobna fermentacija se lahko izvaja tako v šaržnih reaktorjih, kot tudi kontinuirnih reaktorjih. Obravnava se kot tehnologija za obdelavo odpadkov s katero se izboljšuje kakovost okolja in kot tehnologija trajnostnega pridobivanja energije [3].

Anaerobna fermentacija je dobro uveljavljen biološki proces za proizvodnjo obnovljive energije, pri katerem biomasa (substrat) razпадa in se pretvori v biopljin. Za proces anaerobne fermentacije se uporablja širok spekter različnih substratov (industrijske in komunalne odpadne vode in blata, organska frakcija komunalnih odpadkov, gnojevka), zlasti iz živilsko – predelovalne industrije, ki vsebujejo visoke koncentracije lahko razgradljivih organskih snovi v obliki ogljikovih hidratov, proteinov in mašne ob. V zadnjem obdobju se

pojavlja vse več zanimanja za proizvodnjo biometana iz lignocelulozne biomase, ki predstavlja trajnostni vir substrata, katerega je relativno dovolj na razpolago in je cenovno dostopen.

Pri procesu anaerobne fermentacije lo imo štiri glavne korake in sicer: hidrolizo, acidogenezo, acetogenezo in metanogenezo in štiri glavne skupine mikroorganizmov: hidroliti ne – fermentacijske bakterije, ki hidrolizirajo kompleksne organske spojine v enostavne spojine; fermentacijske bakterije, ki pretvarjajo preproste organske spojine v hlapne maščobe obne kisline s hkratno proizvodnjo vodika ( $H_2$ ) in ogljikovega dioksida ( $CO_2$ ); acetogene bakterije, ki pretvarjajo hlapne maščobe obne kisline v ocetno kislino in zadnja skupina so metanogene bakterije, ki proizvajajo metan iz acetata ali iz  $H_2$  in  $CO_2$  [60]. Potek anaerobne fermentacije je predstavljen na Sliki 2.11.



Slika 2.11: Potek anaerobne fermentacije (hidroliza, acidogeneza, acetogeneza in metanogeneza).

## 2.2.1 Potek anaerobne fermentacije

### 2.2.1.1 Hidroliza

Prva faza je depolimerizacija organskega materiala. Med hidrolizo so kompleksne netopne snovi, kot so polisaharidi, hidrolizirajo v manjše enote z velikim številom hidroliti nih mikroorganizmov (*Klostridia*, *Mikrokoki*, *Bakteroidi*, *Selenomonasi*, *Streptokoki*), ki izlo ajo razli ne hidroliti ne encime, kot so: celulaze, celobiaz, ksilanaze, amilaze, proteaze, lipaze [61], [62]. Hidrolitske reakcije zajemajo dve faz, ki jih izzovejo ekstracelularni encimi bakterij, ki so striktni ali fakultativni anaerobi. V prvi fazi poteka bakterijska kolonizacija, kjer hidrogene bakterije prekrijejo površino trdnih delcev. Bakterije na površini delcev izlo ijo encime, ki razgradijo kompleksne substrate do monomerov, ki jih lahko porabijo hidroliti ne bakterije same ali druge bakterije [63].



Približna kemijska formula za mešane organske odpadke je  $\text{C}_6\text{H}_{10}\text{O}_4$ . Ena ba 2.1 prikazuje primer hidrolitske reakcije, kjer so organski odpadki razgrajeni v preproste sladkorje, kot je glukoza. S hidrolizo celuloze z encimskim kompleksom celulaz nastane glukoza, z razgradnjo hemiceluloze nastanejo monosaharidi, kot so ksiloza, glukoza, galaktoza, arabinoza in manoza. Anaerobna fermentacija trdnih lignoceluloznih materialov in dostopnost hidroliti nih mikroorganizmov do lignoceluloze predstavlja korak, ki omejuje hitrost procesa. Ena od možnosti je predobdelava LB, s katero se razgradijo polimeri, ki prepre ujejo prodiranje mikroorganizmov ali ekstracelularnih encimov [62], [64], [65].

### 2.2.1.2 Acidogeneza

Hidroliti ni in acidogeni mikroorganizmi rastejo približno desetkrat hitreje kot metanogeni. V acidogenezi se navadno odvijajo najhitrejše reakcije pri anaerobni konverziji kompleksnega organskega materiala [66]. Med acidogenezo sladkorjev, dolgovertižnih maš obnih kislin in amino kislin, ki so produkti hidrolize, so uporabljeni kot substrati fermentacijskih mikroorganizmov (*Streptokoki*, *Laktobacili*, *Bacili*, *Escherichia coli*, *Salmonela*), ki proizvajajo organske kisline, kot so ocetna, propionska, maslena in ostale kratko verižne maš obne kisline, alkohole,  $\text{H}_2$  in  $\text{CO}_2$  [67] – [69].

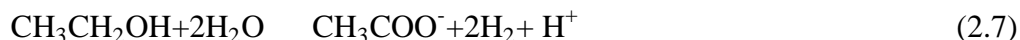
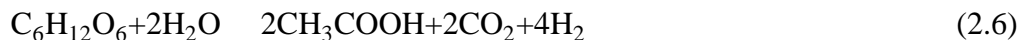
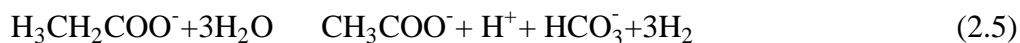


Ena be 2.2 do 2.4 predstavljajo tri tipi ne reakcije acidogeneze. Ena ba 2.2 prikazuje pretvorbo glukoze v etanol. V Ena bi 2.3 je prikazana pretvorba glukoze v propionat in Ena ba 2.4 prikazuje pretvorbo glukoze v ocetno kislino. Prehod organskega materiala v organske kisline povzroči znižanje pH vrednosti v sistemu. Ti pogoji so koristni za acidogene in acetogene bakterije, ki imajo raje nekoliko bolj kislo okolje s pH vrednostmi med 4,5 in 5,5. Ve ina produktov, proizvedenih v metabolizmu glukoze, ima kot intermediat piruvi no kislino. V odvisnosti od prisotne anaerobne mikrobne združbe in od lastnosti reaktorja, lahko vodi nadaljnja fermentacija piruvi ne kisline v proizvodnjo številnih  $\text{C}_1 - \text{C}_4$  spojin kot so hlapne maš obne kisline npr. ocetna, propionska in maslena kislina, ostale organske kisline (mravljin na in mle na), alkohole, ketone in aldehyde [70]. Amino kisline lahko služijo tudi kot energija in vir ogljika za striktne ali fakultativne fermentacijske bakterije. Kratko verižne maš obne kisline ( $\text{C}_2 - \text{C}_5$ , ravne ali razvezjane) nastajajo s pomočjo reduktivne deaminacije alifatskih amino kislin, specifične fermentacijske poti individualnih

amino kislin ali oksidacijsko – redukcijskih reakcij med pari amino kislin [71], [72]. Koncentracija in delež posamezne hlapne maš obne kisline, proizvedene v acidogeni fazi, je pomemben za splošno uinkovitost sistema anaerobne fermentacije, saj sta ocetna in maslena kislina pomembna predhodnika za tvorbo metana [73].

#### 2.2.1.3 Acetogeneza

Acetogene bakterije so striktni anaerobi, ki delujejo optimalno pri pH vrednosti okrog 6 in uinkujejo po vzorcu poti acetil koencima A, ki vsebuje encime ekstremno ob utljive na kisik [74]. So po asi rasto e, ob utljive na nihanja v organski obremenitvi in spremembah okolja. Zahtevajo dolgo fazo prilagajanja na nove pogoje okolja [75]. Metanogeni mikroorganizmi ne morejo neposredno uporabiti produktov acidogeneze, zato morajo biti nadalje pretvorjeni med acetogeno fazo, preden iz njih nastane biopljin. Med acetogenezo poteka pretvorba produktov iz acidogeneze v ocetno kislino, vodik in ogljikov dioksid s pomojo sekundarnih fermentacijskih bakterij. Na splošno lahko lo imo dve vrsti acetogenih mehanizmov (hidrogenacijo in dehidrogenacijo). Acetogeni hidrogenacijski mikroorganizmi vklju ujejo proizvodnjo acetata kot edinega kon nega produkta, bodisi s fermentacijo heksoz ali iz CO<sub>2</sub> in H<sub>2</sub>. Acetogeni dehidrogenacijski mikroorganizmi vklju ujejo anaerobno oksidacijo dolgoverižnih in kratkoverižnih (hlapnih) maš obnih kislin. Sodelujo i mikroorganizmi so obligatorne proton reducirajo e ali obligatorne vodik proizvajajo e bakterije. Te bakterije inhibirajo nizki parcialni tlaki vodika, tako da lahko preživijo le v sinergiji z vodik porabljam i metanogeni mikroorganizmi. Ocetna kislina, vodik in ogljikov dioksid, proizvedeni med acidogenezo in acetogenezo, so substrati za metanogeno fazo [69], [76], [77].



Ena na 2.5 predstavlja pretvorbo propionata v acetat, kar je dosegljivo samo pri nizkem tlaku vodika. Ena bi 2.6 je glukoza pretvorjena v acetat. Acetogeni mikroorganizmi ne morejo pretvoriti etanola direktno v metan in ogljikov dioksid. Najprej morajo pretvoriti etanol do ocetne kisline in posledi no sprostijo molekularni vodik. Ena ba 2.7 prikazuje pretvorbo etanola do acetata [3].

#### 2.2.1.4 Metanogeneza

Metan je stranski produkt metabolizma metanogenih mikroorganizmov, ki pripadajo Arhejam, pri anaerobnih pogojih. Metanogeni imajo nenavaden tip metabolizma, saj uporabljam H<sub>2</sub>/CO<sub>2</sub>, format, metilirane C1 spojine ali acetat kot vir energije in vir ogljika za rast. Proizvodnja metana se pojavi v dveh na inih: s pomojo cepitve molekul ocetne kisline do ogljikovega dioksida in metana ali z redukcijo ogljikovega dioksida z vodikom.



Hidrogenotropna metanogeneza je najpogostejsa metabolna pot, kjer se CO<sub>2</sub> in H<sub>2</sub> pretvorita v metan (Ena ba 2.8). Zraven H<sub>2</sub> lahko ve ina hidrogenotropov, kot glavni donor elektronov, uporabi tudi format [78]. V drugem tipu metanogeneze (acetoklastna metanogeneza) je acetat direktno pretvorjen v metan (Ena ba 2.9). Karboksilna skupina acetata je oksidirana v CO<sub>2</sub>, pri emer je metilna skupina reducirana do metana. Metanogeni, ki porabljam vodik, so

bolj odporni na spremembe okolja kot acetoklastni metanogeni. Metanogeni so na splošno zelo ob utljivi na spremembe, ljubše jim je rahlo alkalno okolje. Če pade pH vrednost v sistemu pod 6, metanogeni ne morejo preživeti. Metanogeneza je stopnja, ki kontrolira celoten anaerobni proces [69],[79].

Eprav se ocenjuje, da proces anaerobne fermentacije poteka v štirih fazah, se pojavljajo vse štiri faze so asno in tako sinergijsko delujejo na proces kot celoto.

### **2.2.2 Dejavniki, ki vplivajo na proces anaerobne fermentacije**

Celoten proces anaerobne fermentacije zahteva kompleksne interakcije več različnih vrst bakterij, ki morajo biti v ravnotežju, da ostanejo razmere v reaktorju stabilne. Spremembe pogojev okolja lahko motijo ravnotežje in povzročijo kopije enje vmesnih produktov, ki lahko zavrejo celoten proces ali ga v celoti destabilizirajo. Ključna nega pomena za stabilen proces je uporaba meritnih in senzorskih naprav za kontinuirano spremljanje parametrov v reaktorju, s katerimi lahko preprečimo nestabilnost procesa.

Več dejavnikov v reaktorju vpliva na okolje v reaktorju in s tem na stopnjo razgradnje in proizvodnjo bioplina. Med potekom procesa je potrebno spremljati vrsto v nadaljevanju navedenih parametrov, katerih vrednosti je potrebno vzdrževati znotraj sprejemljivih vrednosti za omogočanje stabilnosti procesa.

#### *2.2.2.1 pH vrednost*

Primarni pogoj stabilnosti procesa v fermentorju je vrednost pH, ki se lahko spremeni glede na odziv na biološke pretvorbe med različnimi fazami v procesu anaerobne fermentacije. Stabilna pH vrednost nakazuje ravnotežje v fermentorju in stabilnost procesa. Znižanje vrednosti pH lahko kaže akumulacijo kislin in nestabilnost fermentorja. Razpon sprejemljivih pH vrednosti za bakterije, ki sodelujejo v procesu anaerobne fermentacije, je med 5,5 in 8,5, eprav velja, da bližje je vrednost pH nevtralnemu območju, večja je verjetnost optimalnega delovanja metanogenih bakterij [80]. Medtem ko lahko acidogene bakterije delujejo dobro pri pH vrednostih nad 5, metanogene bakterije zahtevajo minimalno pH vrednost 6,2.

Med fermentacijo acidogena faza in metanogena faza zahtevata različne pH vrednosti za optimalen potek procesa. Acetogeneza lahko povzroči kopije enje velike količine organskih kislin, s tem se lahko pH vrednost v fermentorju zniža pod pH 5. V začetni fazi se pH zniža, ko so organske snovi izpostavljene acetogenezi. Vendar metanogeni hitro porabijo te kisline in zvišajo pH vrednost fermentacijske brozge in stabilizirajo delovanje fermentorja. Zaradi občutljivosti metanogenov na kisle pogoje, lahko prekomeren nastanek kislin zavira metanogene. Največja verjetnost za nestabilnost procesa v fermentorju je posledica akumulacije kislin. Znižanje pH lahko kontroliramo s pomočjo dodajanja apna ali s pretakanjem izcedne vode iz obdelave ostanka po fermentaciji [81].

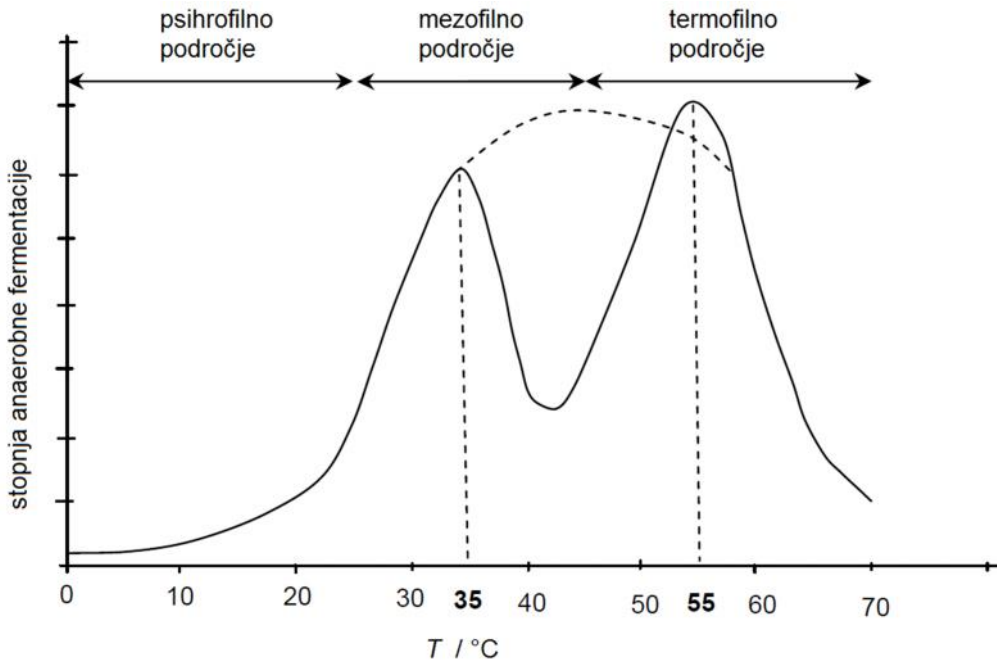
#### *2.2.2.2 Temperatura*

Zaradi močne odvisnosti temperature in stopnje razgradljivosti, je temperatura eden od ključnih parametrov, ki ohranja sistem v želenem območju. Anaerobne bakterije lahko preživijo v območjih od temperatur blizu ledišča pa do 70 °C, vendar optimalno rastejo v dveh območjih: mezofilnem z optimalno temperaturo okrog 35 °C, in termofilnem, z optimalno temperaturo 55 °C.

Termofilni temperaturni nivo omogoča višje stopnje obremenitve in dosega višjo stopnjo uničenja patogenih organizmov. Višja je tudi stopnja degradacije substratov. Vendar je ta temperaturni nivo bolj občutljiv na toksine in manjše spremembe okolja, prav tako je manj ugoden nivo iz energijskega vidika, saj potrebuje več topote. Bakterije, ki delujejo v

mezofilnem območju, so bolj robustne in lahko prenesejo veje sprememb okoljskih parametrov, vključno s temperaturo [82], [83].

če je na voljo dovolj asa za prilagajanje mikroorganizmov v šaržnem ali kontinuirnem reaktorju, je gojenje mikroorganizmov možno tudi pri temperaturah 30, 37, 45, 50 in 55 °C. Pri takih pogojih bo proizvodnja bioplina na podobni ravni (rtkana rta Slika 2.12) kot je pri mezofilnem ali termofilnem področju (Slika 2.12) [82].



Slika 2.12: Vpliv temperature na stopnjo procesa anaerobne fermentacije. Rtkana rta predstavlja potek anaerobne fermentacije pri vmesnih temperaturah med mezofilnim in termofilnim področjem [82].

#### 2.2.2.3 Razmerje ogljik/dušik

Razmerje ogljik/dušik je merilo relativne količine organskega ogljika in dušika prisotnega v vhodnem substratu anaerobne fermentacije. Optimalno razmerje C/N v anaerobnih fermentatorjih je med 20 in 30. Nizko razmerje C/N ali preveč dušika lahko povzroči kopi enje amonijaka, ki lahko privede do pH vrednosti nad 8,5, ki so toksični za metanogene bakterije. Visoko razmerje C/N bo povzročilo hitro potrošnjo dušika iz strani metanogenih bakterij, kar se odraža v nižji stopnji proizvodnje plina. Optimalno C/N razmerje anaerobno fermentiranih substratov se lahko doseže z mešanjem substratov z nizkim in visokim C/N razmerjem. Tak primer je mešanje organske frakcije komunalnih odpadkov z živalsko gnojevko ali komunalnimi odpadkami [81].

#### 2.2.2.4 Zadrževalni as

asovno obdobje, v katerem ostane substrat v reaktorju, se imenuje zadrževalni as. Določeno se glede na povprečni as, ki je potreben za razkrov organičnega materiala in je merjen kot KPK in BPK v izhodnem toku iz reaktorja. Daljša asa kot je substrat izpostavljen pogojem anaerobnih reakcij, bolj popolna je razgradnja substrata. Kakorkoli, intenzivnost reakcij v reaktorju se bo zmanjšala s podaljševanjem zadrževalnega asa, kar kaže na to, da je potrebno določiti optimalni as in katerem bo dosežena visoka stopnja razgradnje na stroškovno učinkovit način. Primeren zadrževalni as je odvisen od vhodnih surovin, razmerje okolja in predvideno uporabo trdnega ostanka po fermentaciji [84]. Ena od slabosti anaerobne fermentacije v trdnem stanju je dolg zadrževalni as (15 do 30 dni), v primerjavi s

tek o fermentacijo, kjer so lahko zadrževalni asi nižji od treh dni. Substrati z visoko vsebnostjo organske snovi potrebujemo daljši zadrževalni as za razgradnjo. Vendar se lahko zadrževalni as fermentacije v trdnem stanju zniža z obratovanjem sistema v termofilnem temperaturnem podroju [85].

#### 2.2.2.5 *Organska obremenitev*

Organska stopnja obremenitve je opredeljena kot koli ina organskih snovi (izraženo kot hlapne trdne snovi ali KPK vhodnega substrata), ki mora biti obdelana v določenem volumnu reaktorja in v določenem asovnem obdobju. Organska stopnja obremenitve lahko variira pri istem zadrževalnem asusu substrata, e koli ina organske snovi v vhodnem substratu variira. Nevarnost povečanja organske stopnje obremenitve se lahko kaže v povečanem številu acidogenih bakterij, ki delujejo v začetni fazi procesa razgradnje in se hitro razmnožujejo. To privede do večjih koli in proizvedenih kislin, ki jih metanogene bakterije ne morejo prebaviti v tako veliki koli in, saj se razmnožujejo po asneje in v začetni fazi njihova populacija še ni dovolj razmnožena. Tako lahko vrednost pH v sistemu pada, kar lahko privede do nestabilnosti v sistemu in posledi do ustavitve razgradnje. Zgodnja znaka, ki nakazujete nestabilnost, sta nizka proizvodnja bioplina in nizka vrednost pH [86].

#### 2.2.2.6 *Hranila*

Za stabilno fermentacijo in optimizacijo biometanizacije mora biti poleg ostalih pogojev zagotovljeno tudi primerno ravnotežje sestave hranil in mineralov v substratu. Glavna hranila: ogljikove, dušikove, fosforjeve in žveplove spojine morajo biti na razpolago za rast celične biomase. Pomanjkanje hranil ali neprimerno ravnotežje hranil lahko precej zavira tvorbo metana oz. moti fermentacijo in zmanjša proizvodnjo metana [87]. Elementi v sledovih so nujni za rast in metabolizem mikroorganizmov: žveplo je potrebno za graditev celične strukture in za metanogene bakterije so nujno potrebni nikelj, kobalt, molibden in volfram [88].

#### 2.2.2.7 *Mešanje*

Mešanje je obvezno potrebno za optimizacijo procesa, za izboljšavo kontakta med materialom in mikroorganizmi in za odstranitev inhibitornih metabolnih produktov od mikroorganizmov. Mešanje se prav tako uporablja za razprševanje plavajočih goščev in slojev penjenja, ki so znani za nekatere vhodne snovi, kot so gospodinjski mulji. Zaradi tega komercialni fermentorji vključujejo mešanje, ki se opravlja z mehaničnim premikanjem, obtakanjem tekočine ali obtakanjem plina. Pri šaržnih reaktorjih se ne mešajo trdne snovi v reaktorju, ampak se uporabi izcedna voda za uravnavanje vlage, inokulacijo in odstranitev inhibitornih organskih kislin, ki se tvorijo v začetni fazi [89].

### 2.3 Osnovni koncept načrtovanja eksperimentov

Statistično načrtovanje eksperimentov se nanaša na postopek načrtovanja eksperimentov. Tako se lahko ustrezeni podatki analizirajo s statističnimi metodami, ki izhajajo iz veljavnih in objektivnih zaključkov [90]. Pri obravnavi eksperimentalnih podatkov lahko obstajajo težave zaradi eksperimentalnih napak. Edini način, da se lahko izognemo eksperimentalnim napakam, je statistična metodologija. Pomembna je jasna ideja pred izvedbo dejanskih eksperimentov. Slika 2.13 prikazuje smernice za načrtovanje eksperimentov po predlogu Montgomery [90]. Tudi so podatki zbrani na ustrezen način, je analiza odvisna od celotnih izvedenih eksperimentov. Brez ustreznega načrtovanja eksperimentov je težko

izvesti jasno in natančno analizo. Pri načrtovanju eksperimentov je zelo pomembno, da zelo dobro razumemo njegovo strukturo in sestavine. Nivo vsakega faktorja mora biti obravnavan glede na praktične izkušnje in teoretična znanja.



Slika 2.13: Smernice eksperimentalnega načrtovanja (povzeto po Montgomery [90]).

### 2.3.1 Načrtovanje eksperimenta s Taguchi metodo

Taguchi metoda vključuje zmanjšanje variacij v procesu z zanesljivim načrtovanjem eksperimenta. Eksperimentalno načrtovanje s Taguchi metodo vključuje uporabo ortogonalnih matrik z namenom organiziranja parametrov, ki vplivajo na proces, in nivojev na katerih lahko parametri variirajo. Metoda omogoča zbiranje potrebnih podatkov za določitev faktorjev, ki najbolj vplivajo na produktivnost procesa z minimalnim številom eksperimentov, sicer prihranimo resurs in vire. Analiza nihanja zbranih podatkov po Taguchi metodi se lahko uporablja za izbiro novih vrednosti parametrov z namenom optimizacije procesa [91]. Obstajata dve vrsti faktorjev, ki vplivata na proizvod ali proces. Prvi so kontrolni faktorji in drugi so faktorji šuma. Kontrolni faktorji (npr. temperatura procesa) se lahko nadzorujejo, medtem ko je faktorjev šuma (npr. zunanjega temperature) težko nadzirati ali se ne morejo nadzirati. Analiza razmerja med signalom in šumom je tako med prednostmi nastavitev. Obstajajo tri različne kategorije karakteristik analize razmerja med signalom in šumom [90]:

(a) Manjše je boljše (omogoča odziv sistema na najnižjo vrednost):

$$-10 \log \left[ \frac{1}{n} \sum_{i=1}^n y_i^2 \right] \quad (2.10)$$

(b) Nominalna vrednost je najboljša (zmanjšanje variabilnosti okrog ciljne vrednosti):

$$10 \log \left[ \frac{\bar{y}^2}{s^2} \right] \quad (2.11)$$

(c) Veje je boljše (omogoča odziv sistema na najvišjo vrednost):

$$-10 \log \left[ \frac{1}{n} \sum_{i=1}^n \frac{1}{y_i^2} \right] \quad (2.12)$$

kjer so:

$\bar{y}$  povprečje opazovanih podatkov,

$s$  odmik od  $y$ ,

$n$  število ponovitev eksperimentov,

$y$  opazovani podatek.

### 3 Eksperimentalni del

#### 3.1 Materiali

##### 3.1.1 Lignocelulozna biomasa

Lignocelulozno biomaso (LB) smo pridobili iz Centra za ravnanje z odpadki CERO Gajke Ptuj. Veji del LB je sestavljen iz lesne biomase, ki vsebuje obreznine dreves in grmovja, poleg tega velik del LB vsebuje tudi pokošeno travo, obreznine živih mej, ostanke okrasnih rastlin, plevel in listje. Razmerje posamezne komponente v LB ni konstantno skozi celotno leto, močno je odvisno od letnega asa. Posamezni vzorec LB smo zmleli z vrtnim drobilnikom Viking GE 250. Tako pripravljeno LB smo uporabili v pilotnem procesu anaerobne fermentacije. Sledilo je fino mletje LB s sekjalnikom Philips Blender HR 2161/40. Tako pripravljeno LB smo uporabili v sistemu AMPTS II. Za pripravo gojiša za gojenje glive *P. ostreatus*, smo fino mleto LB sušili pri temperaturi 60 °C in nato smo jo zdrobili na delce 0,2 do 0,5 cm s sekjalnikom Moulinex AR 1105. Tako pripravljeno LB smo uporabili tudi pri testu encimske hidrolize. Digestat oz. trdni ostanek po fermentaciji smo prav tako uporabili pri testu encimske hidrolize, le tega smo pridobili po anaerobni fermentaciji LB v pilotnem sistemu. Digestat smo posušili in nato na temperaturo 60 °C, nato smo ga zdrobili na delce 0,2 do 0,5 cm s sekjalnikom Moulinex AR 1105.



Slika 3.1: LB iz CERO Gajke, različni sestavi v različnih asovnih obdobjih.

##### 3.1.2 Pšenični otrobi

Pšenične otrobe (PO) smo kupili v lokalnem mlinu Korošec (Zabovci). Pred uporabo v gojiših za gojenje glive *P. ostreatus*, smo PO sušili in nato pri temperaturi 60 °C v pečici na vroči zrak, da smo odstranili vso vlago.

### 3.1.3 Vcepek glive *Pleurotus ostreatus*

Sev glive *P. ostreatus* PLAB smo pridobili iz zbirke gliv Oddelka za lesarstvo, Biotehniška fakulteta, Univerza v Ljubljani, Slovenija. Micelijsko kulturo smo pripravili na petrijevih plošah. Osnovno kulturo micelija smo gojili na krompirjevem glukoznem agarju (PDA), in sicer smo v 1 L destilirane vode raztopili  $m = 39$  g PDA praha, sledila je sterilizacija pri temperaturi 121 °C za 25 min. V naslednjem koraku smo topel steriliziran PDA medij v laminariju prelili v sterilne petrijeve ploše. Vsako petrijevo plošo smo inokulirali z micelijem in zatesnili s parafilmom. Pred uporabo smo petrijeve ploše inkubirali pri temperaturi 25 °C sedem dni. Po sedmih dneh smo petrijeve ploše s preraš enim micelijem prestavili na  $T = 4$  °C, nadaljnje vzdrževanje aktivnosti kulture se je vršilo vsake 4 tedne po zgoraj opisanem postopku. Iz preraš enega gojiša smo izsekali okrogle cepe, ki imajo premer 6 mm, ter z njimi inokulirali gojiša v Erlenmajericah. Izgled preraš enega PDA medija z micelijem je predstavljen na Sliki 3.2.



Slika 3.2: Micelij glive *P. ostreatus* PLAB gojen na PDA mediju, uporabljen kot inokulum na gojiših v Erlenmajericah.

### 3.1.4 Anaerobna mikrobna biomasa

Anaerobno mikrobno biomaso, ki smo jo uporabljali v sistemu AMPTS II kot inokulum, smo pridobili iz komercialne bioplinske naprave, ki obratuje v mezofilnem temperturnem območju ter se napaja pretežno z mešanico odpadnih kmetijskih surovin živalskega izvora in odpadkov živilskopredelovalne industrije.

## 3.2 Metode dela

### 3.2.1 Test biometanskega potenciala s sistemom AMPTS

Potencial LB in vzorcev preraš enih z glivo smo določili z avtomatskim testom bioplinskega potenciala v sistemu AMPTS II (BioProcess Control). Z eksperimentom smo želeli določiti biometanski potencial LB. Zanimal nas je tudi biometanski potencial vzorcev LB, na katerega smo nacepili glivo *P. ostreatus*, saj smo s tem želeli preučiti vpliv biološke predobdelave na proizvodnjo bioplina. LB smo pridobili iz CERO Gajke, vzorce smo odvzeli v mesecu avgustu in oktobru 2011. Zaradi heterogenosti vzorca LB, smo le tega najprej zmleli (vrtni drobilec Viking GE 250) in nato presejali skozi sito (8,0 mm). Sledila je sterilizacija materiala ( $m = 350$  g) v 2,5 L steklenih kozarcih pri temperaturi 121 °C. Na tako pripravljen substrat smo nacepili micelij glive *P. ostreatus*. Kozarci so bili zaprti s pokrovi, na katerih so bile luknje premora 25 mm, ki so bile zaprte z vato. S tem je bil omogočen prehod zraka v kozarce in onemogočena okužba. Gojenje je potekalo v inkubatorju, pri konstantni temperaturi  $22 \pm 1$  °C. Gliva je na vzorcih rastla različno dolgo, prav tako je bila vidna različna intenziteta rasti micelija na različnih vzorcih. Za določitev biometanskega potenciala smo izbrali vzorce z različnimi inkubacijskimi časovnimi razstavami rasti micelija, ter vzorce, ki so bili različni po prerašenosti z micelijem: popolnoma prerašeni z micelijem, ali delno prerašeni z micelijem. Pregled vzorcev, uporabljenih za določitev biometanskega potenciala, je predstavljen v Tabeli 3.1.

Tabela 3.1: Oznake in karakteristike rasti glive na vzorcih, uporabljenih v sistemu AMPTS II za določitev biometanskega potenciala.

Vzorec	Oznaka	$t_{gojenja/dan}$	Videz rasti micelija
vhodni vzorec avgust	VHA	/	/
izhodni vzorec avgust 1	IZA1	79	aktivna
izhodni vzorec avgust 2	IZA2	114	aktivna
vhodni vzorec oktober	VHO	/	/
izhodni vzorec oktober 1	IZO1	66	šibka
izhodni vzorec oktober 2	IZO2	66	aktivna

Glavno enoto sistema AMPTS II predstavlja 15 reaktorjev, volumen posameznega reaktorja je 600 mL. Reaktorji so postavljeni v vodno kopel, vsak reaktor je opremljen z mešalom, ki zagotavlja mešanje substrata in inokuluma ter tako preprečuje nastajanje temperturnega gradiента. Koli ina nastalega plina se meri s pomočjo plovne celice ( $V_{celice} = 10$  mL) na katero je iz vsakega reaktorja izpeljan plin, meritve se beležijo na integriranem raunalniškem strežniku (Slika 3.3).



Slika 3.3: Sistem AMPTS II. (a) *on-line* beleženje koli ine nastalega bioplina, (b) termostatirana vodna kopel z reaktorji, (c) enota za odvzem vzorcev bioplina, (d) plovna celica za merjenje volumna nastalega bioplina.

### 3.2.1.1 Priprava inokuluma

Anaerobno biomaso, ki smo jo uporabili kot inokulum, smo takoj po odvzemu preprihovali z dušikom in jo termostatirali na 37 °C ( $t = 30$  dni), z namenom porabe ve ine organske snovi, ki ne predstavlja mikrobne biomase. Upad na bazalni nivo smo ugotovili s spremljjanjem proizvodnje plinske faze inokulama s sistemom AMPTS. Po kon anem inkubiranju smo za potrebe testov bioplinskega potenciala inokulumu dolo ili suho snov (SS), organsko snov (OS) ter gostoto.

### 3.2.1.2 Sestava testnih mešanic v sistemu AMPTS

Po vnosu ustreznih vhodnih podatkov v program sistema AMPTS, nam je program izra unal potrebno koli ino substrata z zanimimi karakteristikami, ki smo ga morali dodati v testno mešanico, da je obratoval sistem pri želeni obremenitvi, ki smo jo sami dolo ili. V program smo vnesli OS inokuluma (ut. %), OS substrata (ut. %), potrebno obremenitev reaktorja in maso testne mešanice. Postopek dolo evanja recepture za sistem AMPTS je dvostopenjski, saj smo morali od testne mešanice odvzeli vzorec, kateremu smo morali, zaradi kon nih prera unov, dolo iti OS, SS, kemijsko potrebo po kisiku (KPK), pH, itd. V našem eksperimentu, smo prvo sestavo testnih mešanic dolo evali za 400 mL, nato smo testni mešanici odvzeli 50 mL vzorca za namen analiz. Tako smo morali podatke popraviti na dejansko obratovalno prostornino testnih mešanic v sistemu AMPTS (350 mL).

Za potrebe prera unov za sistem AMPTS smo dolo ili gostoto inokuluma. Stehtali smo maso znanega volumna inokuluma ter po naslednji ena bi izra unali gostoto:

$$= \frac{m}{V} \quad (3.1)$$

kjer so:

gostota, g/mL,

$m$  masa, g,

$V$  volumen, mL.

Na podlagi vnesenih podatkov je program izračunal potrebne količine vhodnih materialov po naslednjem postopku:

$$\frac{I}{S} = \frac{m_i \cdot OS_i}{m_s \cdot OS_s} \quad (3.2)$$

$$m_i + m_s = m_{tm} \quad (3.3)$$

kjer so:

$m_i$  masa inokuluma, g,

$OS_i$  organska snov inokuluma, g/g,

$m_s$  masa substrata, g,

$OS_s$  organska snov substrata, g/g,

I/S razmerje med inokulumom in substratom,

$m_{tm}$  masa testne mešanice, g.

Reaktorje ( $V_d = 350$  mL) smo obremenili z 1,5 g  $OS_s/OS_i$  ( $SS_i = 25$  g/L,  $OS_i = 15$  g/L oz. 55 % SS) in jih 56 dni inkubirali pri temperaturi 37 °C v dveh paralelkah. Vzporedno s testnimi mešanicami smo spremljali proizvodnjo bioplina v slepi in standardni kontroli. Slepoto kontrolo, v kateri smo inkubirali inokulum, smo uporabili za spremljanje bazalne proizvodnje anaerobne mikrobne združbe. Po zaključku poskusa smo količine nastalega bioplina v testnih mešanicah korigirali na bazalno proizvodnjo slepe kontrole. Standardno kontrolo smo izvedli z dodatkom celuloze, ki velja za lahko razgradljivo snov. Potek anaerobne razgradnje v inkubiranih standardnih kontrolah je potrdil tehnike pravilno izvedbo poskusov.

### 3.2.1.3 Postopek priprave mešanic testnih reaktorjev

V reaktor smo zmešali v naprej izračunano količino ino inokuluma in vzorca. Mešanico smo dobro premešali in jo 10 min prepričovali z dušikom. S tem smo izgnali iz testne mešanice kisik. Po prepričovanju smo odlili 50 mL testne mešanice za opravljanje analiz. Do izvajanja analiz smo jih shranili v zamrzovalniku. Reaktorje smo nato nepredušno zaprli in jih namestili v vodno kopel pri temperaturi 37 °C. Prostor, ki ga v reaktorjih ni zavzela testna mešanica, smo za 5 min prepričovali z argonom (Ar). Le to smo izvedli z namenom izgonila N<sub>2</sub>, saj smo med procesom anaerobne razgradnje spremljali tudi N<sub>2</sub>. Brez prepričovanja z Ar rezultati proizvodnje N<sub>2</sub> ne bi bili natančni. Za tem smo reaktorje povezali s sistemom cevki na preto ni merilec bioplina, zagnali smo mešanje v reaktorjih in preko ravnalniškega sistema zagnali poskus. Med poskusom smo bili pozorni na nivo vode v vodni kopeli, v kateri so bili postavljeni reaktorji sistema AMPTS. Gladina je morala vedno segati do nivoja testnih mešanic v reaktorjih. Test smo ustavili, ko je bila proizvodnja bioplina minimalna, to je 1 do 2 NmL/dan.

### 3.2.1.4 Redukcija OS in KPK v sistemu AMPTS

Ob koncu procesa predstavlja redukcija OS in KPK rezultat pretvorbe organske snovi v bioplin, novo biomaso in presnovljeni substrat.

Redukcijo OS računamo po naslednjem postopku:

$$OS_{red}(\frac{g}{kg}) = (OS_{tmvh} - OS_{tmiz}) - (OS_{ivh} - OS_{iiz}) \quad (3.4)$$

$$OS_{red}(\%) = \frac{OS_{red} \cdot 100}{OS_{tmvh} - OS_{ivh}} \quad (3.5)$$

kjer so:

$OS_{red}$	redukcija OS, g/kg,
$OS_{red}$	delež redukcije OS, %,
$OS_{tmvh}$	za etna organska snov testne mešanice, g/kg,
$OS_{tmiz}$	kon na organska snov testne mešanice, g/kg,
$OS_{ivh}$	za etna organska snov inokuluma, g/kg,
$OS_{iiz}$	kon na organska snov inokuluma, g/kg.

Redukcijo KPK računamo po naslednjem postopku:

$$KPK_{red} \left( \frac{\text{mg}}{\text{L}} \right) = (KPK_{tmvh} - KPK_{tmiz}) - (KPK_{ivh} - KPK_{iiz}) \quad (3.6)$$

$$KPK_{red} (\%) = \frac{KPK_{red} \cdot 100}{KPK_{tmvh} - KPK_{ivh}} \quad (3.7)$$

kjer so:

- $KPK_{red}$  redukcija KPK, mg O<sub>2</sub>/L testne mešanice,  
 $KPK_{red}$  delež redukcije KPK, %,  
 $KPK_{tmvh}$  za etni KPK testne mešanice, mg/L,  
 $KPK_{tmiz}$  kon ni KPK testne mešanice, mg/L,  
 $KPK_{ivh}$  za etni KPK inokuluma, mg/L,  
 $KPK_{iiz}$  kon ni KPK inokuluma, mg/L.

### 3.2.1.5 Bioplinski in biometanski potencial

Merilo o ustreznosti testiranega substrata za pridobivanje bioplina je določeno z njegovim bioplinskim oz. biometanskim potencialom. Bioplín nastaja z razgradnjo organskih snovi, zato celokupno proizvodnjo bioplina podajamo na maso vhodne OS ali vhodne KPK vrednosti uporabljenih substratov.

$$BPP \left( \frac{\text{NmL}}{\text{g OS}} \right) = \frac{V_B}{OS_s} \quad (3.8)$$

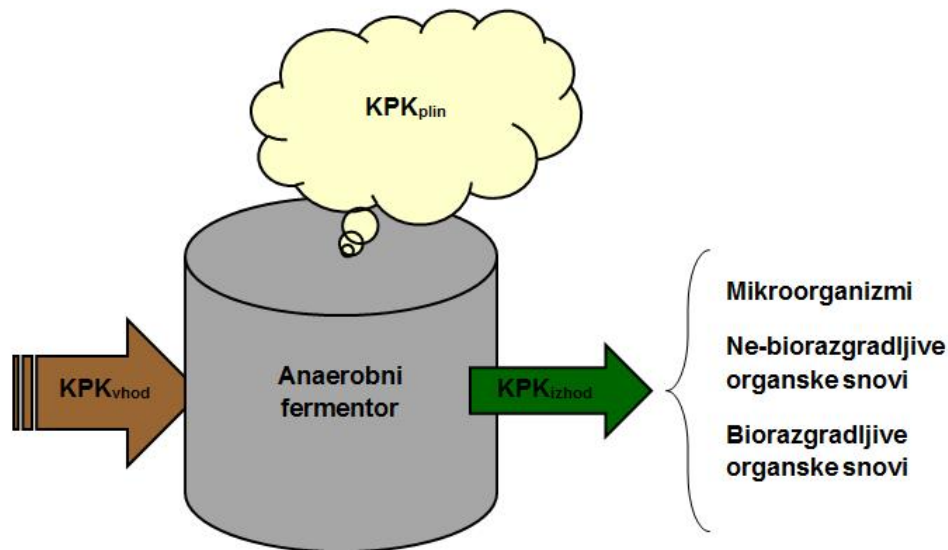
$$BMP \left( \frac{\text{NmL CH}_4}{\text{g OS}} \right) = \frac{V_{CH_4}}{OS_s} \quad (3.9)$$

kjer so:

- BPP bioplinski potencial, NmL/g OS  
BMP biometanski potencial, NmL CH<sub>4</sub>/g OS,  
 $V_B$  celokupni volumen bioplina, NmL bioplina/mL testne mešanice,  
 $V_{CH_4}$  celokupni volumen metana, NmL CH<sub>4</sub>/mL testne mešanice,  
 $OS_s$  organska snov vhodnega substrata, g OS/mL testne mešanice.

### 3.2.1.6 Masna bilanca/izplen metana v sistemu AMPTS

Masno bilanco v sistemih anaerobne fermentacije najlaže spremljamo na osnovi KPK bilance. KPK je namreč indirektno merilo za organsko snov. Definiran je kot količina kisika, ki je potrebna za oksidacijo snovi prisotne v vzorcu, z uporabo močnega oksidacijskega sredstva pod kislimi pogoji. KPK se izraža v mg O<sub>2</sub>/L. V anaerobnih sistemih KPK ni uničen, ampak samo prerazporejen.



Slika 3.4: Shema masne bilance anaerobne fermentacije izražena z vrednostmi KPK

Izračun teoretičnega izpela metana iz 1 kg substrata:

Predpostavljena ena ba biomase je naslednja:

$$C_n H_a O_b \quad (3.10)$$

kjer so:

- C<sub>n</sub> število atomov ogljika v biomasi,
- H<sub>a</sub> število atomov vodika v biomasi,
- O<sub>b</sub> število atomov kisika v biomasi.

Molarni volumen plina pri STP je 22,4 L/mol

Ena ba oksidacije, kot merila vrednosti KPK je naslednja:



Ena ba oksidacije metana je naslednja:



$$m(CH_4) = 16 \text{ g}$$

$$m(2 \cdot O_2) = 64 \text{ g}$$

$$KPK_{CH_4} = \frac{m(CH_4)}{m(2 \cdot O_2)} = \frac{16 \text{ g}}{64 \text{ g}} = 4 \frac{\text{g (CH}_4\text{)}}{\text{g (O}_2\text{)}} \quad (3.13)$$

$$\frac{m_{CH_4}}{V_{STP}} = \frac{16 \text{ g}}{22,4 \text{ L}} = 0,71 \frac{\text{g}}{\text{L}} \quad (3.14)$$

1g CH<sub>4</sub> zavzema pri STP naslednji volumen:

$$V_{CH_4} = \frac{22,4 \text{ L}}{16 \text{ g}} = 1,4 \frac{\text{L (CH}_4\text{)}}{\text{g (CH}_4\text{)}} \quad (3.15)$$

Iz tega lahko povzamemo, da je 1g CH<sub>4</sub> ekvivalenten 4 g KPK in zavzema 1,4 L pri STP.

Iz tega sledi:

$$I_t = \frac{1,4 \frac{L(CH_4)}{g(CH_4)}}{4 \frac{g(O_2)}{g(CH_4)}} = 0,35 \frac{L(CH_4)}{g(O_2)} = 0,35 \frac{m^3(CH_4)}{kg(KPK)} \quad (3.16)$$

Anaerobna razgradnja 1 kg substrata (ki je pretvorjen v KPK metana) ima teoretični donos 0,35 m<sup>3</sup> CH<sub>4</sub>.

#### Izplen metana:

Izplen metana ovrednotimo na osnovi biorazgradljivosti organske snovi. Količino metana izrazimo na reducirano količino KPK ali OS.

$$I_{eks} \left( \frac{NL(CH_4)}{kg(redKPK/redOS)} \right) = \frac{V_{CH_4}}{m_{redKPK/redOS}} \quad (3.17)$$

Delež izplena metana izrazimo z razmerjem eksperimentalno izmerjeno proizvodnjo metana in teoretično proizvodnjo metana.

$$I(\%) = \frac{I_{eks} \cdot 100}{I_t} \quad (3.18)$$

kjer so:

$I_{eks}$  izplen metana iz eksperimenta, (NL CH<sub>4</sub>/kg<sub>redKPK/redOS</sub>),

$I$  delež izplena, %,

$I_t$  teoretični izplen metana, 350 NL/kg,

$V_{CH_4}$  volumen metana na L testne mešanice, NL,

$m_{redKPK/redOS}$  masa reducirane KPK oz. OS na L testne mešanice, kg.

#### *3.2.1.7 Energetska bilanca v sistemu AMPTS*

Kurilna vrednost, ki nastane v procesu anaerobne razgradnje je podana z naslednjo enačbo:

$$H_c^{\circ} CH_4 \left( \frac{kJ}{kg} \right) = m_{CH_4} \cdot H_{CH_4} \quad (3.19)$$

pri tem je:

$$H_{CH_4} = 550619 \text{ kJ/kg}$$

kjer so:

$H_c^{\circ} CH_4$  kurilna vrednost metana na maso substrata, kJ/kg<sub>substrata</sub>,

$H_{CH_4}$  kurilna vrednost metana, kJ/kg,

$m_{CH_4}$  masa metana na g substrata, g.

Maso metana izračunamo po naslednji enačbi:

$$m_{CH_4}(g) = n_{CH_4} \cdot M_{CH_4} \quad (3.20)$$

pri tem je:

$$M_{CH_4} = 16,04 \text{ g/mol}$$

kjer sta:

$n_{CH_4}$  množina metana glede na 1 g substrata, mol/g<sub>substrata</sub>,

$M_{CH_4}$  molska masa metana, g/mol

Množino nastalega metana na 1 g substrata izračunamo po naslednji enačbi:

$$n_{\text{CH}_4} \left( \frac{\text{mol}}{\text{g}} \right) = \frac{p \cdot V_{\text{CH}_4}/\text{g}}{R \cdot T} \quad (3.21)$$

kjer so:

$p$  tlak, kPa,

$V_{\text{CH}_4}/\text{g}$  volumen nastalega metana na 1 g substrata, L/g<sub>substrata</sub>,

$T$  temperatura, K,

$R$  splošna plinska konstanta = 8,31 kPa·L/mol·K.

Volumen nastalega metana na 1 g substrata izračuna po naslednjem postopku:

$$V_{\text{CH}_4/\text{tm}} = V_{\text{B}/\text{tm}} \cdot w_{\text{CH}_4/\text{tm}} \quad (3.22)$$

$$V_{\text{CH}_4/\text{g}_s} = \frac{V_{\text{CH}_4/\text{tm}}}{m_s} \quad (3.23)$$

kjer so:

$V_{\text{CH}_4/\text{tm}}$  volumen metana iz testni mešanici, L,

$V_{\text{B}/\text{tm}}$  volumen bioplina iz testne mešanice, L,

$w_{\text{CH}_4/\text{tm}}$  volumski delež metana v bioplincu iz testne mešanice,

$V_{\text{CH}_4/\text{g}_s}$  volumen metana na 1 g substrata iz testne mešanice, L,

$m_s$  masa substrata v testni mešanici, g.

Izkoristek proizvodnje metana iz substrata za posamezno testno mešanico izračuna po naslednji enačbi:

$$(\%) = \frac{H_c^{\circ} \text{CH}_4}{H_c^{\circ} s} \cdot 100 \quad (3.24)$$

kjer je:

$H_c^{\circ} s$  kurilna vrednost substrata, kJ/kg.

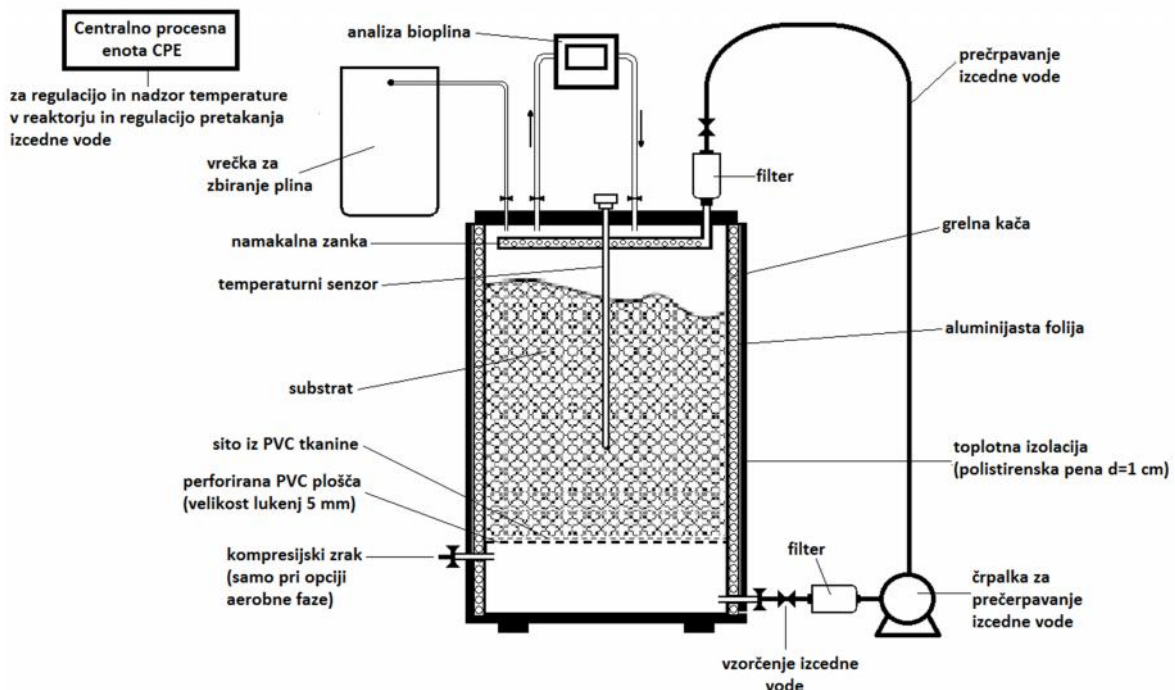
### 3.2.2 Anaerobna fermentacija v strnjem sloju

#### 3.2.2.1 Konstrukcija pilotnega reakcijskega sistema

Na razvojanje in izdelavo reaktorjev smo izvedli sami, pri tem smo poskušali s tem manj stroški sestaviti sistem, s katerim bi lahko optimizirali proces anaerobne fermentacije v strnjem stanju na pilotnem merilu. Sistem smo v prvi fazi sestavili iz 120 L plastičnih zabožnikov, vendar smo jih v nadaljevanju zamenjali s kovinskimi posodami, saj plastični zabožniki niso prenesli temperturnih sprememb v sistemu anaerobne fermentacije pri termofilnem temperturnem območju.

Sistem smo sestavili iz treh kovinskih posod z zatesnjenim pokrovom, kar je zagotovljalo anaerobne pogoje v reaktorjih. Okrog reaktorjev smo ovili grelno kaubo, ki smo jo iz zunanjih strani izolirali, da ni prihajalo do prevelikih topotnih izgub. S pomočjo gelnih kablov smo segrevali vsebino reaktorjev na  $53 \pm 2$  °C. Temperatura je bila kontrolirana s termostatom. Med samim procesom smo temperaturo reaktorjev spremljali s pomočjo temperturnih senzorjev. Nad dno reaktorja smo namestili sekundarno dno, s tem smo zagotovili prostor za izcedno vodo (Slika 3.5 in Slika 3.6). Zaradi močnega znižanja pH vrednosti v začetnih fazah anaerobne fermentacije (hidroliza in acidogeneza), smo pH v nasutem materialu uravnavali s pomočjo pretakanja izcedne vode med reaktorjem, pri katerem se je proces

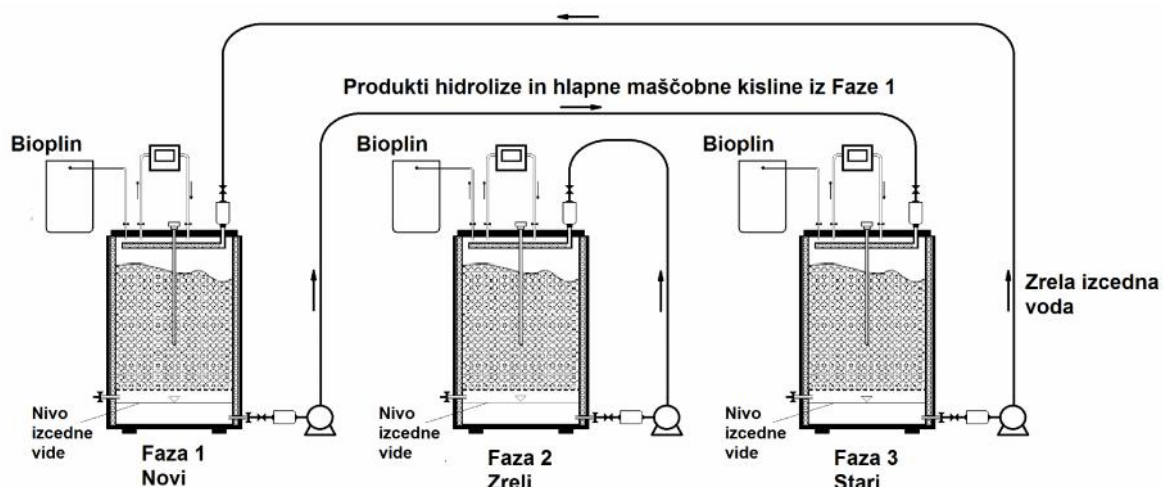
anaerobne fermentacije zaklju eval (stari reaktor) in med reaktorjem s svežo nasutim vhodnim materialom (novi reaktor), kot je prikazano na Sliki 3.7. Ob koncu procesa anaerobne fermentacije se je namre pH vrednost materiala in s tem tudi izcedne vode ustalila in je imela vrednost 7, lahko tudi nad 7. V za etku procesa anaerobne fermentacije je, zaradi razpada ve jih molekul ogljikovih hidratov, beljakovin in maš ob, vrednost pH zelo padla, lahko tudi pod vrednost 6. Zraven uravnavanja pH vrednosti v novem reaktorju, smo s pretakanjem izcedne vode prenesli mikroorganizme in hranila med reaktorji, kar je vplivalo na veji doprinos bioplina v procesu. Križno pretakanje smo prekinili, ko je vrednost pH v izcedni vodi novega reaktorja dosegla vrednost okrog 7. Pri aktivnem reaktorju, kjer je potekala metanogena faza, smo izcedno vodo obtakali iz dna reaktorja na vrh reaktorja (Slika 3.7). S tem smo v reaktorju zagotavljal konstantno vlogo in enakomerno razporeditev mikroorganizmov in hranil. Izcedno vodo smo pretakali s pomojo črpalk, na pokrovu reaktorjev je bila namešena namakalna zanka, ki je omogočala enakomerno razprševanje izcedne vode po nasutem materialu v reaktorju. Sistem pretakanja izcedne vode smo opremili s filtri, ki so preprečevali vnos vejih delcev v črpalko in namakalno zanko. Proizveden biopljin smo zbirali v vrečah za plin znanih volumnov.



Slika 3.5: Skica reaktorja.



Slika 3.6: Pilotni sistem treh reaktorjev anaerobne fermentacije med izvajanjem anaerobne fermentacije.



Slika 3.7: Shema pretakanja izcedne vode med reaktorji.

### 3.2.2.2 Masna bilanca pilotnega sistema

Masna bilanca posameznega reaktorja v pilotnem sistemu smo izrazili z redukcijo OS substrata, ki smo jo izra unali po naslednjem postopku:

$$OS_{red} \left( \frac{g}{kg} \right) = OS_{vh} - OS_{iz} \quad (3.25)$$

$$OS_{red} (\%) = \frac{OS_{red} \cdot 100}{OS_{vh}} \quad (3.26)$$

### 3.2.2.3 Bioplinski in biometanski potencial pilotnega sistema

Bioplinski in biometanski potencial smo dolo ili po Ena bah 3.8 in 3.9 v razdelku 3.2.1.5.

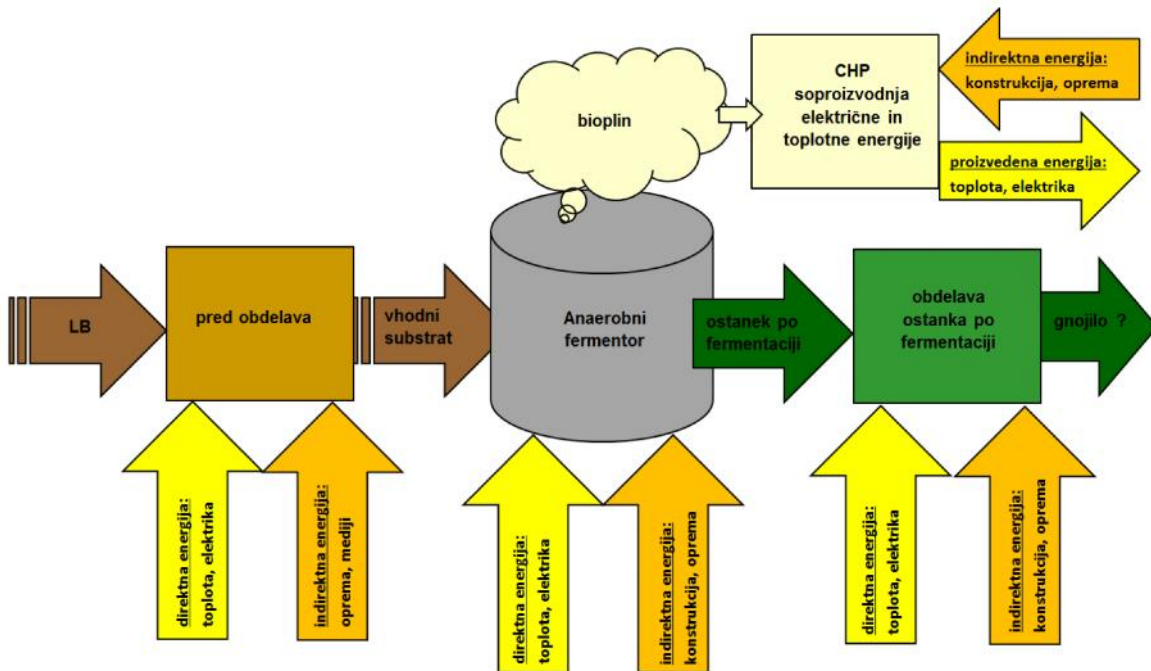
### 3.2.2.4 Kurilna vrednost metana iz pilotnega sistema

Kurilno vrednost metana iz pilotnega sistema smo izračunali po Ena bah 3.19 do 3.23.

### 3.2.2.5 Energetska bilanca pilotnega sistema

Vložek energije je sestavljen iz seštevka energije, ki jo sistem potrebuje za delovanje (Slika 3.8). Prva faza vložka energije, pri uporabi LB, se navezuje na porabo goriva in uporabo vozil, ki se uporablja za zbiranje LB v gozdovih, parkih, vrtovih,... Nato sledi druga faza, in sicer predobdelava. Za LB je nujna mehanska predobdelava z različnimi drobilniki in mlini, ki zmanjšujejo velikost posameznih delov in s tem povečuje aktivno površino za nadaljnjo predobdelavo ali za mikroorganizme v procesu anaerobne fermentacije. V tej fazi je tako potrebno gorivo ali elektri na energija, ki jo potrebujejo drobilniki in mlini za svoje obratovanje. Mehanski predobdelavi lahko sledi kemijska ali biološka predobdelava. Pri tej fazi nastanejo stroški različne opreme in drugega materiala, odvisno od uporabljenih predobdelav. Tretja faza je proces anaerobne fermentacije v reaktorju. Indirektni stroški pri tej fazi so povezani s samim konstruiranjem reaktorja in vso dodatno opremo, ki pripada reaktorju za optimalno obratovanje (rpalki, merilni sistemi). Direktni stroški med obratovanjem procesa so povezani s potrebno toploto za delovanje reaktorja pri mezofilnem ali termofilnem temperaturnem območju. Ob tem je potrebna še elektri na energija za delovanje rpalk in merilnih sistemov. Po koncu fazi anaerobne fermentacije, je potrebno ostanek po fermentaciji obdelati. Obdelava je odvisna od tega za kakšen namen se ostanek po fermentaciji uporabi in kakšne kakovosti je ostanek po fermentaciji. Kakovost ostanka je zelo odvisno od vhodnih surovin za anaerobno fermentacijo in izbrane predobdelave substratov. Kakorkoli, za večje količine ostanka, če ga želimo dodatno obdelati, potrebujemo dodaten zalogovnik. Glede na to, da ima ostanek po fermentaciji v večini vsebnost vlage nad 70 %, je potrebna dodatna energija za izločanje vlage iz ostanka. V kolikor je ostanek dobre kakovosti in ga uporabimo kot gnojilo, lahko energijsko vsebnost štejemo kot doprinos procesa. V šaržnem sistemu anaerobne fermentacije je, zaradi boljše stabilizacije procesa, priporočljivo del ostanaka vratiti nazaj v proces. V primeru fermentacije LB je v ostanku prisotnih veliko težko razgradljivih komponent. Glavna med njimi je lignin. S pravilno predobdelavo ostanaka po fermentaciji, lahko del ostanaka vodimo nazaj v fermentacijo. To je priporočljivo pri ostankih, ki presegajo predpisane vrednosti za vratitev ostanaka nazaj v naravo. Glavni doprinos pri anaerobni fermentaciji predstavlja proizvodnja bioplina in vsebnost metana v bioplinskem motorju. Večja kot je proizvodnja bioplina in večji kot je odstotek metana v njem, večji je doprinos energije in s tem učinkovitost procesa.

Bioplinski se seže na kogeneracijski enoti, ki je sestavljena iz kombinirane toplotne in električne enote. Pri sežigu tako nastaja toplota in električna energija. Bioplinski zgoreva v plinskom motorju, ki pogonja generator električne energije (1 m<sup>3</sup> bioplina bo dal od 1,6 do 1,9 kWh električne energije, odvisno od koeficiente izkoristka kogeneracijske enote). Energija iz bioplina se pretvorita na dva dela, dve tretjini energije se pretvorita v toploto in ena tretjina se spremeni v električno energijo [92].



Slika 3.8:Shema energetske bilance v pilotnem sistemu.

### 3.2.3 Proizvodnja lignoceluloznih encimov na trdnih gojiščih z glivo *Pleurotus ostreatus* in ekstrakcija encimov

Fermentacijo v trdnem stanju smo izvajali v 250 mL Erlenmajericah, v vsako erlenmajerico smo natehtali 5 g substrata in dolili rastni medij (kvaski ekstrakt 2,0 g/L, pepton 5,0 g/L,  $MnSO_4 \cdot H_2O$  0,075 g/L,  $KH_2PO_4$  1,0 g/L,  $MgSO_4 \cdot 7H_2O$  0,5 g/L) za doseg 80 % vlage gojišča. Vrednost pH medija je bila pred sterilizacijo uravnana na 6 z dodatkom 2 M NaOH. Erlenmajerice smo zatesnili z bombažno tkanino in paropropustno folijo ter jih avtoklavirali pri temperaturi 121 °C za 25 min. Gojišča smo inokulirali s tremi okroglimi cepi i PDA preraščenega z micelijem glive *P. ostreatus*, premera 6 mm. Inokulacija je bila izvedena v laminariju pri aseptičnih pogojih. Fermentacija v trdnem stanju je bila izvedena pri statičnih pogojih v temi in pri temperaturi  $28 \pm 1$  °C. Gojišča so bila inkubirana v 3, 6, 8, 10, 13, 15, 17 in 20 dnevnih intervalih.

Po koncu inkubacije smo v vsako Erlenmajerico dolili 40 mL ( $c = 0,05$  M) citratnega pufrja (pH 4,8). Erlenmajerice smo stresali pri 150 rpm za 1,5 h in pri sobni temperaturi. Temu je sledila filtracija, najprej smo brozgo prefiltrirali preko gaze, nato smo filtrat centrifugirali pri 3000 rpm za 20 min in pri temperaturi 4 °C. Supernatant smo ponovno filtrirali skozi 1,2 µm stekleni mikrovlaknasti filter (Whatman® GF/C). Encimski ekstrakt je bil uporabljen za določanje encimskih aktivnosti in encimsko hidrolizo, za poznejšo uporabo smo encimski ekstrakt zamrznili.

### 3.2.4 Optimizacija sestave gojišča za proizvodnjo lakaz glive *P. ostreatus* po Taguchi metodi

Metodologija optimizacije po Taguchi metodi vključuje različne korake. V prvem koraku smo izbrali procesne parametre, ki smo jih želeli optimirati. V naslednjem koraku smo določili število nivojev za procesne parametre in izbrali primerno ortogonalno matriko, ki smo jo preoblikovali na vrednosti procesnih parametrov. Za našo študijo smo izbrali L18

ortogonalno matriko, ki nakazuje osem najst eksperimentov. Vsem faktorjem so bili dodeljeni trije nivoji, le pH vrednosti rasnega medija sta bila dodeljena dva nivoja. Taka razporeditev nivojev pripada Taguchi ortogonalni matriki L18 ( $2^1 \times 3^7$ ) (Tabela 3.2). Naslednji korak je bil izvedba eksperimenta, ki je temeljal na ortogonalni matriki. Po kon anem eksperimentu je sledila analiza eksperimentalnih podatkov in napovedovanje u inkovitosti izpeljane optimizacije s programsko opremo Minitab 17.

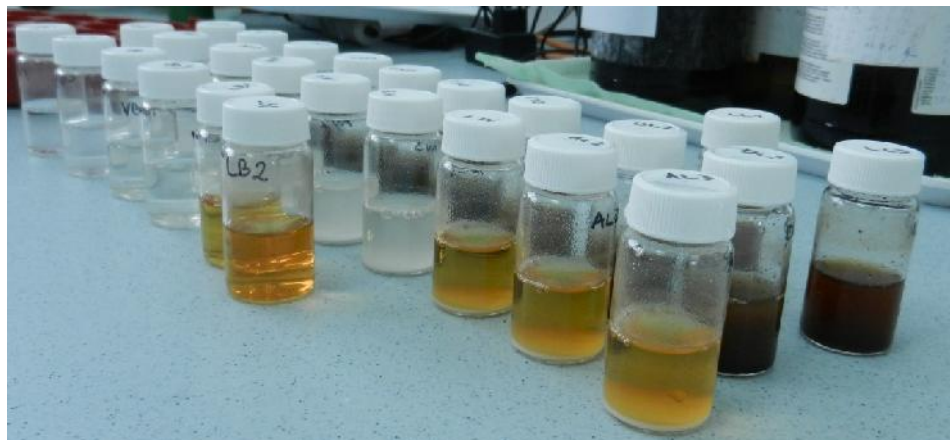
Tabela 3.2: Faktorji in nivoji eksperimentalnega na rtovanja

Zap. št.	Faktorji	Nivo 1	Nivo 2	Nivo 3
1	pH	5	6	
2	LB/%	0	10	20
3	glukoza/(g/L)	5	10	15
4	kvasni ekstrakt/(g/L)	2	4	6
5	pepton/(g/L)	5	10	15
6	KH <sub>2</sub> PO <sub>4</sub> /(g/L)	1	2	3
7	MgSO <sub>4</sub> ·7H <sub>2</sub> O/(g/L)	0,5	1	1,5
8	MnSO <sub>4</sub> ·H <sub>2</sub> O/(g/L)	0,075	0,1	0,125

### 3.2.5 Saharifikacija LB in ostanka po anaerobni fermentaciji z encimskim ekstraktom glive *Pleurotus ostreatus*

Encimski ekstrakt, pridobljen s fermentacijo *P. ostreatus* na gojiš u sestavljenem iz 80 % pšeni nih otrobov in 20 % lignoceluloze, je med osmim in trinajstim dnem fermentacije pokazal najviše vrednosti encimskih aktivnosti. Med analiziranimi encimi je najviše vrednosti dosegla aktivnost lakaz. Glede na pridobljene rezultate analiz encimskih aktivnosti, so bili za saharifikacijo lignoceluloznega materiala in digestata združeni encimski ekstrakti med osmim in trinajstim dnem za zgoraj navedeno gojiš e. Za oceno u inkovitosti saharifikacije encimskega ekstrakta, smo zraven tega uporabili še encimski kompleks *Aspergillus* sp. (Sigma-Aldrich, Nem ija) in celulaze glive *Trichoderma reesei* (Sigma-Aldrich, Nem ija). U inkovitost saharifikacije je bila ovrednotena na osnovi koli ine sproš enih reducirajo ih sladkorjev lignocelulozne biomase in digestata ter mikrokristalini ne celuloze, ki je služila kot kontrolni substrat. Encimsko hidrolizo smo izvedli z obremenitvijo  $0,27 \pm 0,02$  mg proteinov/mL. Vsebnost proteinov je bila na enaki ravni za vse uporabljeni encime, saj smo izvajali primerjave saharifikacijske sposobnosti pri enakih obremenitvah, glede na vsebnost proteinov.

Razred eni encimski ekstrakt ( $V = 10$  mL) v 50 mM citratnem pufru (pH 4,8) smo dodali k 1,5 g suhega substrata v 20 mL scintilacijskih steklenih stekleni kah. Za prepre itev okužbe, smo dodali 100 µL natrijevega azida (= 20 mg/mL). Reakcijske mešanice smo inkubirali 72 h pri temperaturi 50 °C na rotacijskem stresalniku pri 120 rpm. Po kon anem inkubacijskem asu smo hidrolizat inkubirali za 5 min v vreli vodni kopeli za deaktivacijo encimov in centrifugirali pri 3000 rpm za 20 min. Po kon ani saharifikaciji, smo hidrolizatom dolo ili vsebnost glukoze. Eksperiment je bil izveden v treh paralelkah (Slika 3.9).



Slika 3.9: Izvedba encimske hidrolize v scintilacijskih vialah.

### 3.3 Analizne metode

#### 3.3.1 Določanje suhe snovi (SS) in organske snovi (OS)

Koli ino suhe snovi (SS) in organske snovi (OS) v vzorcih smo določili po standardni metodi [93]. Za določitev SS smo vzorce z določenim volumenom ali maso natehtali na predhodno stehtano keramično izparilnico in jih sušili v sušilniku pri temperaturi 105 °C za 15 h do 20 h do konstantne mase. Po ohlajanju na sobno temperaturo v eksikatorju, smo vzorce stehtali za določitev SS.

Za določitev OS v vzorcih, smo vzorce za 2 h žarili v žarilni peči pri temperaturi 550 °C. OS smo določili z odstotkom ostanka pepela po žarjenju od vsebnosti SS v vzorcih.

$$SS \text{ (g/g)} = \frac{m_{ss}}{m_{vz}} \quad (3.27)$$

$$SS \text{ (\%)} = \frac{m_{ss}}{m_{vz}} \cdot 100 \quad (3.28)$$

$$OS \text{ (g/g)} = \frac{m_{ss} - m_{as}}{m_{vz}} \quad (3.29)$$

$$OS \text{ (\%)} = \frac{m_{ss} - m_{as}}{m_{vz}} \cdot 100 \quad (3.30)$$

kjer so:

$m_{vz}$  masa vzorca, g,

$m_{ss}$  masa suhe snovi, g,

$m_{as}$  masa organske snovi, g,

SS delež suhe snovi, g/g,

SS odstotek suhe snovi, %,

OS delež organske snovi, g/g,

OS odstotek organske snovi, %.

#### 3.3.2 Kemijska potreba po kisiku (KPK)

Kemijsko potrebo po kisiku (KPK) smo določili ali spektrofotometrično s spektrofotometrom Spectroquant NOVA 60 (Merck) z grelno komoro Spectroquant TR 420 (Merck) (Slika 3.10). Za meritve smo uporabili celice s pripravljenimi reagenti, ki so omogočale meritve KPK v območju 500 do 10.000 mg/L (114555 COD Cell Test). Za dosego meritve KPK je bila temperatura 148 °C. Po dodatku vzorca v celice z reagentom, smo celice termostatirali 2 h v predhodno segreti gredni komori, v kateri je bila temperatura 148 °C. Po končanem termostatiranju smo celice ohladili do sobne temperature in jim nato na spektrofotometru določili vrednost KPK.

KPK se določa na osnovi oksidacije vzorca z vročo žveplovo raztopino kalijevega dikromata s srebrovim sulfatom kot katalizatorjem. Klorid je prekrit z živosrebrovim sulfatom. Koncentracija zelenih Cr<sup>3+</sup> ionov je nato določena fotometrično.



Slika 3.10: Spektrofotometer Spectroquant NOVA 60 (Merck) z grelno komoro Spectroquant TR 420 (Merck) za določanje KPK.

### 3.3.3 Elementna C, H, N in S sestava

Elementna analiza ogljika, vodika, dušika in žvepla je namenjena določitvi osnovnih lastnosti substrata, kot je vsebnost beljakovin, ogljikovih hidratov ter C/N razmerje. Pred izvedbo analiz smo posušene vzorce zdrobili do finega prahu v granitni terilnici. Meritve smo izvedli na napravi CHNS Analyzer 2400 Series II (Perkin Elmer).

### 3.3.4 pH vrednost

Vrednosti pH v vzorcih smo merili z laboratorijskimi pH metri (Metrohm, model 827 pH lab, METTLER TOLEDO MP220, HACH HQ40d) po navodilih proizvajalcev pH metrov.

### 3.3.5 Določanje hlapnih maščobnih kislin v izcedni vodi s plinsko kromatografijo

Hlapne maščobe obne kisline smo kvantitativno določevali z metodo plinske kromatografije (GC) povzete po metodi, ki so jo uporabili Dearman idr. [94]. Uporabili smo plinski kromatograf Hewlett Packard 6890 s FID detektorjem in avtomatskim injektorjem. Teko in vzorci ( $1 \mu\text{L}$ ) so bili injicirani v Nukol (polipropilen glikol spremenjen s tereftalno kislino) kapilarno kolono z dolžino 30 m, notranjim premerom 0,25 mm in debelino filma 0,25  $\mu\text{m}$ . Za nosilni plin smo uporabili helij in za reakcijski plin dušik. Temperatura injektorja je bila 220 °C in temperatura FID detektorja 250 °C. Koncentracije vzorcev so bile določene glede na standardno mešanico hlapnih maščobnih kislin znanih koncentracij (Volatile Free Acid Mix, Sigma). Pred analizo smo vzorce izcedne vode centrifugirali 10 min pri 3000 rpm in nato filtrirani skozi 0,45  $\mu\text{m}$  celulozne filtre.

### 3.3.6 Določanje vsebnosti celotnega dušika in celotnega organskega ogljika v izcedni vodi

Pred analizo smo vzorce stabilizirali z dodatkom klorovodikove kisline, s tem smo dosegli pH 2. Tako pripravljen vzorec smo lahko hrаниli v hladilniku pri temperaturi  $4 \pm 2$  °C do osem dni. Analizo smo izvajali na instrumentu za določitev TOC in TN – Schimadzu TOC-V CPH/CPN total organic carbon analyzer. Določanje celotnega dušika se izvaja z oksidacijo vzorca s katalitičnim izgrevanjem v kisikovi atmosferi in temperaturi višji od 700 °C do dušikovega oksida. Kvantifikacija dušika poteka s kemiluminiscenčnim detektorjem (po reakciji z ozonom). Določanje organskega ogljika se izvaja z oksidacijo organskega ogljika do ogljikovega dioksida z izgrevanjem, ob dodatku ustreznega oksidanta. Vzorce smo pred izvajanjem analiz po potrebi redili, da smo dosegli območje

umeritvene krivulje za TOC ali TN. Umeritvene krivulje izriše ra unalniški program instrumenta, ki nam tudi poda rezultat koncentracije TN ali TOC za posamezni vzorec.

### 3.3.7 Določanje alkalnosti izcedne vode

Določanje alkalnosti izcedne vode pomeni koli ino NaOH, ki se porabi, da dosežemo določeno pH vrednost. Analizo smo izvajali s titratorjem Metrom z izmenljivo enoto za HCl. Najprej smo izvedli meritev za standard. K 10 mL ( $c = 0,1 \text{ M}$ ) NaOH smo dolili 190 mL destilirene vode. Tako pripravljeno raztopino smo titrirali z 0,1 M HCl. Za analize vzorcev je bil postopek enak, k 10 mL vzorca smo dolili 190 mL destilirane vode in titrilali z 0,1 M HCl.

### 3.3.8 Spremljanje sestave bioplina iz pilotnih reaktorjev s prenosnim merilnikom za analiziranje deponijskega plina

Meritev vsebnosti plinov v bioplinu smo izvajali s prenosnim merilnikom za analiziranje deponijskih plinov Geotechnical Instruments GA2000Plus. Merilnik smo s cevjo priključili direktno na reaktor, za ta namen sta bila dva venila na pokrovu reaktorja. Na en ventil smo priključili vhodno cev v merilnik, na drugi ventil pa izhodno cev iz merilnika. S takim načinom izvajanja meritev smo preprečili izgubo bioplina, saj merilnik deluje na tak način, da ne povlači plina iz reaktorja. Izmerjeni plini smo tako vratili nazaj v reaktor, tako da smo dobili realno količino proizvedenega bioplina med procesom anaerobne fermentacije v pilotnih reaktorjih. Po zagotovu merilnika, le ta sam izvede meritve, vrednosti so konstantne po vsej minuti delovanja merilnika.

Metan se izmeri na osnovi dvožarkovne infrardečne (IR) absorpcije. Analizator se kalibrira s certificirano mešanicami metana in tako so meritve pravilne, ker v plinski zmesi ni prisotnih ostalih ogljikovodikovih plinov (npr. etan, propan, butan, itd.), ki vplivajo na nenatan nosenje izmerjenih vrednosti metana. Ogljikov dioksid je izmerjen z IR absorpcijo pri valovni dolžini specifični za ogljikov dioksid. Na meritve ogljikovega dioksida ne vplivajo drugi plini, ki jih najdemo v bioplinu. Senzor za detekcijo kisika je galvanska celica, na katero ne vplivajo ostali plini.

Na meritve ogljikovega monoksida vpliva prisotnost vodika v bioplinu. Če je koncentracija vodika v bioplinu nad 1 %, postanejo meritve za ogljikov monoksid nenatan. Meritve ogljikovega monoksida so prav tako ob utljive na vodikov sulfid v bioplinu. Prisotnost vodikovega sulfida povzroči previsoke zabeležene vrednosti vsebnosti ogljikovega monoksida. Zato pri meritvah ogljikovega monoksida uporabimo zunanjji filter, v katerem se absorbira vodikov sulfid. Za meritve koncentracije vodikovega sulfida v bioplinu, izvedemo meritve brez uporabe zunanjega filtra. Na beleženje koncentracije vodikovega sulfida lahko vpliva prisotnost vsaj dveh plinov, in sicer  $\text{SO}_2$  in  $\text{NO}_2$ , ki lahko povzročita 20 % nepravilnost v zabeleženih koncentracijah vodikovega sulfida [95].

### 3.3.9 Spremljanje sestave bioplina iz sistema AMPTS II na plinskem kromatografu

Med fermentacijo v sistemu AMPTS II smo spremljali sestavo plinske faze s pomočjo plinskega kromatografa (Agilent Technologies 7890A), opremljenega s kapilarnima kolonama HP-PLOT/Q in HP-MOLESIEVE. Meritve smo opravljali na 125  $\mu\text{L}$  plina, smo vbrizgali v kromatografski sistem. TCD detektor v plinskem kromatografu je bil kalibriran na ogljikov dioksid, metan, dušik in vodikov sulfid.

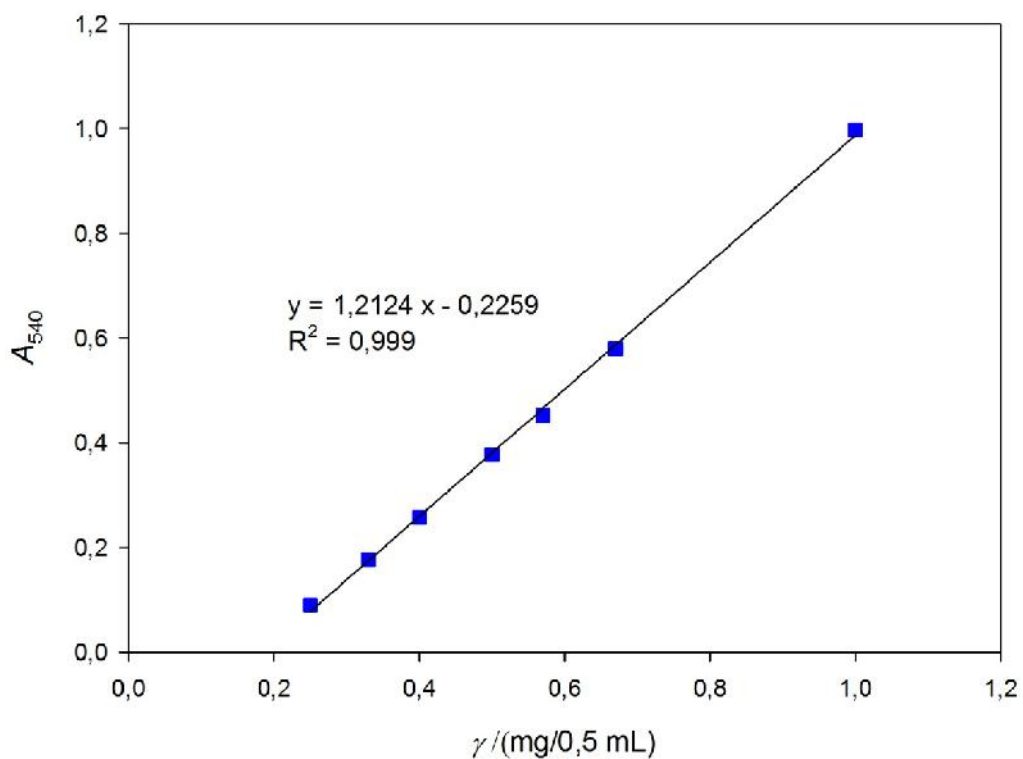
### 3.3.10 Določanje encimskih aktivnosti

- Priprava DNS reagenta

DNS reagent smo pripravili po metodi, ki jo je opisal Miller [96]. V 2 L aši smo zmešali 1416 mL destilirane vode, 10,6 g 3,5 dinitrosalicilne kisline in 19,5 g NaOH. Zmes smo raztopili do jasne raztopine v vodni kopeli ( $T = 80^\circ\text{C}$ ). Nato smo dodali 306 g natrijevega kalijevega tartrata, 7,6 mL predhodno staljenega fenola in 8,3 g natrijevega metabisulfita. Ko so se v zmesi raztopile vse kemikalije, smo pripravljen DNS reagent prelili v temne steklenice in ga hranili pri temperaturi  $4^\circ\text{C}$ .

- Endo-1,4- -D-glukanaze (Karboksimetil celulaze) EC 3.2.1.4 (CMCaze)

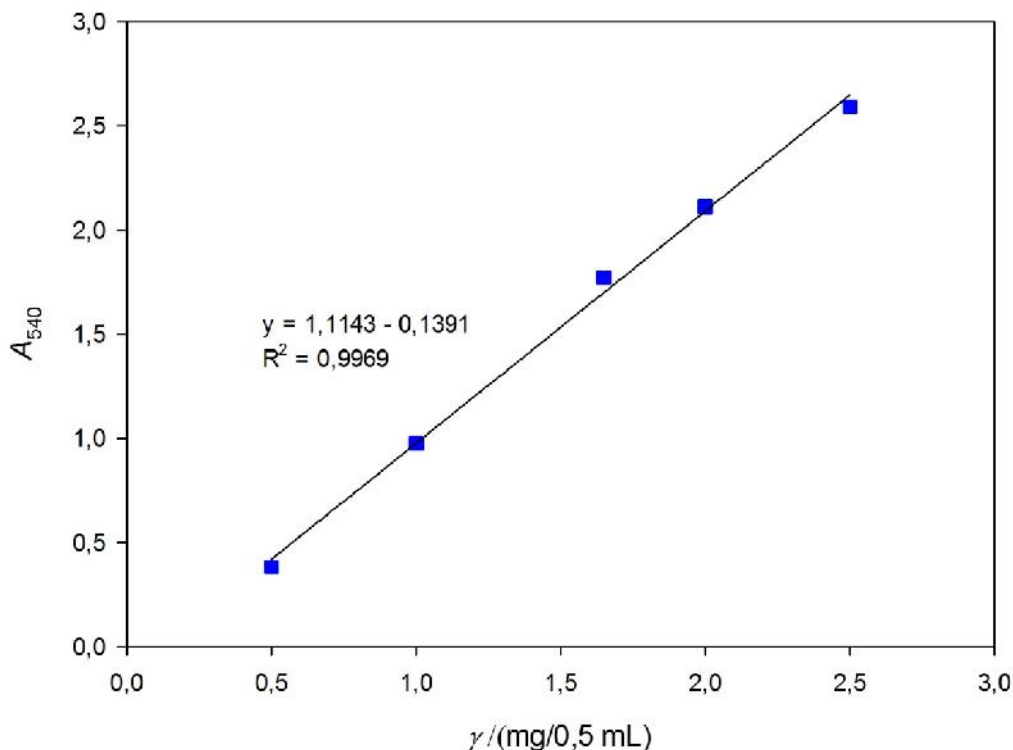
Endoglukanaze smo določili spektrofotometrično pri  $540\text{ nm}$  po metodi, ki so jo opisali Zhang idr. [97]. Kot substrat smo uporabili karboksimetil celulozo (Sigma-Aldrich, Nemška). Vzorec encima ( $V = 0,5\text{ mL}$ ) smo inkubirali  $0,5\text{ mL}$  1 % karboksimetil celuloze v citratnem pufru ( $c = 0,05\text{ M}$ ,  $\text{pH } 4,8$ ) pri temperaturi  $50^\circ\text{C}$  za 30 min. Vse raztopine smo predhodno segreli v vodni kopeli na  $50^\circ\text{C}$ . Nato smo dodali še v vodni kopeli  $3\text{ mL}$  DNS reagenta (reagent dinitrosalicilne kisline), reakcijsko zmes smo za tem inkubirali 5 min v vreli vodni kopeli. Nato smo prestavili epruvete z raztopinami v mrzlo vodno kopel. Po ohladitvi reakcijske zmesi smo v vsako epruveto dolili  $8\text{ mL}$  destilirane vode. Količino sproščenih reducirajočih sladkorjev smo določili z meritvami  $A$  pri  $\lambda = 540\text{ nm}$ , vrednosti  $A$  smo primerjali z vrednostmi na umeritveni krivulji, ki smo jo pripravili z uporabo različnih koncentracij D-glukoze ( $\text{mg/mL}$ : 2,00; 1,33; 1,14; 1,00; 0,80; 0,67; 0,5) (Slika 3.11). Od odmeritev  $A$  za encimske ekstrakte smo odšteli  $A$  slepega vzorca encima (encim brez substrata), s tem smo odpravili barvne motnje encimskega ekstrakta, in slepega vzorca substrata (substrat brez encima), s tem smo popravili neencimske spremembe v barvi. Ena enota aktivnosti karboksimetil celulaz je definirana kot količina encima, ki sprosti  $1\text{ }\mu\text{mol}$  reducirajočih sladkorjev kot ekvivalent glukoze na minuto in specifična aktivnost je število enot encimske aktivnosti na miligram proteinov encima.



Slika 3.11:Umeritvena krivulja za določanje CMCaz.

– *Ekso-1,4- -D-glukanaze (FP aktivnost) EC 3.2.1.91*

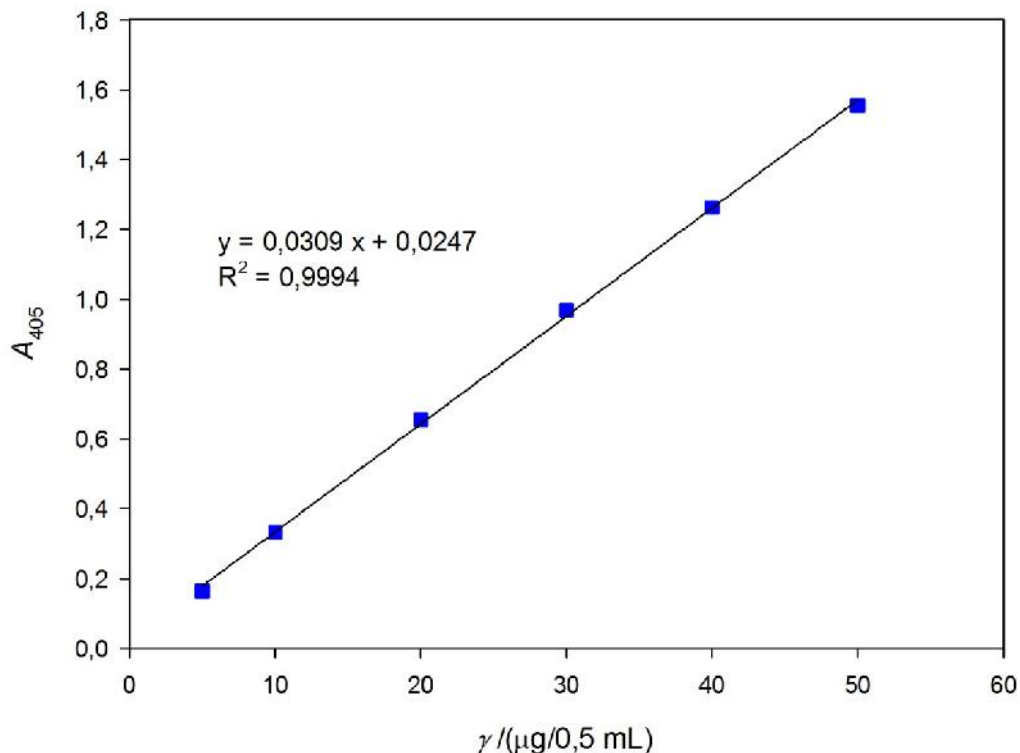
Dolo anje aktivnosti ekso – glukanaz smo izvajali po metodi, ki jo je opisal Ghose [98] z uporabo filter papirja kot substrata (Whatman celulozni filter papir, Sigma-Aldrich, Nem ija). V natrijev citratni pufer ( $V = 1 \text{ mL}$ ) smo potopili zvit trak filter papirja ( $1 \times 6 \text{ cm}$ ). K temu smo dolili  $0,5 \text{ mL}$  encimskega ekstrakta. Reakcijsko zmes smo inkubirali  $1 \text{ h}$ , nato smo dolili  $3 \text{ mL}$  DNS reagenta. Nadaljevanje dolo anja sproš enih sladkorjev je potekalo po enakem postopku kot za endo-glukanaze. Umeritvena krivulja standardnih raztopin glukoze je bila konstruirana iz naslednjih koncentracij D-glukoze v natrijevem citratnem pufru ( $\text{mg/mL}$ :  $4,00$ ;  $2,66$ ;  $2,00$ ;  $1,60$ ;  $1,33$ ;  $0,80$ ;  $0,40$ ) (Slika 3.12). Ena enota aktivnosti filter papirja je definirana kot koli ina encima, ki sprosti  $1 \mu\text{mol}$  reducirajo ih sladkorjev kot ekvivalent glukoze na minuto.



Slika 3.12: Umeritvena krivulja za dolo anje FPaz.

– -glukozidaze EC 3.2.1.21 (BGLaze)

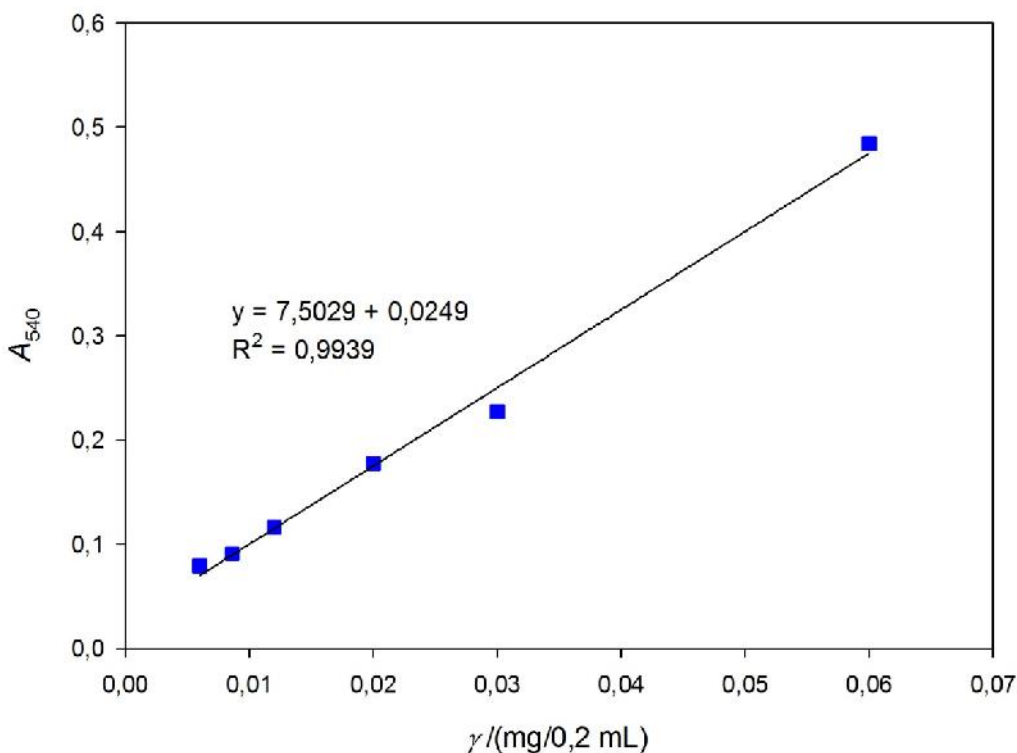
Določitev aktivnosti -glukozidaz smo izvedli s p-nitrofenil -D-glukopiranozidom (pNPG) (Sigma-Aldrich, Nemška) kot substratom po metodi, ki sta jo opisala Ghose in Bisaria [99]. Vzorec encima ( $V = 0,5 \text{ mL}$ ) smo inkubirali z  $0,5 \text{ mL}$  ( $c = 5 \text{ mM}$ ) pNPG (pripravljenega v citratnem pufru) in z  $1 \text{ mL}$  citratnega pufra ( $c = 0,05 \text{ M}$ , pH 4,8) pri temperaturi  $40^\circ\text{C}$  za 15 min. Reakcija je bila prekinjena z dodatkom  $2 \text{ mL}$  raztopine  $\text{Na}_2\text{CO}_3$  ( $c = 0,2 \text{ M}$ ). Ustrezni slepi vzorci brez encima ali substrata so bili prav tako vključeni v paralelkah pri določevanju encimskih aktivnosti. Med reakcijo encimov se je razvila barva zaradi sproščanja p-nitrofenola (pNP), ki smo jo določili z UV-Vis spekrofotometrom (Hach Lange DR 2800) pri  $\lambda = 405 \text{ nm}$ . Pri določitvi količine sproščene pNP smo upoštevali vrednosti slepih vzorcev, vrednosti  $A$  smo primerjali z vrednostmi na umeritveni krivulji, ki smo jo pripravili z uporabo različnih koncentracij pNP ( $\mu\text{g/mL}$ : 100, 80, 60, 40, 20, 10) (Slika 3.13). Enota aktivnosti -glukozidaz je definirana kot količina encima, ki je potrebna za sprostitev  $1 \mu\text{M}$  pNP na minuto pri standardnih pogojih.



Slika 3.13: Umeritvena krivulja za določanje aktivnosti -glukozidaz.

– Ksilanaze EC 3.2.1.8

Aktivnost ksilanaz smo spremljali s hidrolizo ksilana bukovega lesa po metodi, ki so jo opisali Bailey idr. [100]. 2 mL reakcijske zmesi je vsebovalo 1,8 mL 1 % ksilana pripravljenega v natrijevem citratnem pufra ( $c = 5 \text{ mM}$ , pH 5,3) in 0,2 mL encimskega ekstrakta. Reakcijsko zmes smo termostatirali 5 min v vodni kopeli pri temperaturi 50 °C. Nato smo reakcijski zmesi dolili 3 mL DNS reagenta, ter dodatno termostatirali reakcijsko zmes v vreli vodni kopeli za 5 min. Sledilo je ohlajanje reakcijske zmesi v ledeni vodni kopeli na sobno temperaturo. Zraven vzorcev encimskega ekstrakta, so bili pripravljeni še slepi vzorci substrata in slepi vzorci encima, za uravnavanje kon ne vrednosti A, ki je bila osnova za izra un aktivnosti ksilanaz. Sledilo je merjenje A pri  $\lambda = 540 \text{ nm}$ . Pripravili smo tudi standardne raztopine ksiloze ( $\mu\text{mol/mL}$ : 10, 5, 3,33, 2, 1,43, 1) (Slika 3.14) za pripravo umeritvene krivulje. Ena enota aktivnosti ksilanaz je definirana kot koli ina encima, ki sprosti 1  $\mu\text{mol}$  ksiloze na minuto pod standardnimi pogoji.



Slika 3.14: Umeritvena krivulja za dolo anje ksilanaz.

– Lakaze

Aktivnost lakaz v encimskem ekstraktu smo merili s spremeljanjem oksidacije 2,2-azino-bis (3-etilbenzotiazolilna-6-sulfonska kislina) (ABTS) [101]. Reakcijska zmes je vsebovala 0,4 mL ( $c = 1\text{mM}$ ) ABTS (pripravljen svež v natrijevem acetatnem pufru), 1,2 mL ( $c = 0,1\text{ M}$ ) natrijevega acetatnega pufra (pH 5) in 0,8 mL encimskega ekstrakta. Oksidacijo ABTS smo spremljali spektrofotometri no z določitvijo sprememb absorbance pri  $\lambda = 420\text{ nm}$  ( $\epsilon = 36.000\text{ M}^{-1}\text{ cm}^{-1}$ ) z uporabo UV-Vis spekrofotometra (Hach Lange DR 2800). Encimski ekstrakt smo dodali v reakcijsko zmes tik pred meritvijo v spektrofotometru zaradi hitrega poteka reakcije oksidacije. Reakcijsko zmes smo pripravili direktno v 3 mL kivetih. Reakcijo smo spremljali 1 min z beleženjem vrednosti absorbanci vsakih 10 sekund. Spekrofotometer je ob koncu meritve izrisal premico, linearna premica je predstavljala uspešno opravljeno meritve, v primeru izrisa nelinearne premice smo meritve ponovili z razred enim vzorcem encimskega ekstrakta. Ena enota aktivnosti lakaz je definirana kot koli ina encima, ki oksidira 1  $\mu\text{mol}$  ABTS na minuto pod standardnimi pogoji.

Aktivnost lakaz smo izračunali po naslednji enačbi:

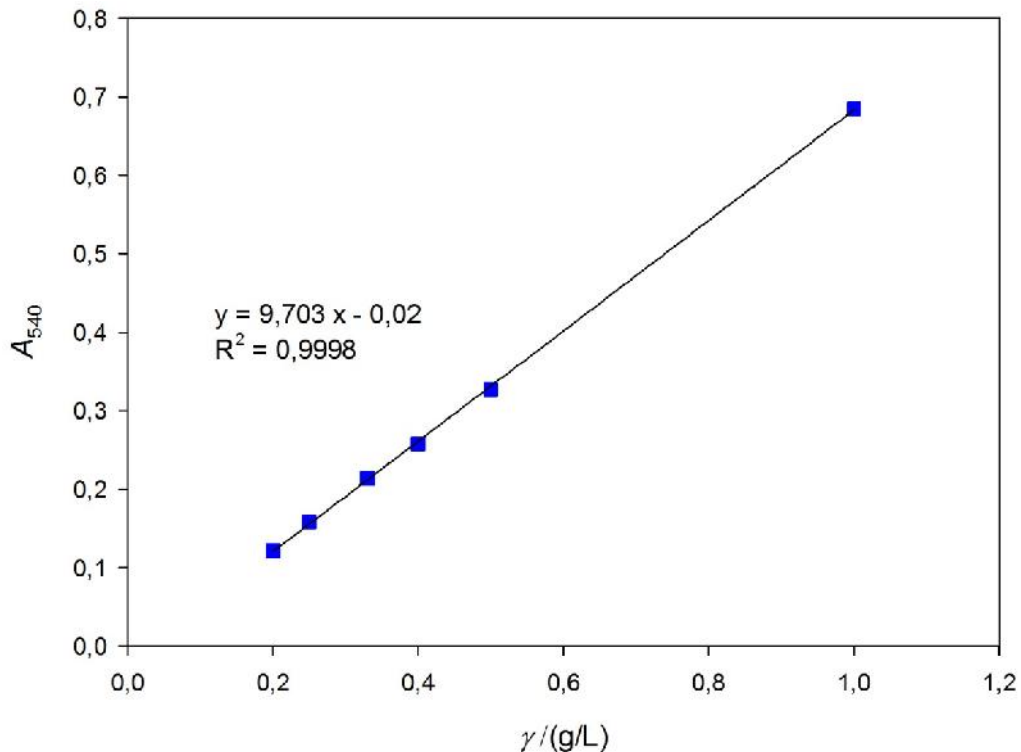
$$\text{Aktivnost lakaz } \left( \frac{\text{U}}{\text{L}} \right) = \frac{\frac{A}{t}}{\Delta t \cdot d} \cdot \frac{V_{rz}}{V_{vz}} \cdot f \quad (3.31)$$

kjer so:

- $\frac{A}{t}$  sprememba absorbance po času,  $\text{min}^{-1}$ ,  
 $d$  molarni ekstinkcijski koeficient,  $\text{M} \cdot \text{cm}^{-1}$ ,  
 $d$  pot žarka, cm,  
 $V_{rz}$  celotni volumen reakcijske zmesi, L,  
 $V_{vz}$  volumen encimskega ekstrakta v reakcijski zmesi, L,  
 $f$  faktor reditve encimskega ekstrakta.

### 3.3.11 Določanje vsebnosti sladkorjev po encimski hidrolizi

Za določanje sladkorjev smo pripravili umeritveno krivuljo z naslednjimi koncentracijami glukoze pripravljene v destilirani vodi: (g/L: 1, 0,5, 0,4, 0,33, 0,25, 0,2) (Slika 3.15). Zraven standardnih raztopin smo si pripravili še slepi vzorec, kjer smo namesto standarda ali vzorca v raztopino dodali destilirano vodo. V epruveto smo nalili 1 mL vzorca ali standarda in 2 mL DNS reagenta (priprava DNS reagenta je opisana v razdelku 3.3.10). Nato smo raztopino za 5 min postavili v vrelo vodno kopel. Takoj za tem smo postavili epruvete v ledeno vodno kopel. V vse raztopine smo dolili 7 mL destilirane vode. Nato smo raztopinam izmerili A pri  $\lambda = 540$  nm. Spektrofotometer smo umerili s slepim vzorcem.



Slika 3.15: Umeritvena krivulja za določanje sladkorjev po encimski hidrolizi.

## 4 Rezultati in diskusija

### 4.1 Določitev biometanskega potenciala s sistemom AMPTS II

#### 4.1.1 Karakterizacija inokuluma

Rezultate določitve SS, OS in gostote inokuluma prikazuje Tabela 4.1. SS inokuluma je bila  $27,62 \pm 1,39$  g/kg, OS je bila  $15,46 \pm 1,15$  g/kg in gostota  $1,04 \pm 0,03$  g/mL.

Tabela 4.1: Lastnosti inokuluma uporabljenega v sistemu AMPTS

SS/(g/kg)	OS/(g/kg)	OS/%	/(g/mL)
$27,62 \pm 1,39$	$15,46 \pm 1,15$	$56,22 \pm 1,39$	$1,04 \pm 0,03$

Inokulum smo morali karakterizirati za potrebe nastavitev poskusa testnih mešanic sistema AMPTS. Do odstopanj v vrednostih, ki smo jih določili evali, je prihajalo zaradi sprememb v sestavi vhodnega substrata komercialne bioplinarne, iz katere smo anaerobno biomaso odvzeli. Ker smo poskus izvajali v več serijah, smo uporabili več različnih inokulumov. Rezultati se ujemajo s študijami, kjer so prav tako kot inokulum uporabili anaerobno biomaso, ki kot substrat uporablja praši jo gnojevko. Kim idr. [102] v svoji študiji uporablja inokulum s SS = 25 g/kg in OS = 12 g/kg.

#### 4.1.2 Karakterizacija substratov

Ker se obremenitev reaktorjev v sistemu AMPTS določa glede na organsko snov vzorcev, smo vsem uporabljenim vzorcem v testu najprej določili suho snov (SS), organsko snov (OS) in kemijsko potrebo po kisiku (KPK). Pri energetski bilanci smo potrebovali kurične vrednosti vzorcev ( $H_c^\circ$ ), ki so poleg ostalih karakteristik vzorcev prikazane v Tabeli 4.2. Pri primerjavi vzorcev, na katerih ni bila gojena goba, ima višjo vsebnost suhe snovi (SS) in organske snovi (OS) vzorec, ki je bil zbran v mesecu avgustu (417 g/kg) v primerjavi z vzorcem, ki je bil zbran v mesecu oktobru (357 g/kg) (Tabela 4.2).

Tabela 4.2: Vsebnost SS, OS, KPK ter  $H_c^\circ$  vzorcev uporabljenih v sistemu AMPTS.

Vzorec	SS/ (g/kg vzorca)	OS/ (g/kg vzorca)	OS/ (% SS)	KPK/ (g/kg vzorca)	KPK/ (g/kg SS)	$H_c^\circ/$ (MJ/kg)
VHA	417	338	81	477	1144	16,66
IZA1	361	272	75	381	1055	15,81
IZA2	375	279	74	394	1051	16,23
VHO	357	315	88	438	1227	18,21
IZO1	296	249	84	360	1216	18,00
IZO2	298	251	84	350	1174	18,10

Odstopanja v sestavi so posledica vsebnosti razli nih komponent LB, ki so se na dan zbiranja nahajale na Zbirnem centru. Günther idr. [91] v svoji študiji navajajo kalori ne vrednosti razli nih drevesnih vrst. Kalori ne vrednosti se gibljejo med 17,9 in 20,5 MJ/kg. Iz tega lahko razberemo, da je kurilna vrednost vzorcev, ki smo jih uporabili v testu AMPTS, na spodnji meji kurilnih vrednosti lesa. V naših vzorcih je namre velik delež trave, listja in okrasnih rastlin, ki znižajo celotno kurilno vrednost vzorca.

Pri primerjavi vsebnosti OS med vzorci na katerih ni bila gojena goba in vzorcih preraš enih z gobo, imajo vzorci preraš eni z gobo nižje vsebnosti OS, kar je posledica gojenja gobe na substratih, saj *P. ostreatus* uporabi za svojo rast najprej lahko dostopno OS.

Enak trend, kot smo zaznali pri vsebnostih SS in OS, smo zaznali tudi pri vrednostih kemijske potrebe po kisiku (KPK). KPK je merilo za skupno koli in organskih snovi v vzorcu (razgradljivih in nerazgradljivih) in primerjava vrednosti med vzorci kaže na vejo vsebnost organskih snovi v vzorcih, ki niso preraš eni z gobo. Tako podatki za SS, OS in KPK prikazujejo enak trend porabljanja organskih snovi med procesom gojenja gobe.

Vrednosti analize CHNS za vzorce LB in vzorce preraš ene z micelijem glive, ki so bili uporabljeni v testu določanja biometanskega potenciala so predstavljeni v Tabeli 4.3. Iz analize C, H, N, S vzorcev je razvidno, da je vsebnost ogljikovodikov v vzorcu, zbranem v oktobru, nekoliko boljše zastopana od vzorca, zbranega v mesecu avgustu (glede na deleža C in H). Vrednost ogljika za vzorec zbran v mesecu avgustu (VHA) je bila 41,58 % in za vodik 5,55 %. Vrednost ogljika za vzorec zbran v mesecu oktobru (VHO) je bila 44,16 % in za vodik 5,72 %.

Tabela 4.3: CHNS analiza vzorcev uporabljenih v sistemu AMPTS

Vzorec	C /ut. %	H /ut. %	N /ut. %	S /ut. %	C/N razmerje
VHA	41,58	5,55	1,91	0,57	22
IZA1	38,46	4,90	2,11	0,54	18
IZA2	38,19	4,78	2,33	0,57	16
VHO	44,16	5,72	1,96	0,62	23
IZO1	44,73	5,71	2,24	0,60	20
IZO2	44,01	5,56	2,19	0,60	20

Iz primerjave deležev posameznih komponent med vzorci VHA, IZA1 in IZA2 je razvidno, da gobe med svojo rastjo aktivno porabljajo ogljikovodike, kar je vidno pri znižanih deležih C in H pri vzorcih, na katerih je bila gojena goba. Tak trend pa ni viden pri vzorcih VHO, IZO1 in IZO2. Do razlik lahko prihaja zaradi različnih vezav ogljikovodikov v sekundarne in terciarne spojine v substratih in zaradi različnih asovnih obdobij gojenja gobe na substratih, saj je bila goba na substratih IZO1 in IZO2 gojena 66 dni, medtem ko je bila na IZA1 gojena 79 dni in na IZA2 114 dni. Opazno je povečanje vsebnosti dušika v vzorcih preraš enih z gobo, medtem ko je vsebnost žvepla ostala na približno enaki ravni, kot v svežih substratih ali pa se je le minimalno zmanjšala. Glede na uteženo razmerje med C/N, sta substrata brez glive v optimalnem območju za pridobivanje bioplina, ki je med 20 in 30.

#### 4.1.3 Karakterizacija testnih mešanic

V Tabeli 4.4 so navedeni rezultati določevanja OS in KPK testnih mešanic na za etku inkubacije in na koncu inkubacije. Zraven je navedena količina nastalega bioplina v testnih mešanicah, ki je nastala iz količine organske snovi, dane v posamezno testno mešanico. OS, ki se je med procesom reducirala, znaša za vzorce nepreraščene z glivo med 54,72 % (VHO) in 57,72 % (VHA). Reducirana OS, vzorcev preraščenih z glivo, je bila nižja, in se je gibala med 22,93 % in 38,21 %. Enak trend je bilo zaznati tudi za vrednosti KPK. Rezultati proizvodnje bioplina so pokazali najvišjo proizvodnjo za vzorca nepreraščene z glivo (215,8 NmL/gos za VHA in 201,8 NmL/gos za VHO), medtem ko so bile vrednosti proizvodnje bioplina za preraščene vzorce na nižji ravni.

Tabela 4.4: Karakteristike testnih mešanic.

Vzorec	OS <sub>vh</sub> / (g/kg)	OS <sub>iz</sub> / (g/kg)	KPK <sub>vh</sub> / (mg/L)	KPK <sub>iz</sub> / (mg/L)	OS <sub>red</sub> / %	KPK <sub>red</sub> / %	V <sub>B</sub> / (NmL/gos)
Inokulum 1	14,88	13,12	24 395	24 250			
Inokulum 2	17,32	16,31	29 909	29 584			
VHA	24,01	16,98	40 360	30 888	57,72	58,42	215,8
IZA1	23,52	18,68	37 463	32 567	35,65	36,36	119,8
IZA2	24,43	21,79	39 450	34 575	22,93	47,69	88,1
VHO	23,25	16,91	38 560	31 550	54,72	48,46	201,8
IZO1	25,27	21,56	38 409	34 950	33,96	36,87	105,6
IZO2	24,57	20,79	37 625	34 875	38,21	31,43	103,1

Vrednosti OS in KPK testnih mešanic na za etku inkubacije so odraz razmerja med inokulumom in vzorci. V vseh testnih mešanicah je bilo razmerje med inokulumom in substratom 1,5. Iz rezultatov proizvodnje bioplina je razvidno, da je največ bioplina nastalo iz vzorcev, na katerih predhodno ni bila gojena goba. S tem potrjujemo naša predvidevanja, ki smo jih postavili že pri določevanju karakteristik vzorcev. Vzorci brez predhodno gojene gobe imajo namreč višjo vsebnost OS in KPK kot tudi  $H_c$ . V teh vzorcih je tudi višje razmerje C/N v primerjavi z vzorcem preraščenim z glivo. Gliva je bila na vzorcu IZA1 gojena 79 dni in na vzorcu IZA2 114 dni, proizvodnja bioplina je višja pri vzorcu na katerem je bila gojena goba manj asa, kar pomeni, da je za svojo rast porabila manj organskih snovi, kot na vzorcu na katerem je bila gojena dalj asa. Tako je v vzorcu IZA1 ostalo več organske snovi, ki so jo lahko mikroorganizmi pretvorili v biopljin. S temi rezultati dodatno potrjujemo ugotovitev, da gojenje glive *P. ostreatus* na vzorcih, ki jih nato uporabimo v procesu anaerobne fermentacije, negativno vplivajo na proizvodnjo bioplina oz. znižujejo proizvodnjo bioplina. Gojenje glive *P. ostreatus* na vzorcih pred procesom anaerobne fermentacije ni smiselno.

#### 4.1.4 pH vrednost testnih mešanic

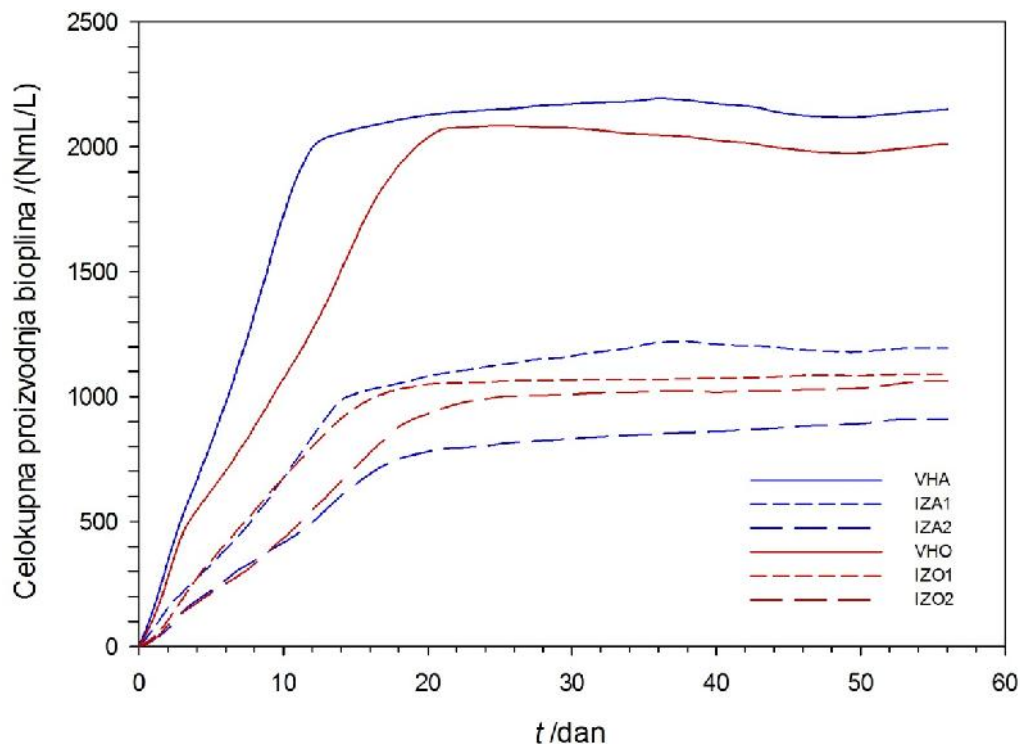
Tabela 4.5 podaja za etno in kon no pH vrednost testnih mešanic. eprav je pH vrednost nekoliko višja od optimalnih vrednosti, fermentacija ni bila zavirana v nobenem reaktorju. Iz pH vrednosti je razvidno, da so bile vrednosti na koncu procesa anaerobne fermentacije le nekoliko nižje od vrednosti na za etku procesa. Razlika se je gibala med 0,12 in 0,25. V vseh reaktorjih je fermentacija potekla do konca, kar pomeni da je potekla tudi metanogeneza, ki poskrbi za stabilizacijo pH vrednosti na koncu procesa.

Tabela 4.5: Za etna in kon na pH vrednost testnih mešanic.

Vzorec	pH <sub>vh</sub>	pH <sub>iz</sub>
Inokulum 1	8,36	8,27
Inokulum 2	8,47	8,44
VHA	8,14	7,95
IZA1	8,21	8,04
IZA2	8,42	8,29
VHO	8,21	7,96
IZO1	8,46	8,31
IZO2	8,48	8,36

#### 4.1.5 Celokupna proizvodnja bioplina

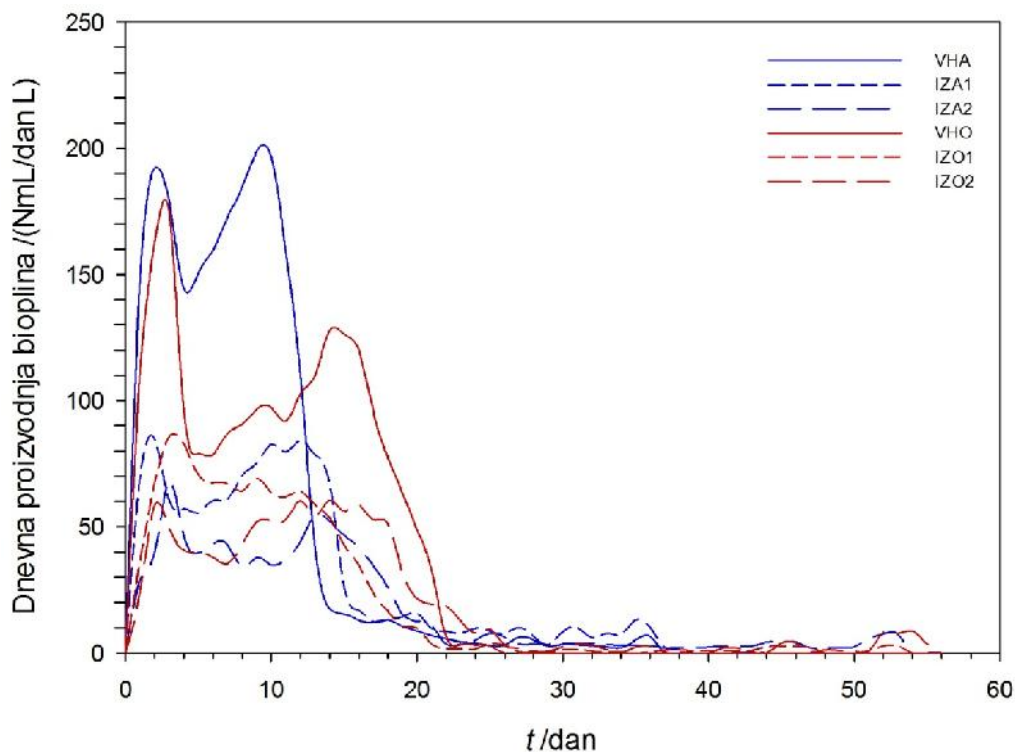
Slika 4.1 prikazuje trend nastajanja bioplina v reaktorjih za obravnavane vzorce. Največ bioplina je nastalo iz vzorcev, na katerih ni bila gojena gliva. Dinamika nastajanja bioplina pri vzorcih VHA in VHO kaže na po asnejšo nastajanje bioplina za vzorec VHO v primerjavi z vzorcem VHA. Predvidevamo, da je vzrok za prikazano dinamiko nastajanja bioplina lahko v strukturi substrata. Vzorec VHO lahko vklju uje kompleksnejše sekundarne in terciarne spojine ogljikovodikov, ki jih mikroorganizmi v anaerobni fermentaciji težje in po asneje razgrajujejo. Iz Slike 4.1 lahko razberemo tudi nastajanje bioplina v odvisnosti od asa. Večina bioplina je namreč nastala v trinajstih dneh za vzorec VHA in v dvaindvajsetih dneh za vzorec VHO. Po tem obdobju je bila proizvodnja bioplina minimalna. Iz tega lahko razberemo zadrževalni as vzorcev v reaktorju, ki je iz energetskega vidika še smiseln, e želimo tak proces prestaviti v večje merilo.



Slika 4.1: Celokupna proizvodnja bioplina izražena na liter testne mešanice.

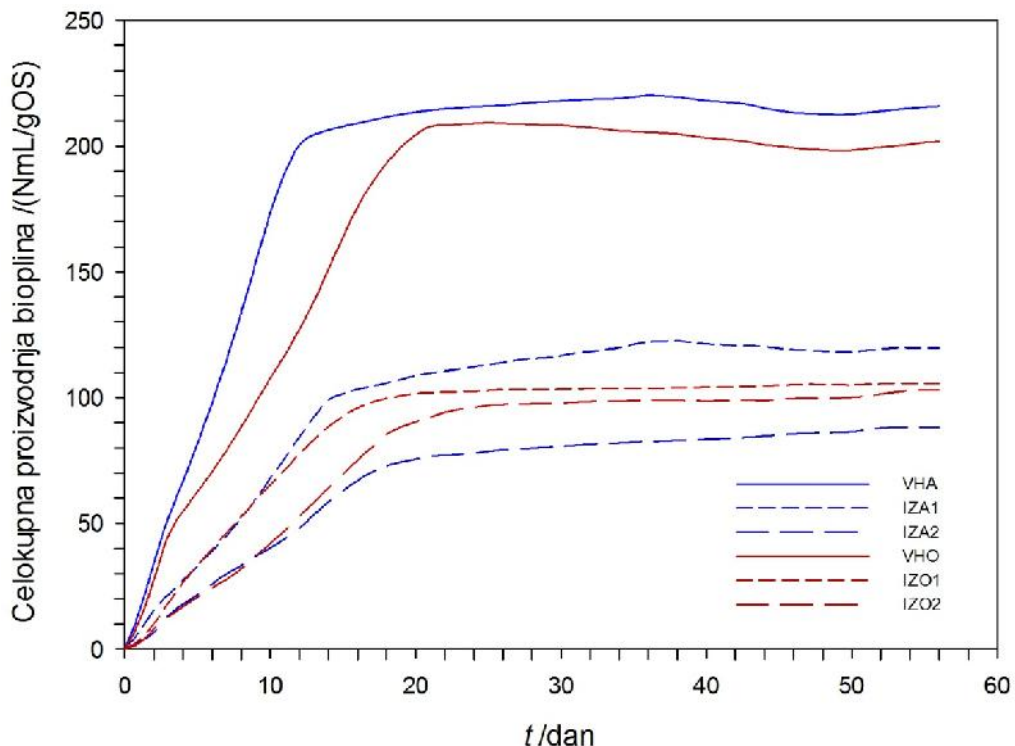
Ključno pomena za proces anaerobne razgradnje je pozitivna energetska bilanca, kar pomeni, da mora proizveden bioplinski v procesu dati več energije, kot je porabimo za delovanje procesa. Pri minimalni proizvodnji bioplina pozitivne energetske bilance ni mogoče doseći. Za vzorec VHA lahko tako določimo potrebni zadrževalni čas trinajst dni in za vzorec VHO triindvajset dni. Če v procesu anaerobne fermentacije dodajamo substrate, katerih karakteristike se spreminja glede na asovna obdobja, kot je bilo tudi v našem primeru, je težko vnaprej določiti zadrževalni čas vzorcev v reaktorjih. S primerno opremo, s katero lahko sproti spremljamo pretok nastalega bioplina in vsebnost posameznih plinov v bioplinu, lahko zadrževalni čas določimo sproti in tako zagotavljamo stabilnost in uinkovitost procesa. Vedno stremimo namreč k im krajšim zadrževalnim časom in im večji organski obremenitvi procesa. Pri tem pa moramo upoštevati tudi uinkovitost redukcije organske snovi in dejstvo, da ravno na koncu procesa nastaja največ metana.

Iz Slike 4.2 je razvidno, da ima pri vseh vzorcih dnevna proizvodnja bioplina dva vrhova. Že v prvem ali drugem dnevu fermentacije je opazen prvi vrh, nato proizvodnja malo pada in sledi še drugi vrh. Tak trend nastajanja bioplina je posledica karakteristike vzorcev. V procesu se najprej porabijo preproste spojine, ki so na voljo mikroorganizmom, kot so monosaharidi in amino kisline. Ko se porabijo lahko dostopne spojine, se v procesu za ne proces hidrolize in acidifikacije. Mikroorganizmi po prilagoditveni faziji za nejo izločajo encime, ki razgrajujo polisaharide do monosaharidov, beljakovine do amino kislin in dolgo verižne mačke obnove kisline do kratko verižnih mački obnih kislin. Med procesom razgradnje se tako za ne ponoven dvig proizvodnje bioplina. S tem, ko je v reaktorju vse manj spojin, ki jih mikroorganizmi lahko razgrajujo, za ne tudi proizvodnja bioplina pada. Ko ostanejo v substratu še težko dostopne spojine, ki jih organizmi v anaerobni fermentaciji ne morejo predelati, se proizvodnja plina popolnoma ustavi.



Slika 4.2: Dnevna proizvodnja bioplina za preizkušane vzorce v sistemu AMPTS.

Slika 4.3 prikazuje bioplinski potencial, izražen z vsebnostjo organske snovi posameznega vzorca oz. organsko obremenitvijo posameznega reaktorja. Pri tem se za proizvodnjo bioplina upošteva upad organske snovi med procesom. Tako izraženi rezultati so najlažje primerljivi z rezultati drugih raziskovalcev.



Slika 4.3: Bioplinski potencial vzorcev izražen na OS substratov.

#### 4.1.6 Biometanski potencial in redukcija OS in KPK

Biometanski potencial vzorca VHA znaša 145,8 NmL CH<sub>4</sub>/g OS<sub>s</sub> in za VHO 120,7 NmL CH<sub>4</sub>/g OS<sub>s</sub>. V primerjavi z vrednostmi iz literature sta ti vrednosti višji od vrednosti, ki jih navajajo Brown idr. [15], ki navajajo biometanski potencial za vrtne odpadke 49,3 in 59,7 NmL CH<sub>4</sub>/g OS<sub>s</sub>. Vrtni odpadki so v njihovem primeru sestavljeni iz trave, listja in vej, ki nastanejo v gospodinjstvih, ob inah in družbah za urejanje okolja, kar predstavlja sestavo substratov zelo podobno sestavi substratov, uporabljenih v predstavljeni študiji.

Pri primerjavi biometanskih potencialov med substrati, ki niso preraš eni z gobo in substrati, preraš enim z gobo, smo ugotovili, da se je biometanski potencial substratov, preraš enih z micelijem glive *P. ostreatus*, zelo znižal glede na vrednosti biometanskega potenciala za LB. Vrednost biometanskega potenciala je bila tudi nižja za substrat na katerem je bila gojena goba 114 dni od tistega na katerem je bila gojena 79 dni. Iz tega lahko sklepamo, da se z daljšim asovnim obdobjem gojenja bukovega ostrigarja, biometanski potencial substrata znižuje. Tak rezultat je posledica razrašanja micelija. Daljša kot je micelij prisoten na substratu, več organskih komponent porabi za lastno rast in manj jih ostane za mikroorganizme v procesu anaerobne fermentacije (Tabela 4.6).

Na vzorcih IZO1 in IZO2 je bila goba gojena 66 dni, vendar smo zaznali različno intenziteto rasti micelija, kar je bilo vidno v primeru šibkejše rasti kot redka prepletenost micelija s substratom in v primeru aktivne rasti kot gosta prepletenost micelija s substratom. Ta razlika v intenziteti rasti micelija ni bistveno vplivala na vrednosti biometanskega potenciala. Biometanski potencial za vzorec IZO1 je bil 62,0 NmL CH<sub>4</sub>/g OS<sub>s</sub> in za IZO2 68,4 NmL CH<sub>4</sub>/g OS<sub>s</sub>.

Tabela 4.6: Bioplinski in biometanski potencial substratov.

Vzorec	V <sub>B</sub> / (NmL/L)	BPP/ (NmL/ g OS)	BPP/ (NmL/ g KPK)	delež CH <sub>4</sub> v bioplincu/ (vol. %)	BMP/ (NmL <sub>CH4</sub> / g OS)	BMP/ (NmL <sub>CH4</sub> / g KPK)
VHA	2150,14	215,81	152,94	67,6	145,80	103,33
IZA1	1193,71	119,80	85,47	65,6	78,60	56,08
IZA2	909,00	88,05	62,31	63,0	55,47	39,25
VHO	2010,86	201,83	145,13	59,8	120,66	86,77
IZO1	1090,57	105,58	72,98	58,7	61,99	42,85
IZO2	1063,93	103,06	74,00	66,3	68,37	49,09

Iz rezultatov zbranih v Tabeli 4.7 lahko povzamemo, da se je največji OS in KPK reduciralo v vzorcih VHA in VHO, pri katerih je bila vsebnost OS in KPK v vhodnem substratu najvišja. Prav tako je v teh vzorcih bila proizvodnja bioplina najvišja. S temi rezultati potrjujemo pravilnost vrednosti biometanskih potencialov uporabljenih vzorcev. Višja kot je redukcija OS oz. KPK višji je biometanski potencial vzorca.

Tabela 4.7: Redukcija OS in KPK med procesom anaerobne fermentacije v sistemu AMPTS.

Vzorec	$OS_{red}/(g/kg)$	$OS_{red}/\%$	$KPK_{red}/(g/L)$	$KPK_{red}/\%$
VHA	5,28	57,8	9,33	58,43
IZA1	3,08	35,7	4,75	36,36
IZA2	1,64	23,0	4,73	49,58
VHO	4,59	54,8	6,87	48,47
IZO1	2,70	34,0	3,31	39,00
IZO2	2,21	33,2	3,45	32,92

#### 4.1.7 Izplen metana

Glede na to, da je teoretična vrednost izplena  $CH_4$  na reducirano količino 1 kg KPK  $I_t = 350 \text{ NL}$ , lahko iz rezultatov v Tabeli 4.8 razberemo, da je bil izplen pri preučevanih vzorcih nizek. Predvidevamo, da je to posledica strukture vhodnih vzorcev, ki vsebujejo celulozo, hemicelulozo in lignin. Teh spojin mikroorganizmi v procesu anaerobne fermentacije niso sposobni razgraditi, medtem ko so zajete v količini KPK substrata.

Tabela 4.8: Izplen metana glede na reducirano KPK.

Vzorec	$I_{eks}/(\text{NL } CH_4/\text{kg } KPK_{red})$	I/%
VHA	155,73	44,5
IZA1	164,84	47,1
IZA2	121,05	34,6
VHO	175,11	50,0
IZO1	193,20	55,20
IZO2	204,49	58,43

#### 4.1.8 Izkoristek proizvodnje metana

Tabela 4.9 prikazuje vrednosti izkoristka proizvodnje metana izra unanega iz razmerja kurilne vrednosti, ki nastane v procesu anaerobne razgradnje in kurilne vrednosti, ki jo imajo vzorci uporabljeni pri testu AMPTS. Kurilne vrednosti metana za posamezen vzorec so bile izra unane po ena bah opisanih v razdelku 3.2.1.6.

Ugotovili smo zelo nizke izkoristke proizvodnje metana, glede na kurilne vrednosti vzorcev (Tabela 4.9). Iz rezultatov lahko zaklju imo, da je za boljši izkoristek procesa potrebna primerna predobdelava substratov.

Tabela 4.9: Izkoristek proizvodnje metana.

Vzorec	$\Delta_{\text{HC}_s / \text{HC}_s}^{\text{etana}}$ (MJ/kg <sub>s</sub> )	$\Delta_{\text{HC}_s / \text{CH}_4}^{\text{etana}}$ (MJ CH <sub>4</sub> /kg <sub>s</sub> )	y /%
VHA	16,66	2,66	15,98
IZA1	15,81	1,19	7,52
IZA2	16,23	0,90	5,52
VHO	18,21	2,32	12,72
IZO1	18,00	0,96	5,32
IZO2	18,10	0,95	5,22

## 4.2 Anaerobna fermentacija v pilotnem sistemu

Najpomembnejši rezultati in dognanja anaerobne fermentacije v pilotnem sistemu se navezujejo na vpliv pretakanja izcedne vode na obravnavane parametre. Tako so v tem razdelku podani rezultati anaerobne fermentacije LB v trdnem stanju in termofilnem temperaturnem območju z vzpostavljenim križnim pretakanjem izcedne vode med reaktorji.

Eprav smo skupno obravnavali šest vzorcev, so podani rezultati anaerobne fermentacije enega vzorca, saj v pilotnem merilu prihaja do različno dolgega obdobja prilagajanja mikroorganizmov. Obdobja obtakanja izcedne vode, ki se navezujejo na uravnavanje pH vrednosti, so bila različno dolga, prav tako so bili različno dolgi tudi časi fermentacije, ki zavisijo od dnevne proizvodnje bioplina in od sestave bioplina. Predstavljeni rezultati opisujejo povprečen potek in rezultate anaerobne fermentacije LB v trdnem stanju z obtakanjem izcedne vode.

### 4.2.1 Karakterizacija substratov na vhodu in izhodu procesa anaerobne fermentacije

Iz rezultatov v Tabeli 4.10 je razvidno, da je delež organske snovi vhodnega vzorca (81,4 % SS) višji od deleža organske snovi izhodnega vzorca (64,7 % SS). Znižanje deleža organske snovi je posledica pretvorbe organske snovi v bioplín med procesom anaerobne fermentacije.

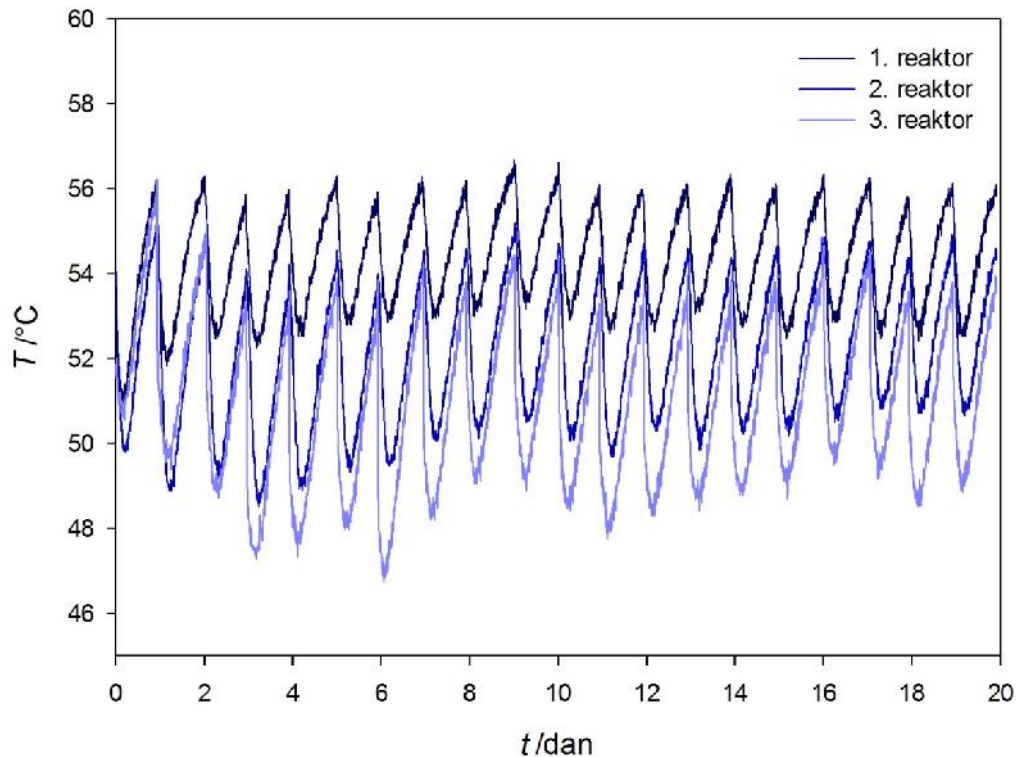
Karakterizacija substrata nam je omogočila tudi izračun C:N razmerja iz rezultatov za vhodni vzorec. Uravnavanje razmerja C:N je ključno nega pomena za rast bakterij. Splošno velja, da je optimalno razmerje C:N za anaerobno fermentacijo med 20 in 30. Za naš raziskovani vzorec je bilo razmerje C:N 62. Tudi Brown idr. [15] so imeli podobne vrednosti C:N pri fermentaciji v trdnem stanju za različne LB substrate. C:N razmerje za vrtne odpadke je bilo 55,3. Z dodajanjem dušika bi lahko znižali primanjkljaj hranič za bakterijsko združbo, vendar bi dodajanje dušika predstavljalo dodaten strošek. Boljša rešitev bi bila mešanje z dušikom bogatega substrata k LB.

Tabela 4.10: Vsebnost SS, OS, pH, dušika po Kjeldahlu in celotnega organskega ogljika v vhodnem in izhodnem vzorcu anaerobne fermentacije.

Vzorec	SS / (g/kg vzorca)	OS / (g/kg vzorca)	OS / % SS	pH	TKN / % SS	TOC / % SS
LB <sub>vh</sub>	338,5	275,5	81,4	5,82	0,59	36,6
LB <sub>iz</sub>	336,0	217,3	64,7	7,92	0,60	31,2

#### 4.2.2 Temperaturni profil v reaktorjih med procesom anaerobne fermentacije

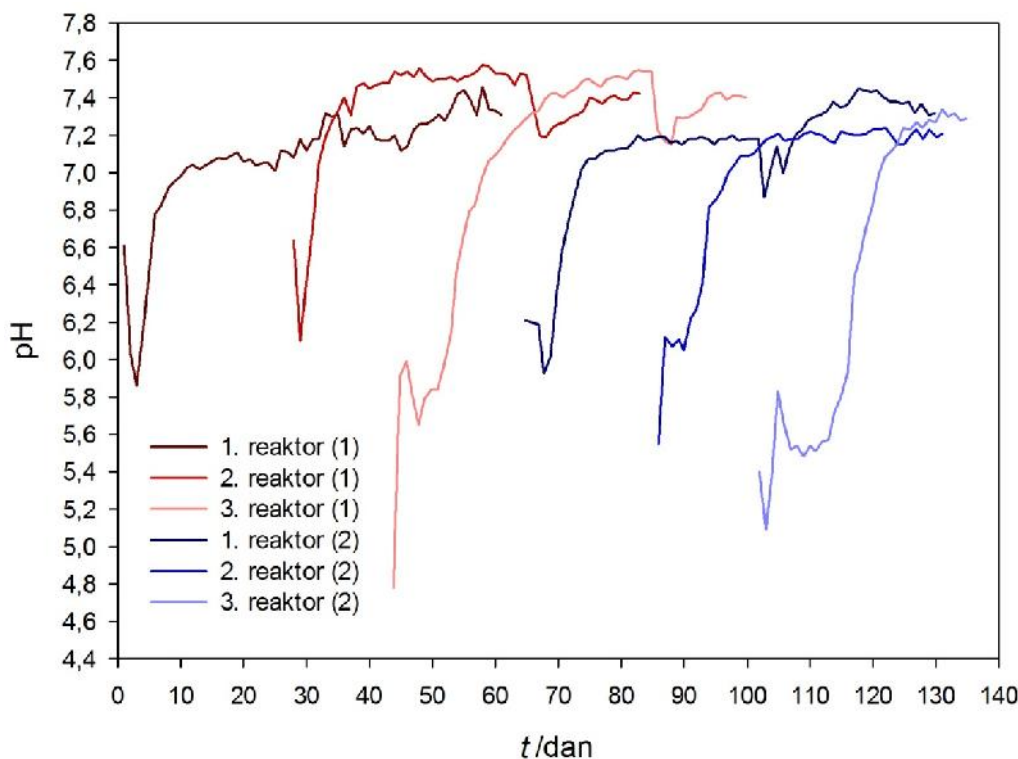
Temperatura v reaktorjih je dnevno nihala za 2 do 3 °C (Slika 4.4). Temperature smo beležili *on-line* s temperaturnimi senzorji, ki so bili postavljeni v sredini nasutega materiala v reaktorjih. Temperatura se je beležila na procesorju, in sicer je bila temperatura zabeležena vsakih 5 min. Vzrok za nihanje v temperaturi je v obtakanju izcedne vode med reaktorji. Izcedna voda se je zbirala na dnu reaktorjev, kjer je predvsem dno reaktorja predstavljalo velik vir toplotnih izgub, kar se je izrazilo pri nižji temperaturi izcedne vode. Ker smo izcedno vodo pretakali direktno med reaktorji, je to pomenilo, da smo segreti material v reaktorju s pretakanjem izcedne vode nekoliko ohladili, vendar se je temperatura v naslednjih urah ponovno dvignila. Kljub rahlemu temperaturnemu nihanju, smo bili vedno v obmoju termofilnega delovanja anaerobne fermentacije. Iz rezultatov proizvodnje bioplina in sestave bioplina ni bilo zaznati negativnega vpliva temperaturnega nihanja nasutega substrata v reaktorju. Rezultati temperaturnega profila v reaktorjih nakazujejo na pomanjkljivost pilotnega sistema, ki se nanaša na izolacijo reaktorjev. Dno reaktorjev ni bilo zadostno izolirano, hkrati bi morale tudi grelne ka e segati do dna reaktorja, da bi bilo zagotovljeno tudi segrevanje izcedne vode.



Slika 4.4: Temperatura v reaktorjih pilotnega sistema med procesom anaerobne fermentacije v termofilnem temperaturnem obmoju.

#### 4.2.3 Vpliv pretakanje izcedne vode na pH vrednosti izcedne vode

Iz rezultatov na Sliki 4.5 lahko razberemo nizko pH vrednost izcedne vode v za etku procesa, hiter dvig pH vrednosti do pH vrednosti 7 ali še višje. Proti koncu krivulj pH vrednosti je viden ponovni padec vrednosti. Hiter dvig pH vrednosti v za etku procesa posameznega reaktorja je posledica pretoka izcedne vode med starim in novim reaktorjem. V za etni fazi smo v novi reaktor uvedli izcedno vodo z visoko pH vrednostjo, hkrati so se hlapne maš obne kisline, ki so prisotne v izcedni vodi in znižujejo pH vrednost, odvedle iz novega reaktorja v stari reaktor. Na tak na in smo dosegli hitro stabilizacijo v procesu, kar je posledica hitrega dviga vrednosti pH izcedne vode. Drugi, manjši padec pH vrednosti je posledica drugega pretoka izcedne vode, ko je v reaktor uvedena izcedna voda iz novega reaktorja z nizko vrednostjo pH. Vrednost pH se po konani fazi drugega križnega pretoka ponovno dvigne in stabilizira, saj je v tej stopnji v procesu že potekla metanogena faza, kar pomeni, da je v sistemu mnogo aktivnih mikroorganizmov, ki zlahka razgradijo spojine, ki so s svežo izcedno vodo uvedene v stari reaktor.

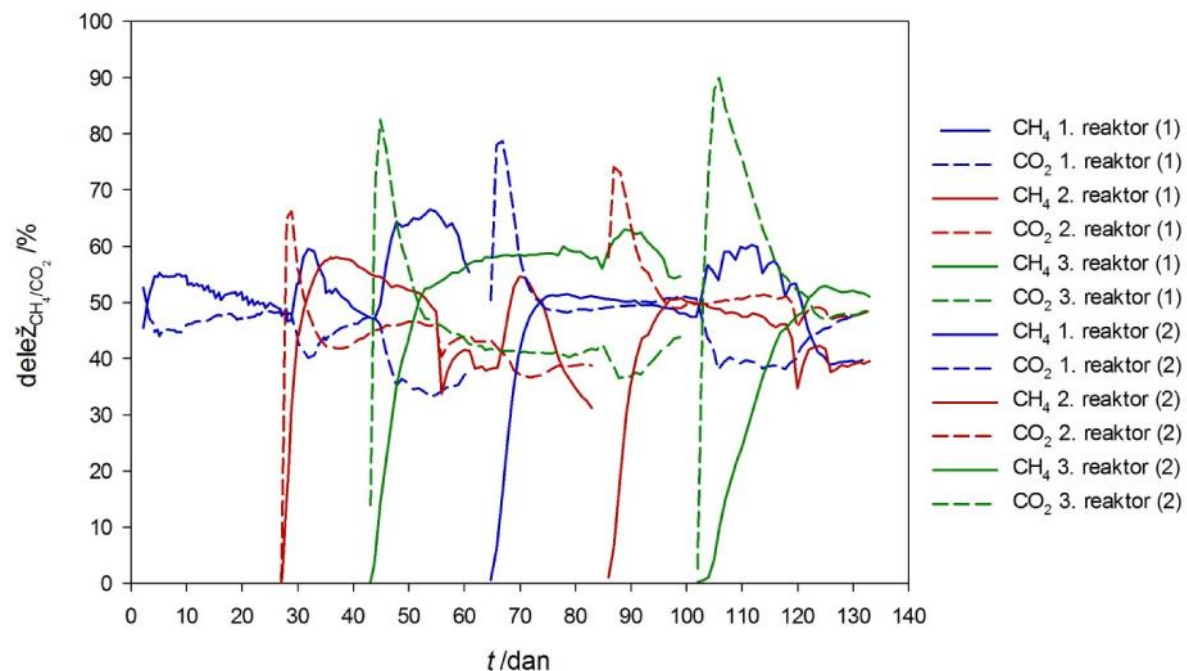


Slika 4.5: Vrednost pH izcedne vode v reaktorjih anaerobne fermentacije iz dveh zaporednih serij.

Na Sliki 4.5 so predstavljene pH vrednosti v reaktorjih pilotnega sistema. Predstavljeni sta dve zaporedni seriji, v vsaki seriji so obratovali trije reaktorji. Reaktorji so se v proces vključevali s asovnim zamikom zaradi pretakanja izcedne vode med reaktorji, ki so bili v različnih fazah procesa.

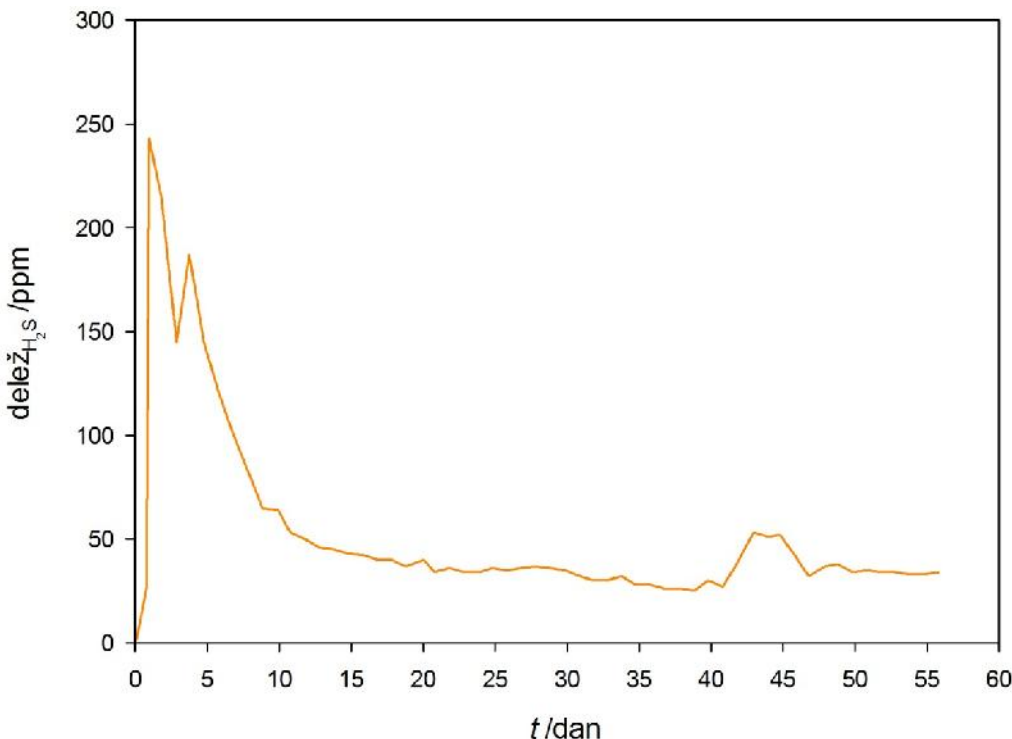
#### 4.2.4 Vpliv pretakanja izcedne vode na sestavo bioplina

Iz Slike 4.6 je razviden hiter dvig vsebnosti  $\text{CO}_2$ . Z naraščajočim deležem  $\text{CH}_4$  je začel delež  $\text{CO}_2$  v bioplincu upadati do nivoja, ko se je ustalil pri vsebnosti med 40 % in 50 %. Po stabilizaciji procesa anaerobne fermentacije je bil delež  $\text{CH}_4$  v bioplincu med 50 % in 60 %. Med posameznimi reaktorji ni vidnih večjih odstopanj v vsebnosti  $\text{CO}_2$  in  $\text{CH}_4$  v bioplincu. Enako kot pri vrednostih pH v izcedni vodi, je tudi pri deležih  $\text{CO}_2$  in  $\text{CH}_4$  zaznati vpliv pretakanja izcedne vode med reaktorji, kar je zaznati v zelo hitri rasti vsebnosti  $\text{CH}_4$  v bioplincu v začetni fazi, ko se v reaktorju izmenja sveža izcedna voda z izcedno vodo iz starega reaktorja. Ta križni pretok pripomore k hitrejšemu zagonu anaerobne fermentacije in k preprečitvi zakisanja reaktorja. Pri vseh reaktorjih je viden porast vsebnosti metana v bioplincu v zadnji fazi obratovanja reaktorja. Porast v tej fazi je posledica drugega pretoka izcedne vode. Pri tem pretoku je t.i. zrela izcedna voda izmenjana z izcedno vodo v reaktorjih, ki je v začetni fazi zagona procesa. Ker se iz svežega materiala prenesejo v reaktor, pri katerem se proces anaerobne fermentacije že končuje, sveža hrana in mikroorganizmi, se vsebnost metana ponovno poveča. Enak trend je zaznati tudi pri vsebnosti  $\text{H}_2\text{S}$  v bioplincu, ki je prikazan na Sliki 4.7.



Slika 4.6: Delež  $\text{CH}_4$  in  $\text{CO}_2$  v bioplincu iz reaktorjev anaerobne fermentacije 2 zaporednih serij.

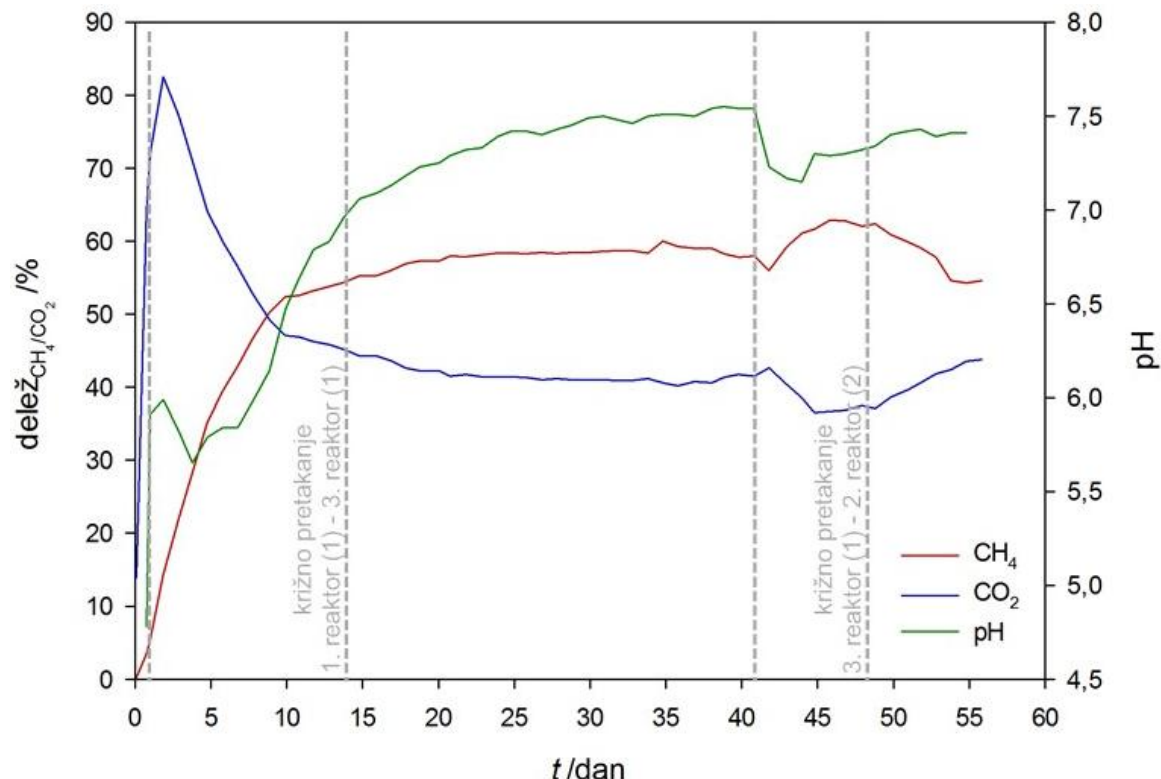
Najvišja vsebnost  $\text{H}_2\text{S}$  je bila v začetni fazi procesa, to je v stopnji hidrolize. V tej stopnji se razgradijo organski materiali v osnovne gradnike. Prisotnost žvepla je vezana v strukturi proteinov, ki so prisotni v organskem materialu. Encimi mikroorganizmov tako razgradijo proteine med drugim tudi do  $\text{H}_2\text{S}$ . Po začetni fazi pada vsebnost  $\text{H}_2\text{S}$  na minimalne vrednosti, nekoliko naraste v drugi fazi pretoka izcedne vode, kar je posledica prisotnih proteinov v sveži izcedni vodi, ki se v starem reaktorju razgradijo (Slika 4.7).



Slika 4.7: Vsebnost H<sub>2</sub>S v enem reaktorju pilotnega sistema anaerobne fermentacije.

Slika 4.8 prikazuje vpliv pretakanja izcedne vode na vrednosti pH izcedne vode ter vsebnosti CO<sub>2</sub> in CH<sub>4</sub> v bioplincu. Z združitvijo pH vrednosti in sestavo bioplina na istem grafu, ter nazorno določitvijo faz pretoka izcedne vode, je vpliv pretoka izcedne vode še bolj nazorno prikazan. Predstavljeni rezultati so iz 3. reaktorja 1. serije, ki so prikazani tudi na Sliki 4.5 in Sliki 4.6.

S skrtnimi srtami so nazorno prikazana faze, v katerih smo izvajali pretakanje izcedne vode. V vmesni fazji med pretokoma izcedne vode smo tudi izvajali pretakanje izcedne vode kot je prikazano na skici iz Slike 3.7. V tej fazji je sestava bioplina konstantna, prav tako pa je konstantna tudi vrednost pH v izcedni vodi. Na Sliki 4.8 je to obdobje med 14. in 42. dnem obratovanja procesa. V tej fazji se izcedna voda pretaka iz dna reaktorja na vrh reaktorja, kjer se preko namakalne zanke enakomerno razprši po nasutem substratu v reaktorju. Glavni namen obtakanja izcedne vode v aktivnem reaktorju je vzdrževanje vlage v procesu in enakomerna porazdelitev hranil in mikroorganizmov. Pretakanje izcedne vode ne vpliva samo na sestavo bioplina in vrednost pH v izcedni vodi, ampak tudi na koli ino nastalega bioplina posameznega reaktorja.



Slika 4.8. Vpliv pretakanja izcedne vode na vrednost pH v izcedni vodi in na deleže  $\text{CO}_2$  in  $\text{CH}_4$  v bioplinu.

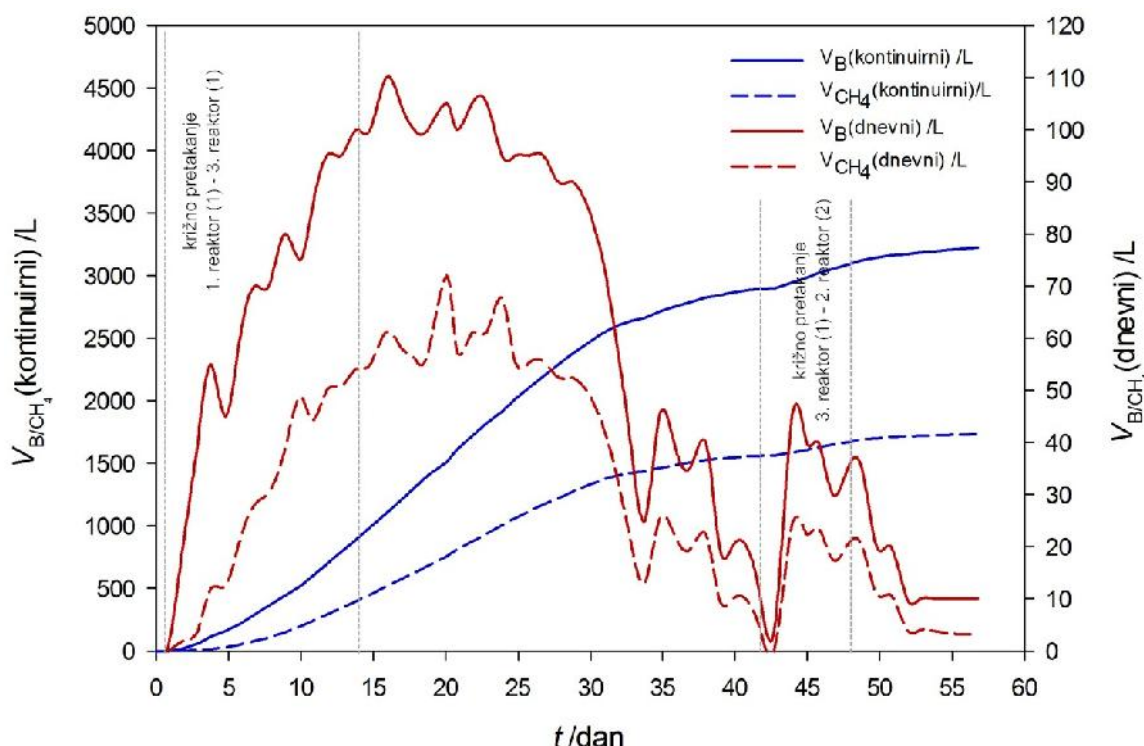
#### 4.2.5 Redukcija OS in celokupna proizvodnja bioplina v reaktorju pilotnega sistema

Ker smo dnevno spremljali volumen nastalega bioplina in sestavo plinov v bioplincu, smo proizvodnjo biometana prera unavali na osnovi dnevnih podatkov analize sestave bioplina. Celokupna proizvodnja biometana tako predstavlja seštevek dnevnih izra unavanj, in sicer znaša 3225,0 L (Tabela 4.11)

Tabela 4.11: Redukcija OS in celokupna proizvodnja bioplina in metana v reaktorju pilotnega sistema.

Reaktor	$OS_{red} /(\text{g/kg})$	$OS_{red} /%$	$V_B / \text{L}$	$V_{CH_4} / \text{L}$
3. reaktor (1)	58,2	21,1	3225,0	1732,7

Tako kot pri vsebnosti pH v izcedni vodi in pri sestavi bioplina, se vpliv pretakanja izcedne vode pozna tudi pri proizvodnji bioplina. Dnevna proizvodnja bioplina iz 52 kg nasutega substrata je dosegla tudi 110 L/dan (Slika 4.9). Najvišji nivo dnevne proizvodnje bioplina je bil zabeležen takoj po prekinitvi prvega križnega pretakanja izcedne vode. Po uspešnem zagonu procesa v reaktorju, se je po 14. dneh začela intenzivna metanogena faza, kar je razvidno iz visoke dnevne proizvodnje bioplina, visokem deležu metana v bioplincu (55 %) in vrednost pH izcedne vode, ki se je ustalila na vrednosti 7. Do 41. dneva procesa, to je do drugega pretoka izcedne vode, je bila proizvodnja bioplina 2900 L in proizvodnja biometana 1560,9 L. Brez drugega pretoka bi se koli ina proizvedenega bioplina le še minimalno pove ala, saj je bila dnevna proizvodnja bioplina 42. dan fermentacije le 5 L. Z uvedenim drugim pretokom izcedne vode se je proizvodnja bioplina ponovno pove ala vse do 45 L/dan.



Slika 4.9: Dnevna in kontinuirana proizvodnja bioplina in metana v reaktorju pilotnega sistema.

#### 4.2.6 Bioplinski in biometanski potencial

V procesu anaerobne fermentacije v trdnem stanju in pri termofilnem temperaturnem režimu je nastalo  $V_{CH_4} = 33,32 \text{ L CH}_4/\text{kg substrata}$ , kar predstavlja BMP = 120,95 L CH<sub>4</sub>/kg OS pri zadrževalnem asu substrata v reaktorju 56 dni. Adhiraki idr. [14] so dosegli s trdnou fermentacijo pri termofilnem temperaturnem nivoju ter obtakanju izcedne vode, proizvodnjo metana 143 L/kg OS. Za substrat je bila uporabljena organska frakcija komunalnih odpadkov. Proses je potekal 76 dni. Fernandez idr. [103] so v svoji študiji dosegli proizvodnjo metana 110 L/kg OS. Fermentirali so lo eno zbrano organsko frakcijo komunalnih odpadkov z vsebnostjo SS 20 % pri mezofilnem temperaturnem režimu. Po 30. dneh so Brown idr. [15] s fermentacijo v trdnem stanju in mezofilnem temperaturnem nivoju dosegli naslednje proizvodnje biometana za obravnavane substrate: 123, 9 L/kg OS za pšeni no slamo, 75,3 L/kg OS za listje, 49,3 L/kg OS za vrtne odpadke (veje in listje), 46,9 L/kg OS za javorjev les in 17 L/kg OS za borov les. Pri primerjavi doseženega rezultata naše študije z dognanji drugih smo ugotovili, da je proizvodnja biometana podobna kot jo navajajo drugi avtorji za organsko frakcijo komunalnih odpadkov, ki predstavlja skupek različnih organskih materialov. Metanski potenciali lesa posameznih lesnih vrst so veliko nižji od potenciala organske frakcije.

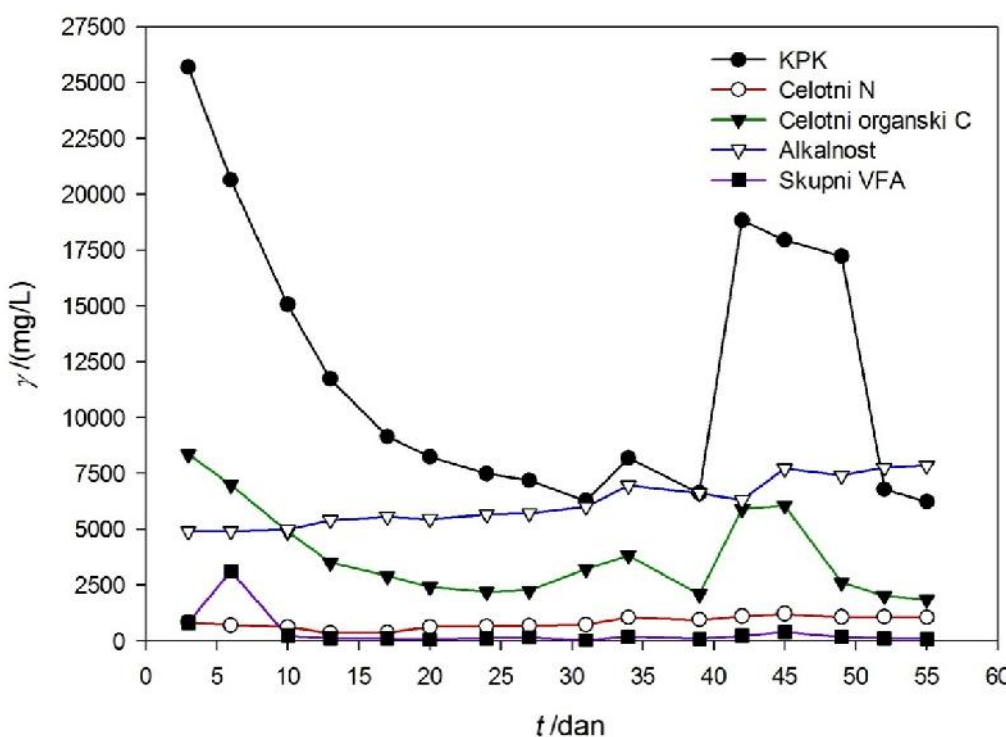
BMP do drugega pretoka izcedne vode je znašal 108,96 L/kg OS, z drugim pretokom se je BMP povečal za 11 % (120,95 L/kg OS).

Tabela 4.12: Bioplinski (BPP) in biometanski potencial (BMP) LB v pilotnem sistemu.

Reaktor	$V_B /$ (L/kg)	$V_{CH_4} /$ (L/kg)	$BPP /$ (L/kg OS)	$BMP /$ (L/kg OS)	do 2. pretoka izcedne vode	
					$BPP /$ (L/kg OS)	$BMP /$ (L/kg OS)
3. reaktor (1)	63,02	33,32	225,11	120,95	202,43	108,96

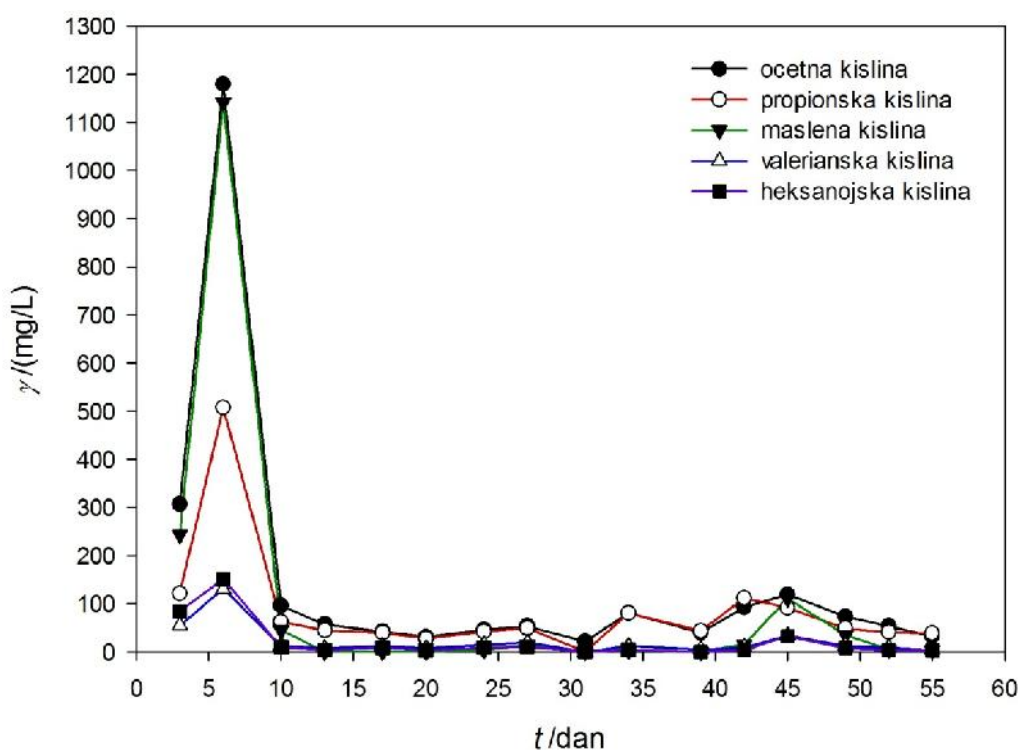
#### 4.2.7 Vsebnost KPK, celotnega dušika, celotnega organskega ogljika, alkalnosti in hlapnih maščobnih kislin v izcedni vodi

Pretakanje izcedne vode ni imelo vpliva na vsebnost dušika v izcedni vodi, kot tudi ne na alkalnost, ki se je konstantno pove evala s asom obratovanja reaktorja, ne glede na preteke izcedne vode. Vpliv pretakanje izcedne vode je bil viden pri spremenjanju koli in hlapnih maščobnih kislin v izcedni vodi v različni fazi procesa anaerobne fermentacije. V prvi fazi je koli in hlapnih maščobnih kislin zelo narasla, kot posledica razpada dolgovržnih maščobnih kislin. Hiter padec koncentracije hlapnih maščobnih kislin v začetku procesa je eden od znakov stabilnosti procesa. Vsekakor pa k tej stabilnosti pripomore tudi pretakanje izcedne vode. Drugi pretok izcedne vode je le minimalno vplival na spremembo koncentracije hlapnih maščobnih kislin. Podrobni pregled koncentracij posameznih hlapnih maščobnih kislin je predstavljen na Sliki 4.11. Največji vpliv pretakanja izcedne vode je viden pri vsebnosti KPK in celotnega organskega ogljika v izcedni vodi. Oba parametra sta merilo za vsebnost organske snovi v procesu, oz. raztopljenih enostavnih organskih spojin, ki jih mikroorganizmi najlaže predelajo v bioplín. Glede na potek anaerobne fermentacije, se tako KPK, kot koncentracija celotnega organskega ogljika nižata s podaljševanjem zadrževalnega časa substrata v reaktorju. Padec organske snovi se dogaja simultano z najvišjo dnevno proizvodnjo bioplina in najvišjo vsebnostjo biometana v bioplinu. Vsebnost KPK v izcedni vodi je tudi po zaustavitvi procesa po 56. dneh ostala visoka, in sicer 6220 mg/L. Podobna koncentracija je bila tudi pred drugim pretokom izcedne vode. Iz rezultata sklepamo, da so se v izcedno vodo iz substrata izprale tudi kompleksnejše spojine organskega materiala, ki ga mikroorganizmi niso sposobni predelati v bioplín (Slika 4.10).



Slika 4.10: Vsebnost KPK, dušika, ogljika in alkalnosti v izcedni vodi.

Najvišjo vsebnost med hlapnimi maš obnimi kislinami dosegata acetna in maslena kislina v za etni fazi procesa anaerobne fermentacije. Po procesu acidifikacije se je proces popolnoma stabiliziral in pri optimalnem, stabilnem delovanju procesa anaerobne fermentacije, so ostale koncentracije vseh hlapnih maš obnih kislin nizke do konca procesa, koncentracije so se le minimalno dvignile ob drugem pretoku izcedne vode (Slika 4.11).



Slika 4.11: Vsebnost hlapnih maš obnih kislin v izcedni vodi.

#### 4.2.8 Kurilna vrednost metana in energetska bilanca pilotnega sistema

Kurilna vrednost proizvedenega metana je nizka v primerjavi s kurilno vrednostjo substrata. Iz primerjave z rezultati iz sistema AMPTS lahko razberemo, da smo iz substratov, na katerih ni rastla goba, pridobili več energije v obliki proizvedenega metana. Za vzorce iz sistema AMPTS smo dobili približno 2 kratno koli ino proizvedene energije (2,66 in 2,32 MJ/kg<sub>substrata</sub>) v primerjavi z rezultatom iz pilotne serije poskusov (1,22 MJ/kg<sub>substrata</sub>) (Tabela 4.13).

Tabela 4.13: Kurilna vrednost in izkoristek vzorca anaerobne fermentacije v trdnem stanju.

Vzorec	$H_c^{\circ}$ / (MJ/kg <sub>substrata</sub> )	$H_c^{\circ}$ CH <sub>4</sub> / (MJ/kg <sub>substrata</sub> )	y /%
3. reaktor (1)	17,44	1,22	7,00

Pri vseh vzorcih, preraš enih z glivo, je bila kurilna vrednost proizvedenega metana nižja od vrednosti pridobljene iz pilotnega sistema. Predvidevamo, da so razlike v doprinosu kurilne vrednosti posledica različnih obremenitev reaktorjev (tekočina, trdna fermentacija), v sistemu AMPTS je bilo vpeljano mehansko mešanje reakcijske brozge in sistem smo zagnali z aktivno anaerobno združbo. Pilotni sistem je deloval brez mehanskega mešanja, anaerobno združbo smo vzdrževali z obtakanjem izcedne vode med reaktorji, v reaktorje ni bila dodana eksterna anaerobna združba. Tudi temperaturni nivo delovanja obeh sistemov je bil različen. Predpostavljamo, da je k višji donosnosti sistema AMPTS prispevala tudi mehanska predobdelava substratov, saj smo vzorce za uporabo v sistemu AMPTS fino zmleli, medtem ko so bili vzorci za pilotni sistem mnogo večji, saj so bili zdrobljeni le z vrtnim drobilnikom. S sistemom AMPTS pridobimo podatke o maksimalni proizvodnji biometana, ki je mogoča za posamezen vzorec. Pilotni sistem posnema obratovanje sistema v industrijskem merilu in v manjšem volumnu.

Pri obratovanju pilotnega sistema smo spremljali porabo električne energije pri obratovanju vrtnega drobilnika, s katerim smo mleli LB, pri obratovanju procesa smo merili porabljeni električni energiji za delovanje električnih grelnih kablov, pretakanja izcedne vode in *online* beleženje temperature ter delovanje prenosnega merilnika za analizo vsebnosti plinov.

Za obratovanje reaktorja, katerega delovanje smo podrobno predstavili v prejšnjih razdelkih, smo izračunali celotno porabo električne energije, ki smo jo porabili za delovanje reaktorja v 56. dneh. Celotna poraba energije je znašala 120 kWh. Od tega so največji porabnik električne energije grelni kabli, katerih poraba predstavlja kar 99 % celotne porabe električne energije. Zraven grelnih kablov je bil na električno omrežje neprekinjeno priklopljen še sistem beleženja temperatur v reaktorjih. Kabelske žarpalke za pretakanje izcedne vode so delovale zgolj 1 min/dan, saj smo pretok izcedne vode vršili enkrat dnevno. Enkrat na dan smo spremljali tudi sestavo bioplina. Porabljeni električni energiji pretvorjena v MJ predstavlja 435 MJ porabljeni energiji za obratovanje enega reaktorja v sistemu.

Iz rezultatov energetske bilance je razvidno, da deluje reaktor pilotnega sistema z veliko izgubo. Vzrok za to je v viru ogrevanja reaktorja, saj grelni kabli predstavljajo velikega porabnika elektri ne energije. Glavni namen vzpostavitve pilotnega sistema je bila študija možnosti proizvodnje bioplina iz LB in vpliva pretakanja izcedne vode na proizvodnjo bioplina iz LB. Pilotni sistem je bil sestavljen za doseganje optimalne strukture procesa. Na tem nivoju poraba elektri ne energije ni tako pomembna, kot je pri vzpostavitvi anaerobne fermentacije na industrijskem merilu, na katerem se morajo preu iti vsi prenosи topote, ki jih lahko koristno uporabimo pri na rtovanju procesa, vsekakor pa mora veljati na elo pozitivne energetske bilance, da je proces ekonomsko upravi en (Tabela 4.14).

Tabela 4.14: Energetska bilanca reaktorja iz pilotnega sistema.

	poraba	proizvodnja	razlika
A <sub>el</sub> /MJ	435	63	-372

Kot smo ugotovili iz rezultatov iz sistema AMPTS, gojenje glive direktno na substrate pri pogojih uporabljenih v naši študiji, z namenom biološke predobdelave, ni prineslo pozitivnih rezultatov na proizvodnjo bioplina. Alternativo direktnemu gojenju glive na LB substratih predstavlja uporaba njihovih encimov z namenom razgradnje kompleksnih spojin organskega materiala pred procesom anaerobne fermentacije, ki vplivajo na boljši izkoristek procesa anaerobne fermentacije LB. Na svetovnem tržiš u dosegajo encimi visoke cene, zato je nakup encimov za izboljšanje hidrolize v procesu anaerobne fermentacije ekonomsko neupravi en strošek. Iz tega stališ a smo v nadaljevanju naše raziskave sami vzgojili glivo *P. ostreatus*, ekstrahirali encime, jim dolo ili encimske aktivnosti ter v zadnji fazi primerjali u inkovitost razgradnje LB in ostanka po fermentaciji z ekstrahirano mešanico encimov ter z dvema kupljenima komercialnima encimoma. Rezultati eksperimentov, povezanih z gojenjem glive, ekstrakcije encimov, dolo evanje encimskih aktivnosti in encimske hidrolize so predstavljeni v naslednjih razdelkih.

#### 4.3 Rast glive na različnih mešanicah PO in LB

Uporabili smo različne kombinacije PO in LB v gojiših za gojenje glive *P. ostreatus*. Razmerja med PO in LB v gojiših so bila naslednja: 80:20 (PO1), 50:50 (PO2), 20:80 (PO3), kjer vrednost 100 pomeni 5 g suhe snovi uporabljenih biomase za gojiš. Vsako gojiš je smo dobro premešali pred dodatkom rastnega medija.

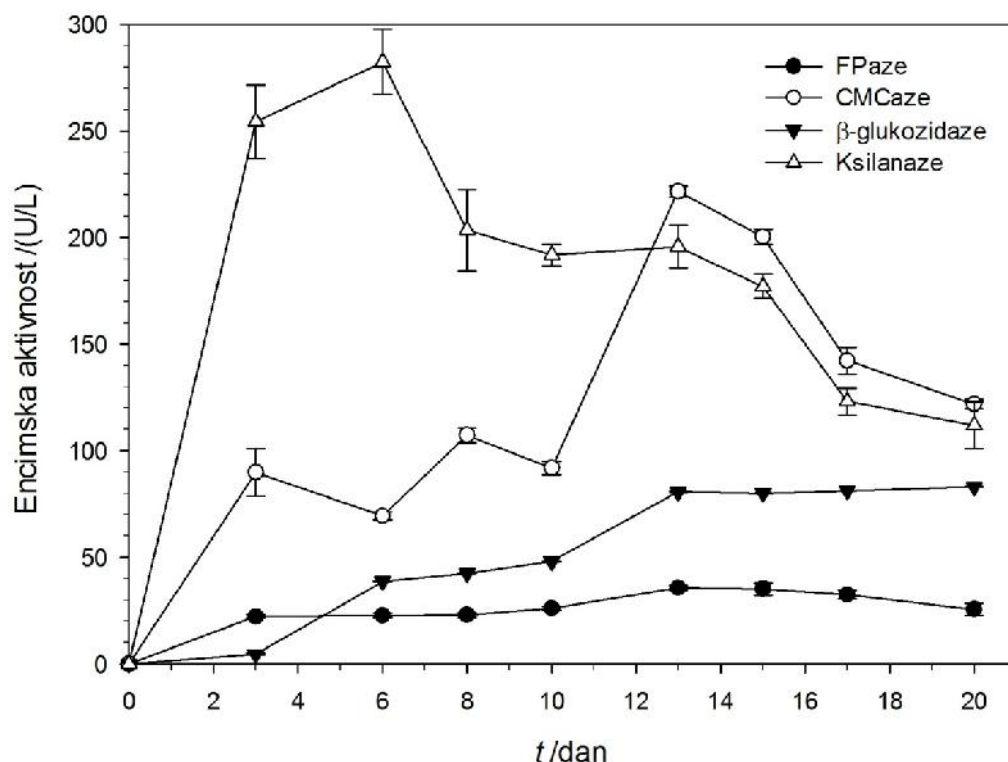
Hitrost rasti glive smo spremljali dnevno vseh 20 dni inkubacije pri starih pogojih, brez svetlobe pri temperaturi  $28 \pm 1^\circ\text{C}$ . Hitrost rasti glive se je razlikovala med gojiši in uporabljenimi v naši študiji. Po inkubaciji gojiš z vceplki gliv smo zaznali najintenzivnejšo rast micelija po treh dneh na gojiš u PO1. V nasprotju je bila rast micelija po treh dneh na gojiš u PO3 komaj zaznavna. V naslednjih dneh je bila rast glive zelo intenzivna, po šestih dneh je že bila pokrita celotna površina PO1 gojiš a, sedmi dan je bila pokrita površina na gojiš u PO2 in osmi dan je bila pokrita površina tudi na gojiš u PO3, ki je vsebovalo najvišji delež LB. V naslednjih dneh je bila zaznana rast micelija tudi v globino gojiš a, po petnajstih dneh je gliva prerasla celotno gojiš e na vseh PO substratih. Med paralelktami posameznega gojiša je bila rast micelija zelo skladna. Iz hitrosti rasti micelija smo lahko razbrali, da pove evanje deleža LB v gojišu ne stimulira rasti micelija glive *P. ostreatus*, kar smo potrdili tudi z analizami encimov iz ekstraktov, saj smo najvišje vrednosti encimskih aktivnosti zabeležili za gojiš e PO1, kjer je potekala rast glive najintenzivnejše. Razlike v rasti glive so predstavljene tudi na Sliki 4.12.



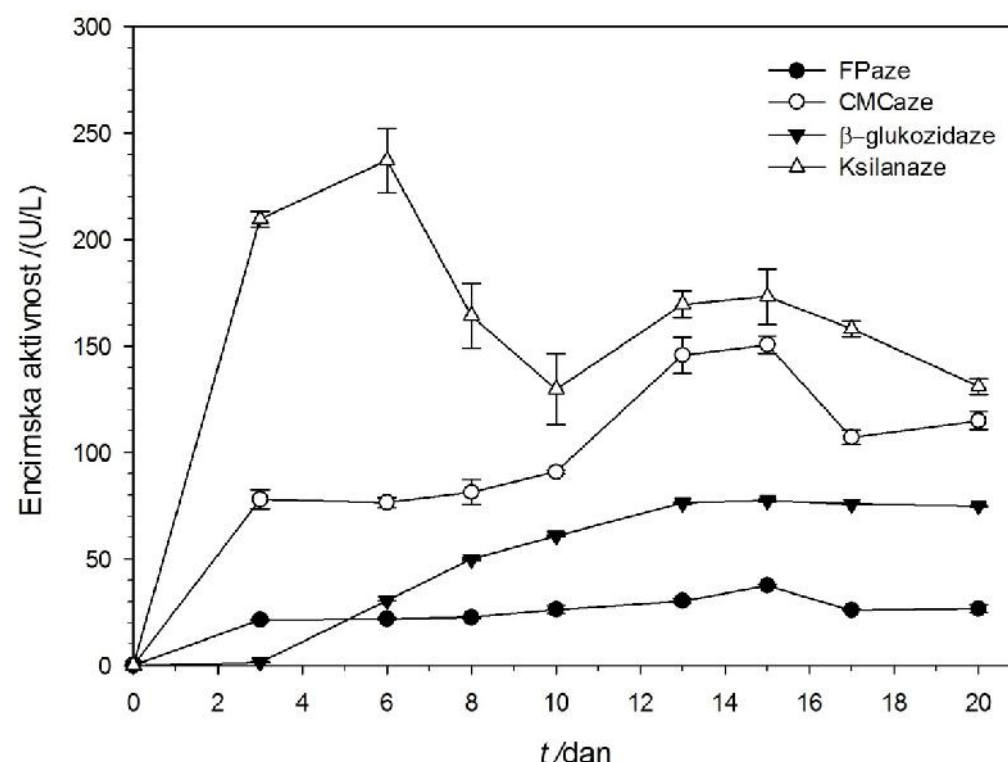
Slika 4.12: Primerjave rasti micelija glive *P. ostreatus* na tretji dan gojenja za substrat z najnižjim deležem LB (a) in z najvišjim deležem LB (b). Slika 4.12 (c) prikazuje hitrost rasti micelija po desetih dneh inkubacije za gojiš e PO1.

#### 4.4 Vpliv sestave substrata in inkubacijskega časa na encimske aktivnosti

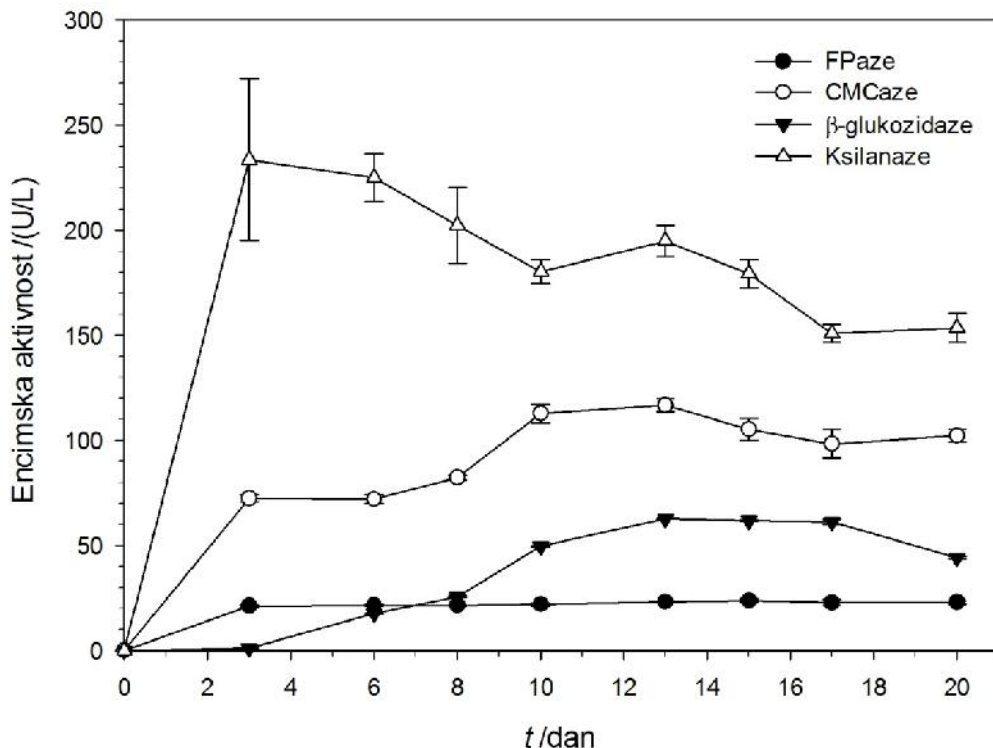
Kot smo sklepali že iz razlik med različnimi hitrostmi rasti micelija pri različnih substratih, smo iz rezultatov encimskih aktivnosti ugotovili razlike tudi pri proizvodnji encimov za različne substrate. Hitrost rasti micelija je bila sorazmerna s proizvodnjo encimov. Najvišje aktivnosti encimov smo namreč zaznali na substratu PO1, kjer je bila rast micelija najintenzivnejša. Slika 4.13, Slika 4.14, Slika 4.15, Slika 4.16, Slika 4.17, Slika 4.18 in Slika 4.19 podajajo vpliv inkubacijskega časa na encimske aktivnosti FPaz, CMCaz, -glukozidaz in ksilanaz za gojiš e PO1, PO2 in PO3. Slika 4.20 prikazuje aktivnost lakaz v odvisnosti od časa za gojiš e PO1, PO2 in PO3.



Slika 4.13: Encimske aktivnosti FPaz, CMCaz,  $\beta$ -glukozidaz in ksilanaz dosežene pri gojenju *P. ostreatus* na PO1 gojiš u.

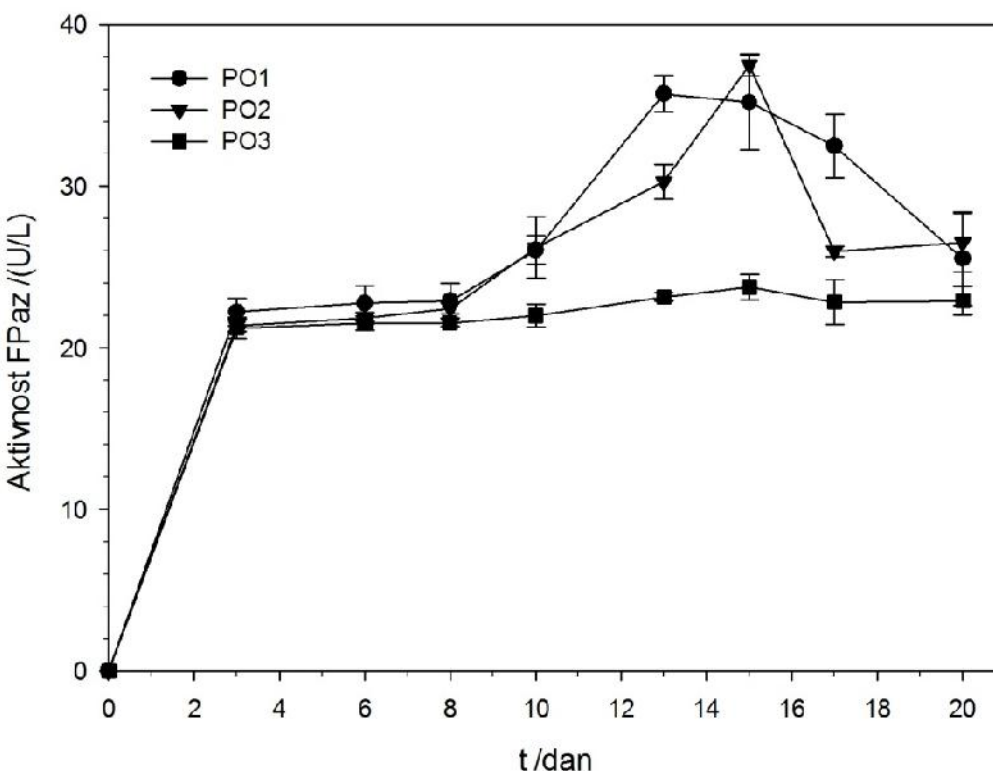


Slika 4.14: Encimske aktivnosti FPaz, CMCaz,  $\beta$ -glukozidaz in ksilanaz dosežene pri gojenju *P. ostreatus* na PO2 gojiš u.



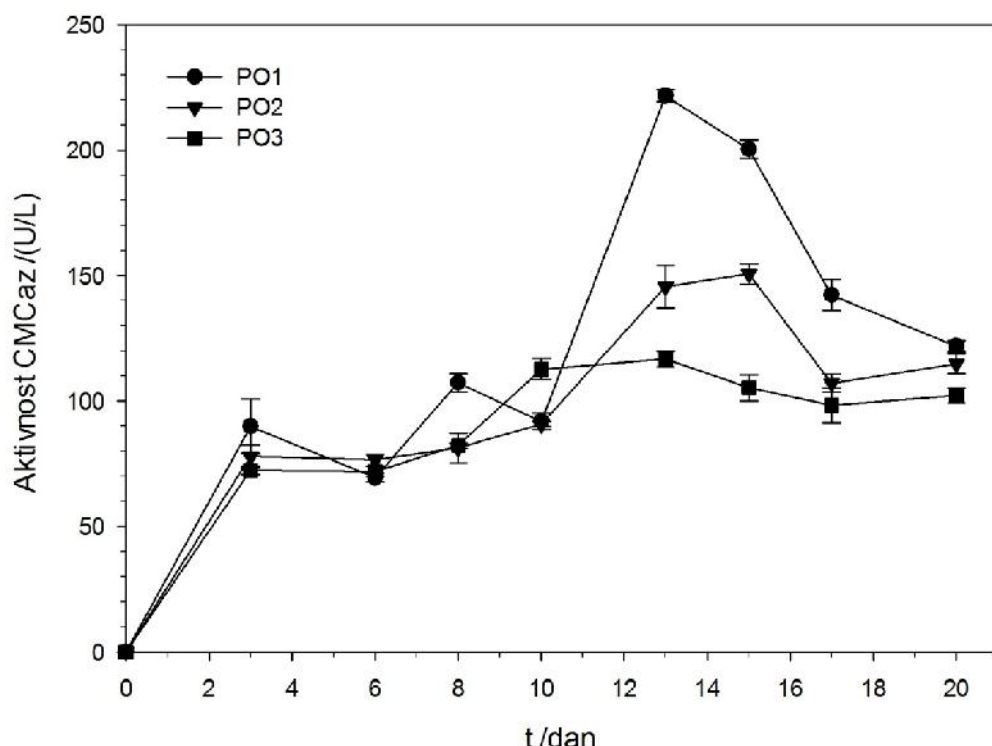
Slika 4.15: Encimske aktivnosti FPaz, CMCaz, -glukozidaz in ksilanaz dosežene pri gojenju *P. ostreatus* na PO3 gojiš u.

Vrednosti encimskih aktivnosti FPaz so bile nizke za vse tri uporabljeni substrate pri gojenju glive *P. ostreatus*. Najvišja dosežena vrednost je bila dosežena 15. dan gojenja pri substratu PO2, ko je bila encimska aktivnost FPaz 37,5 U/L (Slika 4.14 in Slika 4.16).



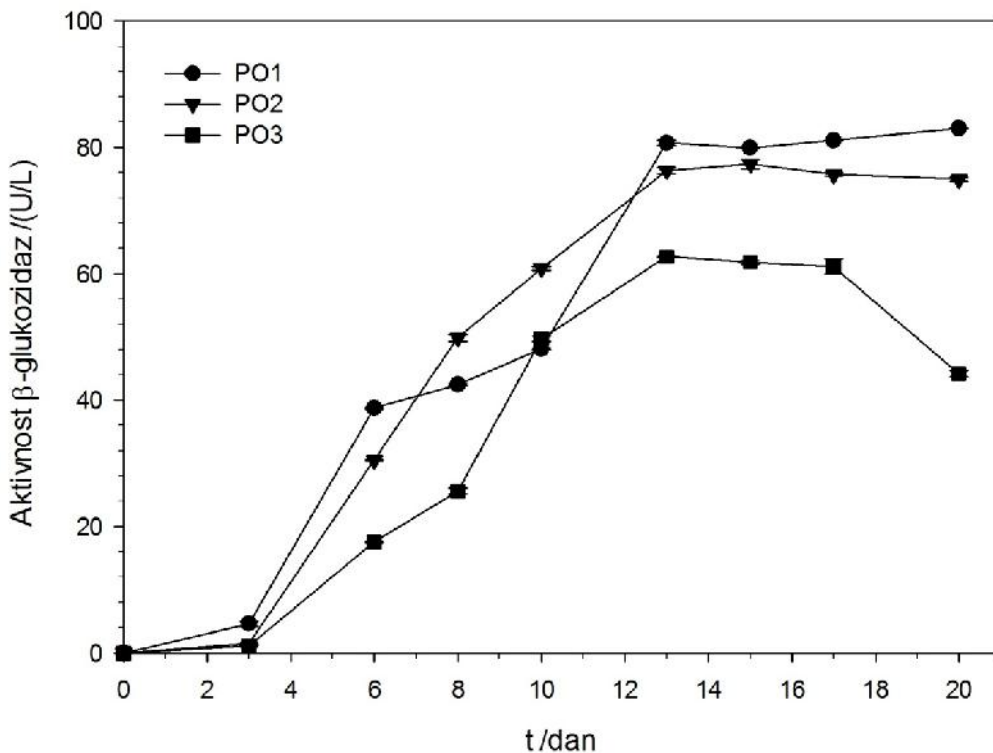
Slika 4.16: Encimske aktivnosti FPaz dosežene pri gojenju *P. ostreatus* na PO1, PO2 in PO3 gojiš ih.

Najvišjo aktivnost CMCaz smo zabeležili na substratu PO1 (Slika 4.13 in Slika 4.17) po 13. dneh gojenja, ko je bila aktivnost 221,7 U/L. Proizvodnja CMCaz se je pove evala z inkubacijskim asom vse do 13. dneva za substrata PO1 (Slika 4.13 in Slika 4.17) in PO3 (Slika 4.15 in Slika 4.17) in do 15. dneva za substrat PO2 (Slika 4.14 in Slika 4.17), ko je aktivnost dosegla najvišjo raven, nato je za elu aktivnost z nadaljevanjem inkubacijskega asa padati. Maksimalne vrednosti CMCaz za PO2 (150,7 U/L) in PO3 (116,7 U/L) substrata so bile nižje v primerjavi z doseženo maksimalno aktivnostjo za PO1 substrat.



Slika 4.17: Encimske aktivnosti CMCaz dosežene pri gojenju *P. ostreatus* na PO1, PO2 in PO3 gojiš ih.

Aktivnosti -glukozidaz so se v odvisnosti od inkubacijskega asa obnašale podobno kot aktivnosti CMCaz, vendar na nižji ravni. Najvišjo aktivnost -glukozidaz smo določili 20. dan fermentacije pri substratu PO1 (Slika 4.13 in Slika 4.18), in sicer je bila maksimalna vrednost 83,0 U/L. Vrednosti aktivnosti -glukozidaz pri substratih PO2 in PO3 so bile na nižji ravni v primerjavi z aktivnostmi pri substratu PO1.

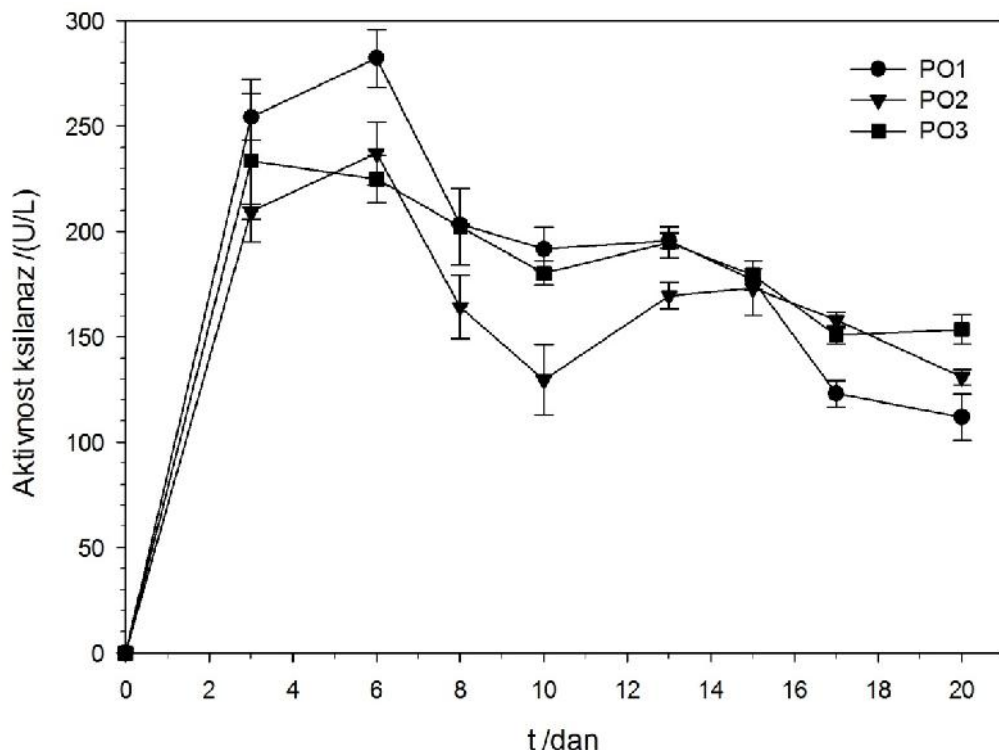


Slika 4.18: Encimske aktivnosti - glukozidaz dosežene pri gojenju *P. ostreatus* na PO1, PO2 in PO3 gojiš ih.

Vrednosti aktivnosti celulaz izražene kot FPaze, -glukozidaze in CMCAze so bile najvišje z uporabo gojiš a PO1, pri katerem smo k PO dodali 20 % LB, kar je najmanjši odstotek dodane LB v primerjavi z gojiš ema PO2 in PO3 (Slika 4.13 do Slika 4.18). Iz rezultatov encimskih aktivnosti celulaz smo zaključili, da pove evanje deleža LB v gojiš ih negativno vpliva na proizvodnjo celulitih nih encimov, kar se je odražalo v nižjih encimskih aktivnostih celulaz za gojiš a PO2 in PO3 v primerjavi z gojiš em PO1.

Rana idr. [104] so raziskovali rast gliv in proizvodnjo lignocelulitih nih encimov štirih vrst *Pleurotus*, ki so jih gojili na trdnih gojiših, kjer so kot substrat uporabili liste ajevca. Nivo rasti glive je podoben obnašanju rasti micelija v naši raziskavi, gliva je popolnoma prerasla substrat listov ajevca v 8. dneh. V vseh obravnavanih vrstah *Pleurotus* so bile aktivnosti celulitih nih encimov zelo nizke v primerjavi z vrstami *Agaricus*, nasprotno so pri vrstah *Pleurotus* dokazali najvišje aktivnosti lakaz. Kurt in Buyukalaca [105] sta študirala sposobnost proizvodnje lakaz in CMCAz z glivama *P. ostreatus* in *P. sajor-cajo* na različnih kmetijskih odpadkih na trdnih gojiših. Aktivnost lakaz je dosegla najvišjo vrednost 10. dan rasti micelija in aktivnost je bila najvišja na gojišu u, ki je vsebovalo PO in nizko C/N razmerje, v primerjavi z ostalimi gojiši, ki so vsebovale PO. Zraven tega so bile aktivnosti CMCAz najvišje na gojiših, ki so vsebovala PO.

Pri proizvodnji ksilanaz smo zaznali najvišje aktivnosti v zgodnji fazi gojenja glive. Najvišja vrednost na gojišu u PO1 je bila dosežena 6. dan inkubacije z vrednostjo 282,4 U/L (Slika 4.13 in Slika 4.19), na gojišu u PO2 je bila najvišja aktivnost 237,1 U/L (Slika 4.14 in Slika 4.19) prav tako po 6. dneh gojenja glive *P. ostreatus*. V primeru uporabljenega PO3 gojiša a, je bila najvišja aktivnost ksilanaz dosežena 3. dan inkubacije, in sicer je bila takrat aktivnost 233,6 U/L (Slika 4.15 in Slika 4.19). Po dosegu maksimalne vrednosti proizvodnje ksilanaz, je le ta poasi padala s podaljševanjem inkubacijskega časa rasti micelija.



Slika 4.19: Encimske aktivnosti ksilanaz dosežene pri gojenju *P. ostreatus* na PO1, PO2 in PO3 gojiš ih.

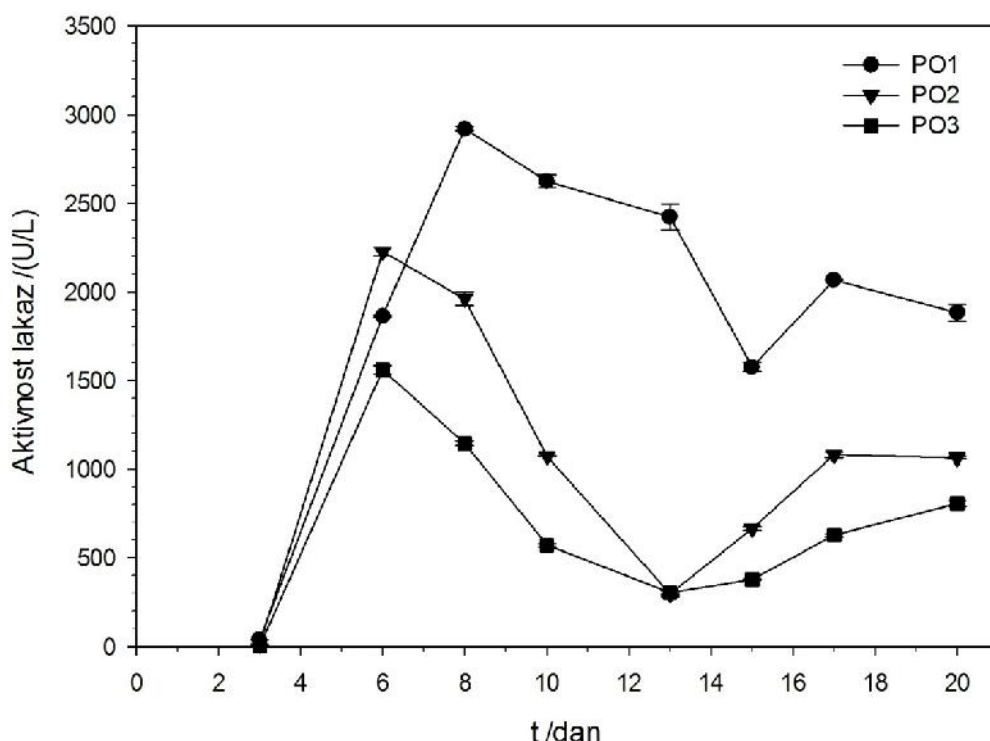
V študijah drugih raziskovalcev se najve kрат pojavi proizvodnja ksilanaz z uporabo razli nih inducerjev, ki spodbujajo proizvodnjo ksilanaz. Kyu idr. [106] so dokazali, da je lahko proizvodnja ksilanaz pove ana z dodatkom kombinacije netopnega ksilana in topnega sladkorja D-arabinoze. Dodatek D-arabinoze k ksilanu so namre uporabili kot gojiš e, s katerim so pridobili visoke aktivnosti ksilanaz. Qinnghe idr. [54] so dokazali veliko više vrednosti aktivnosti ksilanaz (19,98 U/L), kot so bile vrednosti dokazane v naši študiji. Dokazali so, da ima dušik velik vpliv na proizvodnja ksilanaz. Med razli nimi anorganskimi in organskimi viri dušika, je bil pepton najboljši stimulator pri proizvodnji ksilanaz.

Lakaze smo dolo ali z uporabo ABTS kot substrata. Eksperimenti so bili izvedeni brez dodatka bakra, ki velja za sprožitelja spodbujanja proizvodnje lakaz. Donos lakaz glive *P. ostreatus* je v naši študiji mo no variiral glede na uporabljeno trdno gojiš e. Najvišji nivo proizvodnje lakaz smo dolo ili na gojiš u PO1 8. dan inkubacije, ko je bila aktivnost lakaz 2920,0 U/L (Slika 4.20). Takrat je bila celotna površina gojiš a pokrita z micelijem in rast micelija se je že širila tudi v globino gojiš a. Aktivnosti lakaz na gojiš ih PO2 in PO3 so bile nižje, ravno tako pa so bile maksimalne vrednosti dosežene v za etni fazi gojenja *P. ostreatus*. Maksimalna vrednost za PO2 je bila 2226,7 U/L in za PO3 1558,3 U/L (Slika 4.20).

Mirsha in Kumar [101] sta ugotovila, da z ogljikom in dušikom bogate surovine, e so mešane v pravem razmerju, dajejo optimalne pogoje za maksimalno proizvodnjo lakaz brez dodatnih sprožiteljev. Verma in Madamwar [107] poro ata, da dajejo lignocelulozni substrati, ki vsebujejo PO, najviše aktivnosti lakaz in mangan peroksidaz pri uporabi trdnih gojiš . Gupte idr. [108] so raziskovali potencial lignoceluloznih substratov za proizvodnjo ligninoliti nih encimov z gojenjem *Phanerocheate chrysosporium*, *P. ostreatus* in *Trametes versicolor* na trdnih gojiš ih. Aktivnost lakaz je bila najvišja pri glivi *P. ostreatus*, in sicer je bila maksimalna aktivnost zabeležena na za etku inkubacije, ko se je za elu razgradnja

lignina, nato je aktivnost nekoliko padla do konstantnega nivoja, medtem ko je nivo razgradnje lignina ostal konstanten.

Lakaze so bile najbolje izražen encim pri vseh uporabljenih substratih v študiji. Ta rezultat je skladen s splošno ugotovitvijo, da so lakaze zelo razširjene pri glivah bele trohnobe. Predvsem *P. ostreatus*, *P. pulmonarius* in *Ganoderma lucidum* so dobro raziskane glive bele trohnobe in lakaze so v večini primerov predstavljene kot glavni ligninoliti ni encimi pri teh vrstah gliv [109].



Slika 4.20: Encimske aktivnosti lakaz dosežene pri gojenju *P. ostreatus* na PO1, PO2 in PO3  
gojiš ih.

Sposobnost proizvodnje lakaz pri različnih glivah bele trohnobe in na različnih substratih je bila že obravnavana v mnogih študijah. Zaradi visoke katalitske in inkovitosti in širokih oksidativnih zmogljivosti so postale lakaze atraktivni, industrijsko pomembni encimi, ki so sposobni delignifikacije lesne pulpe, razbarvanja in detoksifikacije odpadnih voda papirne industrije, razgradnje toksičnih onesnaževalcev okolja in sintetičnih barvil, ki so karcinogena in nevarna za okolje [110], [111].

Qi-he idr. [112] so raziskovali vpliv hkratne inkubacije dveh vrst gliv bele trohnobe na proizvodnjo encimov, ki razgrajujejo lignin. Hkratna inkubacija *Dichomitus squalens* s *P. ostreatus* stimulira proizvodnjo lakaz v primerjavi s proizvodnjo lakaz pri gojenju monokultur. Pri vseini gojenj, tako kombinacij kot tudi monokultur, so določili najvišje vrednosti proizvodnje lakaz v začetni fazi gojenja gliv.

Iz pridobljenih rezultatov aktivnosti lakaz v naši študiji lahko zaključimo, da je proizvodnja lakaz močno odvisna od sestave gojiša. Vrednosti aktivnosti lakaz so padale s povečanim deležem LB v gojišu, kar pomeni, da je dodatek LB v manjši količini stimulativen za proizvodnjo lakaz, medtem ko večji delež LB v gojišu ne izzove proizvodnje lakaz.

PO zagotavljajo višjim glivam okolje, ki je podobno njihovemu naravnemu habitatiju, ki spodbuja rast micelija in verjetno stimulira izločanje encimov, ki razgrajujejo lignin [113].

PO so poceni in premalo izkoriščeni kmetijski stranski produkt. Beaugrand idr. [114] ter Maes in Delcour [115] so karakterizirali kemijsko sestavo PO, in sicer so sestavljeni iz 30 % hemiceluloze, 10 – 15 % celuloze, 10 – 20 % škroba, 15 – 22 % proteinov in 4 – 8 % lignina ter sledi komponent kot so kutin in lipidi. Predhodne študije so pokazale, da vsebujejo PO optimalno razmerje hrani, ki spodbujajo rast mnogih organizmov [116], [117].

## 4.5 Optimizacija proizvodnje lakaz glive *P. ostreatus* z uporabo Taguchi metode

### 4.5.1 Vpliv parametrov na aktivnost lakaz

Sestava substrata in sestava ter koncentracije posameznih komponent v rastnem mediju so ključna pomena pri fermentaciji v trdnem stanju za proizvodnjo lakaz glive *P. ostreatus*. Preliminarna študija gojenja *P. ostreatus* na različnih gojiščih je pokazala najvišje vrednosti aktivnosti lakaz na gojišču u, ki je vseboval 80 % PO in 20 % LB. Zraven tega so rezultati pokazali najvišjo aktivnost lakaz 8. dan gojenja, ko je bila celotna površina gojišča pokrita z micelijem glive. Aktivnost lakaz je povezana z rastjo micelija, aktivnost se povečuje z rastjo micelija, doseže vrh pri maksimalni rasti micelija in nato hitro pada [104]. Statistična optimizacija faktorjev fermentacije v trdnem stanju za maksimiranje proizvodnje lakaz smo izvedli z uporabo osmih fermentacijskih faktorjev na izbranih nivojih (Tabela 3.2), ki so bili izbrani na osnovi preliminarne študije. Za oceno vpliva procesnih parametrov na proizvodnjo lakaz v fermentaciji v trdnem stanju, smo izvedli eksperimente z uporabo Taguchi L18 ortogonalne matrike. Eksperimenti so pokazali precejšnja nihanja v aktivnosti lakaz pri različnih eksperimentalnih pogojih (Tabela 4.15). Glavni vplivi izbranih faktorjev in dodeljenih nivojih na proizvodnjo lakaz so prikazani v Tabeli 4.16.  $MgSO_4 \cdot 7H_2O$  kaže največji vpliv na nivoju 1, medtem ko imajo pH, glukoza,  $MnSO_4 \cdot H_2O$  največji vpliv na nivoju 2. Na nivoju 3 je največji vpliv izražen z LB, kvasnim ekstraktom, peptonom in  $KH_2PO_4$ . Najvišji vpliv med vsemi obravnavanimi faktorji kaže LB na nivoju 3, to je pri vsebnosti 20 % LB v gojišču s PO. Lignin je ključni faktor, ki lahko vpliva na razlike pri aktivnostih lakaz. Tinoco idr. [118] so ugotovili, da ima dodatek lignina v gojišču močan pozitiven vpliv na proizvodnjo lakaz glive *P. ostreatus*. Pridobljeni rezultati kažejo, da je aktivnost lakaz višja pri pH 6 kot pri pH 5 (Tabela 4.16), kar so potrdili tudi Mikiashvili idr. [119] in Periasamy idr. [120], ki so dosegli maksimalno proizvodnjo lakaz s pH 6 gojitvenega medija. pH vrednost je ena od glavnih operacijskih parametrov, ki vpliva precej na metabolne aktivnosti organizmov [121]. Moharid idr. [122] pojasnjuje, da induktivnosti dodanih pšeničnih otrobov v gojitvenem mediju, ki vplivajo na povišanje aktivnosti lakaz. Kmetijski odpadni materiali, ki so v glavnem sestavljeni iz lignina, celuloze in hemiceluloze, služijo kot glavni vir ogljika in energije za gojenje gliv iz rodu *Pleurotus* [123]. Maksimalna aktivnost lakaz je dosegla vrednost  $26,00 \pm 0,98$  U/g suhe snovi (U/g SS) v eksperimentu številka 17, kot je prikazano v Tabeli 4.15.

Najnižja vrednost aktivnosti lakaz je dosežena na gojiš u 1, in sicer je bila aktivnost lakaz za to gojiš e 10,90 U/g SS, najvišja vrednost, 26,00 U/g SS, pa je bila dosežena na gojiš u 17. Razlika med najnižjo in najvišjo vrednostjo aktivnosti lakaz je velika, kar nakazuje na to, da je sestava gojiš a in rastnega medija zelo pomembna pri gojenju gliv za proizvodnjo encimov (Tabela 4.15).

Tabela 4.15: Eksperimentalni na rt z uporabo Taguchi L18 ortogonalne matrike z rezultati aktivnosti lakaz.

Št. eksperimenta	1	2	3	4	5	6	7	8	Aktivnost lakaz/ (U/g SS)
	Faktorji								
1	1	1	1	1	1	1	1	1	10,90 ± 0,36
2	1	1	2	2	2	2	2	2	17,79 ± 0,44
3	1	1	3	3	3	3	3	3	16,49 ± 1,39
4	1	2	1	1	2	2	3	3	12,47 ± 1,86
5	1	2	2	2	3	3	1	1	19,42 ± 0,14
6	1	2	3	3	1	1	2	2	14,66 ± 0,76
7	1	3	1	2	1	3	2	3	20,21 ± 0,72
8	1	3	2	3	2	1	3	1	24,98 ± 0,63
9	1	3	3	1	3	2	1	2	21,80 ± 0,80
10	2	1	1	3	3	2	2	1	17,23 ± 0,26
11	2	1	2	1	1	3	3	2	18,38 ± 0,36
12	2	1	3	2	2	1	1	3	16,35 ± 1,39
13	2	2	1	2	3	1	3	2	16,39 ± 0,41
14	2	2	2	3	1	2	1	3	20,95 ± 1,86
15	2	2	3	1	2	3	2	1	14,01 ± 1,86
16	2	3	1	3	2	3	1	2	24,73 ± 0,68
17	2	3	2	1	3	1	2	3	26,00 ± 0,98
18	2	3	3	2	1	2	3	1	20,06 ± 1,22

Razlika med nivojem 1 in nivojem 2 ( $N_1 - N_2$ ) vsakega faktorja podaja relativni vpliv na produkt. Ve ja kot je razlika, mo nejši je vpliv. Razlika med nivojem 1 in nivojem 2 je predstavljena v Tabeli 4.16.

Med obravnavanimi faktorji je glukoza pokazala najmo nejši vpliv ( $N_2 - N_1$ ) v primerjavi z ostalimi faktorji. Povišanje vrednosti faktorjev kot so pH, LB, kvasni ekstrakt, pepton in  $KH_2PO_4$  vplivajo na poveano proizvodnjo encima. V primeru glukoze in  $MnSO_4 \cdot H_2O$  je bil donos lakaz najvišji pri vrednostih na nivoju 2, naknadno povišanje vrednosti na nivo 3 zmanjša donosnost lakaz. V primeru  $MgSO_4 \cdot 7H_2O$  je donos lakaz najvišji pri vrednosti na nivoju 1, poveanje vrednosti na nivo 2 in 3 je imelo za posledico nižjo donosnost lakaz.

Tabela 4.16: Tabela srednjih vrednosti (“Ve je je boljše”).

Zap. št.	Faktorji	Nivo 1	Nivo 2	Nivo 3	Mesto	N2 – N1
1	pH	17.64	19.34		5	1.70
2	LB/(%)	16.19	16.31	22.96	1	0.12
3	glukoza/(g/L)	16.99	21.25	17.23	2	4.26
4	kvasni ekstrakt/(g/L)	17.26	18.37	19.84	3	1.11
5	pepton/(g/L)	17.52	18.39	19.55	4	0.87
6	KH <sub>2</sub> PO <sub>4</sub> /(g/L)	18.21	18.38	18.88	8	0.17
7	MgSO <sub>4</sub> ·7H <sub>2</sub> O/(g/L)	19.02	18.32	18.13	7	- 0.70
8	MnSO <sub>4</sub> ·H <sub>2</sub> O/(g/L)	17.77	18.96	18.74	6	1.19

#### 4.5.2 Analiza variance (ANOVA)

Prispevek posameznih faktorjev je ključna pomena za kontrolo izboljšanja proizvodnje lakaz v fermentaciji v trdnem stanju. Za tak pristop smo uporabili ANOVO za analiziranje rezultatov eksperimenta izvedenega po ortogonalni matriki in za določitev variacije glede na vsak faktor.

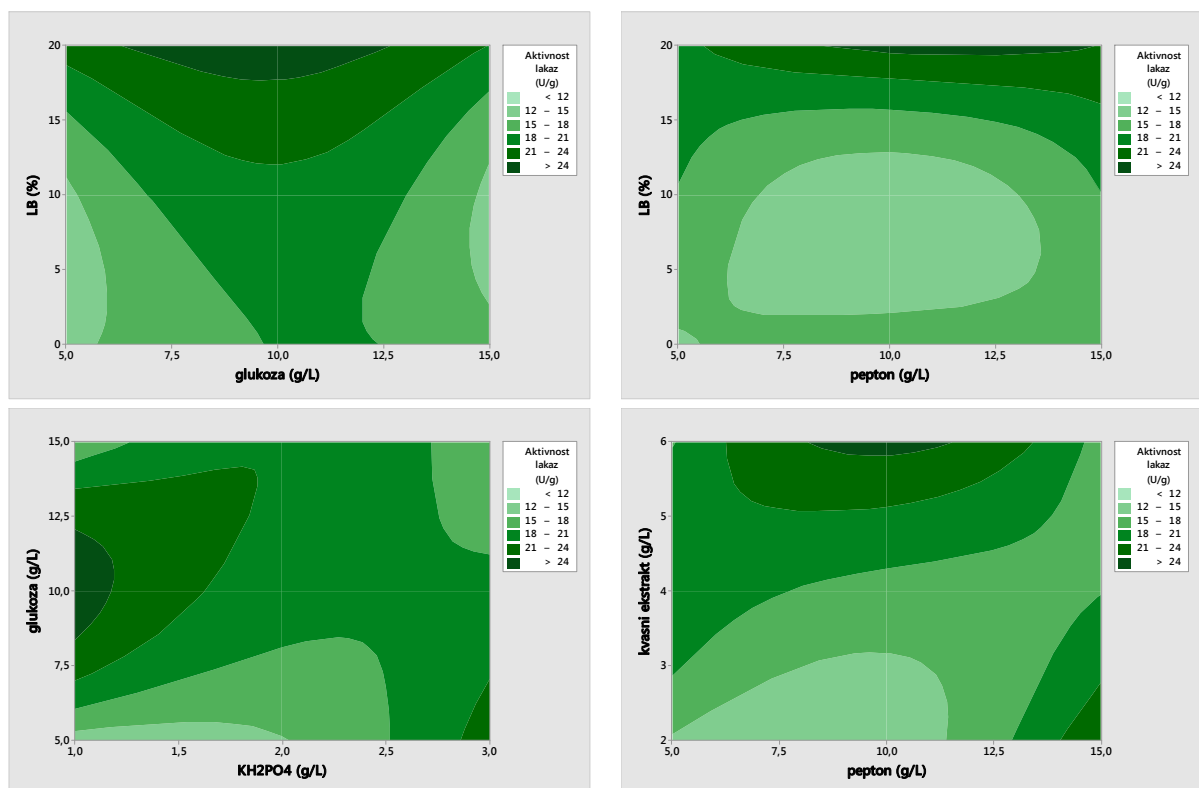
Za rezultate dobljene z ANOVO, z odstotki prispevka posameznega faktorja, smo izvedli analizo z značilnostjo  $\alpha = 0,05$  (stopnja zaupanja 95 %). P je bila P – vrednost višja od 0,05 je bil prispevek tega faktorja nepomemben ali zanemarljiv. Rezultati kažejo, da so imeli KH<sub>2</sub>PO<sub>4</sub>, MgSO<sub>4</sub>·7H<sub>2</sub>O in MnSO<sub>4</sub>·H<sub>2</sub>O zanemarljiv ujem na proizvodnjo lakaz.

Odstotek prispevka smo izračunali za vsak posamezen faktor z razmerjem iste vsote in skupne vsote kvadratov. Najvplivnejši faktor je bila LB z 59,24 % vseh varianc v eksperimentu, temu je sledila glukoza (22,61 %), kvasni ekstrakt (6,58 %), pH (4,30 %), pepton (4,10 %), MnSO<sub>4</sub>·H<sub>2</sub>O (1,59 %), MgSO<sub>4</sub>·7H<sub>2</sub>O (0,87 %) in KH<sub>2</sub>PO<sub>4</sub> (0,47 %). Kot je razvidno iz rezultatov, imata LB in glukoza glavni prispevek pri proizvodnji lakaz v primerjavi z drugimi faktorji vključno enim v eksperimentu. Ob tem lahko iz rezultatov razberemo tudi, da imajo MnSO<sub>4</sub>·H<sub>2</sub>O, MgSO<sub>4</sub>·7H<sub>2</sub>O in KH<sub>2</sub>PO<sub>4</sub> najnižji prispevek pri proizvodnji lakaz, kar pa je skladno tudi s P-vrednostmi in dokazuje njihov zanemarljiv vpliv na proizvodnjo lakaz. Proizvodnja lakaz glive *P. ostreatus* je močno odvisna od virov ogljika in dušika. Drugi dejavniki, o katerih so poročeni v literaturi, ki vplivajo na povišano proizvodnjo lakaz v fermentaciji v trdnem stanju so še kvasni ekstrakt, bakrov sulfat in ferulna kislina pri uporabi sladkornega trsa kot substrata za gojišče [124] (Tabela 4.17).

Tabela 4.17: Analiza variance srednjih vrednosti (ANOVA)

Faktorji	DF	Adj. SS	Adj. MS	F-vrednost	P-vrednost	Prispevek(%)
pH	1	13,066	13,0662	34,20	0,028	4,30
LB/%	2	180,159	90,0795	235,76	0,004	59,24
glukoza/(g/L)	2	68,773	34,3864	90,00	0,011	22,61
kvasni ekstrakt/(g/L)	2	20,010	10,0051	26,19	0,037	6,58
pepton/(g/L)	2	12,458	6,2289	16,30	0,058	4,10
KH <sub>2</sub> PO <sub>4</sub> /(g/L)	2	1,435	0,7175	1,88	0,347	0,47
MgSO <sub>4</sub> ·7H <sub>2</sub> O/(g/L)	2	2,633	1,3166	3,45	0,225	0,87
MnSO <sub>4</sub> ·H <sub>2</sub> O/(g/L)	2	4,831	2,4155	6,32	0,137	1,59
Napaka	2	0,764	0,3821			0,25
Skupno	17	304,129				

Slika 4.21 prikazuje plastne diagrame, ki prikazujejo vpliv interakcije dveh faktorjev na aktivnosti lakaz. Izmed vseh možnih kombinacij faktorjev so predstavljeni plastni diagrami 4 medsebojnih interakcij dveh faktorjev, ki so pokazali največji vpliv na aktivnost lakaz. Predstavljene so interakcije med LB in glukozo, LB in peptonom, kvasnim ekstraktom in peptonom ter glukozo in KH<sub>2</sub>PO<sub>4</sub> in njihov vpliv na proizvodnjo lakaz. 2D plastni diagrami predstavljajo medsebojne povezave med dvema testiranimi spremenljivkama in odnos med odzivi in eksperimentalnimi nivoji posamezne spremenljivke. Različne oblike plastnih diagramov prikazujejo različne interakcije med dvema spremenljivkama, temnejša zelena področja prikazujejo višje aktivnosti lakaz. Vpliv LB in glukoze na aktivnost lakaz prikazuje Slika 4.21 a. Iz slike je razvidno, da je dosegljiva aktivnost lakaz najvišja vrednost pri  $c(\text{glukoza}) = 10 \text{ g/L}$  in 20 % vsebnosti LB v gojišču. To je v skladu z optimalnimi pogojimi za proizvodnjo lakaz, ki so predstavljeni v Tabeli 4.18, iz katere je razvidno, da ima največji vpliv na proizvodnjo lakaz LB na nivoju 3 (20 %), sledi ji glukoza na nivoju 2 (10 g/L). Slika 4.21 b predstavlja interakcije med LB in peptonom in kaže najvišji odziv na aktivnost lakaz pri 20 % LB in  $c(\text{pepton}) = 12,5 \text{ g/L}$ . Eprav glukoza in KH<sub>2</sub>PO<sub>4</sub> vsak za sebe kaže nizek prispevek k aktivnostim lakaz, Slika 4.21 c prikazuje interakcije med glukozo in KH<sub>2</sub>PO<sub>4</sub>, ki kaže visoko aktivnost lakaz pri  $c(\text{glukoza}) = 10 \text{ g/L}$  in  $c(\text{KH}_2\text{PO}_4) = 1 \text{ g/L}$ . Tudi interakcija med kvasnim ekstraktom ( $c = 6 \text{ g/L}$ ) in peptonom ( $c = 10 \text{ g/L}$ ) kaže visoke aktivnosti lakaz na Sliki 4.17 d, kljub temu da je prispevek vsakega posameznega faktorja nizek na proizvodnjo lakaz.



Slika 4.21: Plastni diagrami interaktivnih interakcij, ki vplivajo na aktivnost lakaz za LB in glukozo (a), LB in pepton (b), glukozo in  $\text{KH}_2\text{PO}_4$  (c) in kvasni ekstrakt in pepton (d).

#### 4.5.3 Potrditveni test

Za potrditev pri akovanega rezultata smo opravili potrditveni test (Tabela 4.18) s Taguchi metodo. Izvedli smo fermentacijo *P. ostreatus* v trdnem stanju pri kombinaciji faktorjev na nivojih, ki so bili opredeljeni kot optimalni pogoji za proizvodnjo lakaz.

Tabela 4.18: Optimalni pogoji za proizvodnjo lakaz in njihov prispevek

Zap. št.	Faktorji	Vrednosti	Nivo	Prispevek
1	pH	6	2	0,85
2	LB/%	20	3	4,47
3	glukoza/(g/L)	10	2	2,76
4	kvasni ekstrakt/(g/L)	6	3	1,35
5	pepton/(g/L)	15	3	1,06
6	$\text{KH}_2\text{PO}_4$ /(g/L)	3	3	0,39
7	$\text{MgSO}_4 \cdot 7\text{H}_2\text{O}$ /(g/L)	0.5	1	0,53
8	$\text{MnSO}_4 \cdot \text{H}_2\text{O}$ /(g/L)	0.1	2	0,47

Celoten prispevek vseh faktorjev = 11,88; Trenutno veliko povpre je = 18,49; Pri akovani rezultat pri optimalnih pogojih = 30,37

Po 8. dneh inkubacije, smo fermentacijo prekinili z ekstrakcijo encimov, vzorcem smo doloili lakazno aktivnost. Napovedana vrednost za aktivnost lakaz z uporabo programa

Minitab 17 je bila 30,37 U/g SS. Tabela 4.19 prikazuje primerjavo med napovedano vrednostjo aktivnosti lakaz pri optimalnih pogojih in aktivnostjo lakaz pridobljeno z eksperimentom izvedenim pri optimalnih pogojih.

Tabela 4.19: Rezultati potrditvenega eksperimenta.

	Predvidena vrednost	Eksperimentalna vrednost	Odstotni odmik/ %
Optimalni nivo	A <sub>2</sub> B <sub>3</sub> C <sub>2</sub> D <sub>3</sub> E <sub>3</sub> F <sub>3</sub> G <sub>1</sub> H <sub>2</sub>	A <sub>2</sub> B <sub>3</sub> C <sub>2</sub> D <sub>3</sub> E <sub>3</sub> F <sub>3</sub> G <sub>1</sub> H <sub>2</sub>	
Aktivnost lakaz/ (U/L)	30,37	29,15	4,02

Aktivnost lakaz po izvedenem eksperimentu je bila 29,15 U/g SS, ta vrednost je znotraj 95 % stopnje zanesljivosti in tako v korelaciiji z napovedanim rezultatom. Membrillo idr. [125] so poro ali o maksimalni aktivnosti lakaz 0,04 U/g SS 8. dan gojenja glive *P. ostreatus* IE8 s fermentacijo v trdnem stanju sladkornega trsa z dodatkom amonijevega sulfida. Najvišjo raven aktivnosti lakaz, ki je znašala 15 U/g SS so dosegli tretji do etrti dan fermentacije v trdnem stanju paradižnikove drozge, na kateri so gojili *P. ostreatus* [126]. Isikhuenhen in Mikiashvilli [6] poro ata o aktivnosti lakaz 164,6 U/g pri gojenju *P. ostreatus* MBFBL400 s fermentacijo v trdnem stanju na gojiš u iz pšeni ne same, trdnih odpadkov anaerobne presnove in stelje. Rezultati pridobljeni v našem eksperimentu so skladni z ugotovitvami Staji a idr. [127], ki so zabeležili najvišjo raven lakazne aktivnosti pri fermentaciji v trdnem stanju na gojiš u žagovine iz vinske trte po 10. dneh kultivacije *P. ostreatus* 493, in sicer so dosegli aktivnost lakaz 2144,6 ± 57,8 U/L.

#### 4.6 Encimska hidroliza LB in ostanka po fermentaciji

Primernost uporabe LB kot substrata v mnogih industrijah, vključno s proizvodnjo bioplina, je odvisna od uspešne predobdelave. Pri encimski hidrolizi LB so pomembne ligninaze in celulaze. Alternativa komercialnim encimom je domača proizvodnja encimov, ki jih lahko pridobimo z vrsto organizmov, ki rastejo na lesnih in kmetijskih stranskih produktih. Encimi, ki smo jih uporabili v našem eksperimentu, so bili pridobljeni z gojenjem glive *P. ostreatus*. Za encimsko hidrolizo smo uporabili encime, ki smo jih ekstrahirali 8., 10., in 13. dan gojenja glive, saj so bile aktivnosti lakaz v teh dneh na najvišji ravni. Ekstrakti so bili odvzeti iz gojišča, ki je vsebovalo 20 % LB in 80 % PO, saj so bile vrednosti encimskih aktivnosti najvišje pri tem gojišču. Za ovrednotenje uspešnosti hidrolize z encimskimi ekstraktom, smo za encimsko hidrolizo uporabili še dva komercialna encima, in sicer Celluclast® 1.5L (celulaze glive *Trichoderma reesei*, Sigma Aldrich) in Viscozyme® L (mešanica celulitnih encimov gliv rodu *Aspergillus*, Sigma Aldrich). Specifične encimskie aktivnosti uporabljenih encimov so predstavljene v Tabeli 4.20. Za objektivno primerjavo u inkovitosti encimske hidrolize, smo vse encime redili na enako vsebnost proteinov. Predpostavili smo, da koli ina proteinov v raztopinah predstavlja količino prisotnih encimov. Komercialna encima smo redili s  $c = 50 \text{ mM}$  citratnim pufrom (pH 4,8). Pripravljene raztopine encimov za test encimske hidrolize so tako vsebovale  $0,27 \pm 0,02 \text{ mg/mL}$  proteinov.

Pripravljenim raztopinam encimov smo določili vsebnost FPaz, CMCAz, -glukozidaz, ksilanaz in lakaz. Iz Tabele 4.20 je razvidno, da je vsebnost FPaz in ksilanaz najvišja za Celluclast® 1.5L ( $1,56 \pm 0,05$  in  $3,93 \pm 0,23 \text{ U/mg}$  proteinov), medtem ko je vsebnost CMCAz in -glukozidaz najvišja za Viscozyme® L ( $1,56 \pm 0,20$  in  $0,44 \pm 0,10 \text{ U/mg}$  proteinov). Encimski ekstrakt *P. ostreatus* je vseboval lakaze, medtem ko komercialna encima nista vsebovala lakaz. Specifične aktivnosti FPaz, CMCAz, -glukozidaz in ksilanaz za encimski ekstrakt so bile nizke v primerjavi z aktivnostmi komercialnih encimov in v primerjavi z aktivnostjo lakaz v ekstraktu.

Tabela 4.20: Specifične aktivnosti encimov, uporabljenih za test encimske hidrolize.

encimi	Specifične aktivnosti /(U/mg proteinov)				
	FPaze	CMCAze	-glukozidaze	Ksilanaze	Lakaze
ekstrakt <i>P. ostreatus</i>	$0,11 \pm 0,03$	$0,58 \pm 0,13$	$0,20 \pm 0,01$	$0,71 \pm 0,07$	$9,36 \pm 0,29$
Celluclast® 1.5L	$1,56 \pm 0,05$	$1,51 \pm 0,05$	$0,31 \pm 0,04$	$3,93 \pm 0,23$	0
Viscozyme® L	$0,43 \pm 0,10$	$1,56 \pm 0,20$	$0,44 \pm 0,10$	$1,53 \pm 0,17$	0

Vrednosti predstavljajo povprečne vrednosti treh eksperimentov.

V nadaljevanju smo encimske raztopine uporabili pri encimski hidrolizi LB in trdnega ostanka po anaerobni fermentaciji. Vzorce smo pred testom zmleli v fine delce, manjše od 1 mm. Za primerjavo u inkovitosti encimske hidrolize smo uporabili še mikro kristalini no celulozo (Avicel® PH – 101, Sigma Aldrich). Uspešnost encimske hidrolize smo ovrednotili z vsebnostjo glukoze v raztopinah po končnem testu hidrolize.

Analiza encimske hidrolize LB prikazuje nizko vsebnost glukoze z uporabljenimi komercialnimi encimi Celluclast® 1.5L, medtem ko je vsebnost glukoze pri uporabljenem Viscozyme® L mnogo višja in primerljiva z vsebnostjo glukoze pri uporabljen encimskem ekstraktu. Vsebnost glukoze pri uporabljenem encimskem ekstraktu ( $2,122 \pm 0,039$  g/L) je za 12 % nižja v primerjavi z vsebnostjo glukoze za uporabljen Viscozyme® L ( $2,411 \pm 0,048$ ) (Tabela 4.21).

Tabela 4.21: Vsebnost glukoze po encimski hidrolizi.

Substrat/	vsebnost glukoze /(g/L)		
Encim	Celluclast® 1.5L	Viscozyme® L	encimski ekstrakt
LB	$0,924 \pm 0,032$	$2,411 \pm 0,048$	$2,122 \pm 0,039$
ostanek po fermentaciji	$0,068 \pm 0,009$	$0,033 \pm 0,007$	$0,192 \pm 0,017$
Avicel® PH - 101	$4,201 \pm 0,053$	$2,147 \pm 0,061$	$1,862 \pm 0,029$

Ostanek po anaerobni fermentaciji predstavlja biomasa, kjer so bili lahko razgradljivi polisaharidi porabljeni med procesom fermentacije. Tako so bile v ostanku prisotne le še težko razgradljive spojine, ki jih mikroorganizmi niso bili sposobni razgraditi med procesom anaerobne fermentacije. Rezultati encimske hidrolize ostanka po fermentaciji kažejo nizko vsebnost glukoze pri vseh uporabljenih encimih v primerjavi z vsebnostjo glukoze pri razgradnji LB. Kakorkoli, med rezultati encimske hidrolize ostanka po fermentacije, je bil najboljši rezultat dosežen z encimsko hidrolizo encimskega ekstrakta *P. osteratus* (Tabela 4.21).

U inkovitost encimske hidrolize ostanka po fermentaciji s Celluclast® 1.5L je bila 65 % nižja in z Viscozyme® L je bila kar za 83 % nižja od u inkovitosti z encimskih ekstraktom. Potencialna razlaga za tak rezultat je najverjetneje v sestavi encimskih mešanic, uporabljenih v testu encimske hidrolize. Encimski ekstrakt je vseboval lakaze, medtem ko komercialna encima nista vsebovala lakaz. Lakaze katalizirajo oksidacije razli nih aromatskih in ne-aromatskih spojin, vklju no z ligninom, ki je znan kot obstojna, težko razgradljiva spojina, ki je mikroorganizmi pri anaerobni fermentaciji niso sposobni razgraditi. Ob analiziranih encimih so v raztopinah najverjetneje še tudi drugi encimi, ki jih v naši študiji nismo dolo evali, vendar tudi ti vplivajo na potek encimske hidrolize. Najboljši rezultat pri encimski hidrolizi mikrokristalini ne celuloze smo dosegli z uporabo encimov Celluclast® 1.5L, ki vsebujejo celulaze glive *Trichoderma ressei*. Najnižjo vrednost glukoze smo dolo ili v vzorcu, kjer smo pri encimski hidrolizi uporabili encimski ekstrakt (Tabela 4.21). Rezultat je v skladu z encimskimi aktivnostmi encimskega ekstrakta, pri katerem smo dolo ili nizke vsebnosti celuliti nih encimov. Rezultat encimske hidrolize z encimi Celluclast® 1.5L je pokazal, da celulaze niso u inkovite pri razgradnji LB in ostanka po fermentaciji. Veliko boljše rezultate pri razgradnji LB in ostanka po fermentaciji smo dosegli z encimi Viscozyme® L, ki so skupek razli nih encimov. Iz rezultatov encimske hidrolize lahko zaklju imo, da smo dosegli najvišjo u inkovitost encimske hidrolize LB in ostanka po fermentaciji z multi-encimskim kompleksom, ki vsebuje mnogo razli nih encimov, tako oksidativnih kot tudi hidroliti nih.

Iz ekonomskega vidika uporabe encimske hidrolize za predobdelavo LB in ostanka po fermentaciji lahko zaklju imo, da je uporaba komercialnih encimov omejena zaradi visoke cene. Alternativna je uporaba encimskih ekstraktov pridobljenih z gojenjem gliv na nizko

cenovnih kmetijskih in lesnih ostankih. Tako pridobljeni encimi vsebujejo koktajl razli nih vrst encimov, ki delujejo kompleksno.

Nekaj študij encimskih hidroliz razli nih LB je bilo izvedenih z uporabo razli nih encimskih ekstraktov gliv. Lin Yunqin idr. [128] so preu evali biološko predobdelavo pred anaerobno fermentacijo pulpe in papirne brozge za izboljšanje produktivnosti metana. Uporabili so ekstrakt iz komposta gojiš glive *P. ostreatus* iz ene od farm, kjer so gojijo glivo. Rezultati so pokazali 34 % porast proizvodnje bioplina s predobdelanimi substrati z encimskimi ekstrakti. Encimski ekstrakt ligninaz in celulaz glive *P. ostreatus* in *Phanerochaete chrysosporium* pridobljen s fermentacijo na ostankih bananovcev je bil uporabljen za encimsko hidrolizo bananine kaše [129]. eprav so bile aktivnosti celulaz dva krat višje za glivo *P. chrysosporium*, je encimska hidroliza z ekstraktom glive *P. ostreatus* dosegla 96 % boljši izkoristek v primerjavi z uporabo ekstrakta glive *P. chrysosporium*.

Investicijski stroški predobdelave težko razgradljivih substratov, kot je LB, so trenutno visoki, zaradi visokih stroškov procesne tehnike. Trenutni razvoj v procesu proizvodnje bioplina se osredotoča na znižanje stroškov predobdelave substratov, ki niso namenjeni za prehrano ljudi in živali kot je LB. Z nadaljnjam razvojem bodo lahko stroški znižani do ekonomsko dostopne stopnje. Kakorkoli, predobdelava navadno ni potrebna za substrate z visoko vsebnostjo lahko razgradljivih komponent, ampak tudi pri uporabi takih substratov ob koncu procesa še vedno ostane del težko razgradljivih spojin, ki jih mikroorganizmi niso predelali in so prisotni v trdnem ostanku po fermentaciji. V procesih fermentacije v trdnem stanju za proizvodnjo bioplina, ki navadno delujejo v šaržnih reaktorjih, se zaradi stabilnosti procesa lahko del ostanka vra v ponovno v za etek procesa, saj se s tem lahko pripomore k stabilnosti procesa, zaradi možnega zakisanja procesa v za etni fazi hidrolize in acidogeneze anaerobne fermentacije. Z encimsko obdelavo ostanka, ki ga ponovno vrnemo v proces, lahko zmanjšamo koli ino ostanka po fermentaciji. Ob tem uporaba encimskega ekstrakta predstavlja okolju prijazen postopek predobdelave. Encimi se razgradijo v procesu anaerobne fermentacije.

## 5 Razprava

V laboratorijski raziskavi smo na sistemu AMPTS določili biometanski potencial LB. Vzorca LB sta bila odvzeta v različnem letnem asusu iz CERO Gajke. BMP za sveža substrata LB je imel vrednost 120 in 145 NmL CH<sub>4</sub>/g OS. Rezultat potrjuje našo domnevo, da BMP vzorcev zbranih v različnem letnem asusu ni konstanten, ampak se spreminja glede na trenutno sestavo LB zbrano v lokalnem okolju. BMP LB je primerljiv z vrednostmi, ki jih navajajo drugi raziskovalci za anaerobne fermentacije organske frakcije komunalnih odpadkov v trdnem stanju in višji od BMP za različne lesne biomase. Glede na to, da smo v laboratorijskem merilu ugotovili, da je LB iz lokalnega okolja primerna za uporabo v anaerobni fermentaciji, smo fermentacijo preizkusili še na pilotnem merilu.

Anaerobno fermentacijo smo izvedli v pilotnem sistemu treh reaktorjev s strnjениm slojem z namenom študije možnosti proizvodnje bioplina iz LB v industrijsko primerljivem sistemu. LB smo pridobili v CERO Gajke, kjer je zbirni center za ločeno zbrane frakcije komunalnih odpadkov. LB pred procesom anaerobne fermentacije ni bila obdelana, saj smo v prvi fazi žeeli preizkusiti uinkovitost procesa anaerobne fermentacije v trdnem stanju in termofilnem nivoju za neobdelano LB. LB smo pred za etkom procesa le zmleli z vrtnim drobilnikom, s tem smo povečali aktivno površino delcev LB. Trdna fermentacija ima tudi mnoge prednosti pred tekočo fermentacijo, kot so manjši volumen reaktorja za enako organsko obremenitev, manj gibajočih delcev, manjši energijski vložek za mešanje, lažjo obravnavo ostanka po fermentaciji, večjo toleranco do prisotnosti steklenih, plastiknih in kamnitih delcev med substratom. Pri fermentaciji v trdnem stanju tudi ni težav s plavanjem in razslojevanjem maščobe in vlaken ter s penjenjem substratov.

Pilotni sistem smo načrtovali in zgradili v lastni izvedbi. Naše vodilo pri tem je bilo, da s tem manj stroški izdelamo preprost, a uinkovit pilotni sistem za izvajanje anaerobne fermentacije. Sistem smo sestavili iz treh reaktorjev, saj smo le na tak način lahko zagotovili optimalno pretakanje izcedne vode med reaktorji. Prav vpliv pretakanja izcedne vode med reaktorji na proizvodnjo bioplina je bil parameter, na katerega smo se v tem delu raziskave najbolj osredotočili. Pri izvedbi študij z LB je težko posplošiti rezultate iz vseh izvedenih poskusov, saj se sestava LB spreminja glede na sezonska opravila v gozdovih, parkih in vrtovih. Ne glede na sestavo LB, je pri vseh izvedenih poskusih bilo zaznati enak trend vpliva pretakanja izcedne vode na proizvodnjo bioplina, tudi proizvodnja bioplina se med posameznimi deluji imi reaktorji ni bistveno razlikovala. Z namenom podrobnejšega spremeljanja procesa, smo med procesom anaerobne fermentacije spremljali temperaturo v reaktorju, volumen nastalega bioplina, sestavo bioplina, pH izcedne vode ter vsebnosti hlapnih maščobnih kislin, KPK, celotnega dušika, celotnega organskega ogljika in alkalnosti v izcedni vodi.

Iz pridobljenih rezultatov lahko povzamemo glavno ugotovitev, da ima pretakanje izcedne vode močan pozitiven vpliv na uinkovitost in stabilnost anaerobne fermentacije v trdnem stanju, kot tudi na količino proizvedenega bioplina. Pretakanje izcedne vode v prvi fazi poskrbi za hitro stabilizacijo procesa v reaktorju in hiter dvig dnevnega nastajanja bioplina, saj se iz starega v novi reaktor prenesejo aktivne metanogene bakterije in pH zrele izcedne vode ima vrednost nad 7. S tem v prvi fazi preprečimo zakisanje procesa, saj je proizvodnja hlapnih maščobnih kislin v fazi hidrolize in acidifikacije zelo intenzivna. Po stabilizaciji procesa smo izcedno vodo pretakali znotraj posameznega reaktorja. S tem smo v reaktorju zagotovljali konstantno vlažnost, prenos hraničnih in prenos mikroorganizmov po substratu,

hkrati pa smo s tem ohranjali visok nivo dnevne proizvodnje bioplina. Z drugim pretokom izcedne vode smo iz novega reaktorja prenesli sveža hranila, s katerimi smo dosegli ponovno pove anje dnevne proizvodnje bioplina, kar je doprineslo višjo skupno proizvodnjo bioplina in s tem boljši izkoristek sistema. BMP reaktorja pilotnega sistema je bil 120,95 L CH<sub>4</sub>/kg OS, kar je primerljivo z vrednostmi za BMP iz sistema AMPTS. Za vzorce iz sistema AMPTS smo dobili približno 2 kratno koli ino proizvedene energije (2,66 in 2,32 MJ/kg<sub>s</sub>) v primerjavi z rezultatom iz pilotne serije poskusov (1,22 MJ/kg<sub>s</sub>). Predvidevamo, da so razlike v doprinosu kurične vrednosti posledica razli ne obremenitve reaktorjev (teko a, trdna fermentacija), v sistemu AMPTS je bilo vpeljano mehansko mešanje reakcijske brozge in sistem smo zagnali z aktivno anaerobno združbo. Pilotni sistem je deloval brez mehanskega mešanja, v reaktorje ni bila dodana eksterna anaerobna združba. Tudi temperaturni nivo delovanja obeh sistemov je bil razli en. Predpostavljamo, da je k višji donosnosti sistema AMPTS prispevala tudi mehanska predobdelava substratov, saj smo vzorce za uporabo v sistemu AMPTS fino zmleli, medtem ko so bili vzorci za pilotni sistem mnogo veji, saj so bili zdrobljeni le z vrtnim drobilnikom.

Drugi del raziskovalnega dela je bil namenjen biološki predobdelavi LB, katerega cilj je bil razgradnja LB v preprostejše spojine, ki jih mikroorganizmi v anaerobni fermentaciji lahko u inkovito predelajo v bioplín. Za biološko predobdelavo smo uporabili glivo bele trohnobe *P. ostreatus*, ki smo jo v prvem primeru gojili direktno na LB, v drugem primeru smo za razgradnjo uporabili le encime glive *P. ostreatus*, ki smo jih pridobili z lastno proizvodnjo. U inkovitost razgradnje LB z direktnim gojenjem glive na LB smo preverili z dolo itvijo biometanskega potenciala vzorcem, na katerih smo gojili glivo. Gliva je razli no dolgo rastla na substratih, prav tako je bila gostota razraš enega micelija razli na med vzorci. Rezultati so pokazali, da gojenje glive direktno na substratih, pod pogoji uporabljenimi v naši študiji, negativno vpliva na proizvodnjo bioplina, saj glive za svojo rast porabijo najprej lahko dostopne spojine organske snovi, po razgradnji težje dostopnih pa tudi produkte razkroja uporabijo za svoje potrebe. BMP za sveža substrata LB je imel vrednost 120 in 145 NmL CH<sub>4</sub>/g OS, medtem ko so bili BMP za substrate preraš ene z gobo med 55 in 78 NmL CH<sub>4</sub>/g OS.

S študijo gojenja glive *P. ostreatus* na razli nih gojiš ih smo raziskali sposobnost izlo anja zunajceli nih hidroliti nih in oksidativnih encimov glive *P. ostreatus* v odvisnosti od inkubacijskega asa. Najvišje aktivnosti celuliti nih encimov (FPaz, CMCAz, -glukozidaz), ksilanaz in lakaz smo dosegli na trdnem gojiš u, ki je vsebovalo 80 % PO in 20 % LB. Na ostalih uporabljenih gojiš ih je gliva po asneje rastla in encimske aktivnosti so bile nižje. Aktivnosti celuliti nih encimov in ksilanaz so bile veliko nižje od aktivnosti lakaz, ki so dosegli najvišjo aktivnost 2920,0 U/L na substratu PO1 6. dan gojenja micelija glive *P. ostreatus*. Ker je prav lakaza, med vsemi obravnavanimi encimi, odgovorna za razgradnjo ligninskih komponent in je tudi industrijsko zanimiva, smo v nadaljevanju izvedli eksperiment optimizacije fermentacijskih faktorjev za optimizacijo proizvodnje lakaz.

Taguchi ortogonalno matriko L18 ( $2^1 \times 3^7$ ) smo uporabili pri izvedbi eksperimenta gojenja glive *P. ostreatus* na trdnem gojiš u z namenom maksimiranja proizvodnje lakaz. Med osmimi izbranimi faktorji sta LB in glukoza imeli najveji vpliv na proizvodnjo lakaz. S programom Minitab 17 smo doloili najvišjo vrednost aktivnosti lakaz (30,37 U/g SS), ki bi jo lahko dosegli pri optimalnih pogojih dolo enih s programom. Za potrditev doseganja najvišje vrednosti aktivnosti lakaz, smo izvedli potrditveni eksperiment pri optimalnih pogojih: pH 6, 20 % LB, 10 g/L glukoze, 6 g/L kvasni ekstrakt, 15 g/L pepton, 3 g/L KH<sub>2</sub>PO<sub>4</sub>, 0,5 g/L MgSO<sub>4</sub>·7H<sub>2</sub>O in 0,1 g/L MnSO<sub>4</sub>·H<sub>2</sub>O. Po izvedenem eksperimentu (stati ni pogoji, v temi, inkubacijskem asu 8 dni in temperaturi 28 °C) smo dosegli aktivnosti lakaz 29,15 U/g SS. Doseženi rezultat je bil znotraj 95 % stopnje zanesljivosti, glede na

predvideno maksimalno vrednost proizvodnje lakaz. Taguchi metodo smo uspešno uporabili za testiranje faktorjev gojitvenega medija glive *P. ostreatus* za proizvodnjo lakaz, ki zagotavlja sistemati ni in u inkovit matemati ni pristop do razumevanja kompleksnega procesa proizvodnje lakaz preko optimizacije na rtovanih faktorjev.

Z encimsko hidrolizo LB z encimskim ekstraktom smo pridobili  $2,122 \pm 0,039$  g/L glukoze, kar je za 12 % manj kot smo dosegli z uporabo komercialnega encima Viscozyme® L (mešanica celuliti nih encimov gliv rodu *Aspergillus*), pri katerem smo dolo ili najvišjo aktivnost ksilanaz, ki so odgovorne za razgradnjo komponent v hemicelulozi. Donos glukoze z uporabo encimov Celluclast® 1.5L (celulaze glive *Trichoderma reesei*) je bil za 56 % nižji od donosa glukoze z uporabo encimskega ekstrakta *P. osteratus*. Z encimsko hidrolizo ostanka po fermentaciji smo dosegli nizko donosnost glukoze pri vseh uporabljenih encimih v primerjavi z vsebnostjo glukoze pri razgradnji LB. Med rezultati encimske hidrolize ostanka po fermentaciji, je bil najboljši rezultat dosežen z encimsko hidrolizo encimskega ekstrakta *P. osteratus*. U inkovitost encimske hidrolize ostanka po fermentaciji z Celluclast® 1.5L je bila 65 % nižja in z Viscozyme® L je bila kar za 83 % nižja od u inkovitosti z encimskih ekstraktom. Nizka donosnost pri razgradnji ostanka po fermentaciji je posledica sestave ostanka, saj je organska snov v ostanku za 51 % nižja od organske snovi v LB. Z rezultati encimske hidrolize smo dokazali, da lahko z lastno proizvodnjo proizvedemo mešanico encimov, ki razgrajuje LB s primerljivo u inkovitostjo, kot lahko izvedemo encimsko hidrolizo z dolo enimi komercialno dostopnimi encimi. S poglobljeno študijo gojenja glive, z optimizacijo rastnega medija, kot tudi študijo razli nih ekstrakcijskih metod, bi lahko pridobili višje donosnosti proizvedenih encimov. Gliva *P. ostreatus* ni edina gliva, ki je sposobna proizvodnje hidroliti nih in oksidativnih encimov, smiselno bi bilo preizkusiti tudi gojenje drugih gliv in poskusiti encimsko hidrolizo z razli nimi encimskimi ekstrakti lastne proizvodnje.

Evropska komisija je zastavila cilj do leta 2020, da mora biti 20 % uporabljene energije proizvedeno iz obnovljivih virov energije. Bioplín je obnovljivi vir energije, ki vsebuje 55 – 65 % metana. Predobdelava LB in hidroliza sta podro ji, ki potrebujeta drasti ne izboljšave za ekonomsko sprejemljivo proizvodnjo bioplina iz kompleksnih organskih materialov kot sta LB in mulji istilnih naprav. Kljub novim tehnologijam, s katerimi se je proizvodnja bioplina mo no izboljšala, obstajajo še vedno izzivi, ki potrebujejo nadaljnje preiskave. Eden od izzivov se nanaša na podro je LB, saj predstavlja LB precej neizkoriš en vir obnovljive energije za bioplín. Mnogo faktorjev, kot so vsebnost lignina, kristalini nost celuloze in velikost delcev, omejuje razgradnjo hemiceluloze in celuloze v LB. Visoke cene komercialnih encimov omejujejo uporabo encimske hidrolize v bioplínarnah. Uporaba encimov za biološko predobdelavo je zanimiva tudi iz okoljevarstvenega vidika, saj pri uporabi encimov ne prihaja do stranskih produktov in so za okolje popolnoma neškodljivi, za uporabo pa niso potrebni dodatni energetski viri.

## 6 Zaključek

LB je poceni substrat, ki predstavlja alternativni vir obnovljive energije, iz katere se lahko proizvaja tudi bioplín. V nalogi smo ugotovili, da lahko LB iz lokalnega okolja uspešno anaerobno fermentiramo v šaržnih reaktorjih s strnjenim slojem in križnim pretakanjem izcedne vode. Ob tem smo ugotovili, da je pretakanje izcedne vode med reaktorji ključno nega pomena za stabilnost procesa in povečano proizvodnjo bioplína. Prisotnost lignina, kristalinične celuloze in omejena površinska dostopnost zmanjšujejo biorazgradljivost LB, zato velja stopnja hidrolize za fazo ozkega grla v procesu pridobivanja bioplína. Da bi izboljšali učinkovitost procesa anaerobne fermentacije LB, smo le to biološko predobdelali z glivo *P. ostreatus* in encimi proizvedenimi z glivo *P. ostreatus*. Predobdelava z direktnim gojenjem glive *P. ostreatus* na vzorcih LB, pri pogojih uporabljenih v študiji, se je izkazala za neuchinkovito, saj je bil biometanski potencial predobdelanih substratov nižji od substratov, na katerih ni bila uporabljena predobdelava. Na trdnem gojišču, prilagojenem rastnim zahtevam glive, smo uspešno gojili glivo *P. ostreatus* za proizvodnjo celulitih in ligninolitih encimov. Aktivnosti celulitih encimov so bile nizke v primerjavi z aktivnostmi lakaza, ki razgrajujejo ligninske komponente. Ker veljajo lakaze za industrijsko zanimive encime, smo z optimizacijo po Taguchi metodi raziskali vpliv sestave gojišča na produktivnost lakaza. Taguchi metoda z ortogonalno matriko L18 ( $2^1 \times 3^7$ ) se je izkazala za uspešno, saj smo pridobili podatke za sestavo gojišča, na katerem izločili glivo *P. ostreatus* največ lakaza. Encimski ekstrakt glive *P. ostreatus* smo uporabili za encimsko hidrolizo LB in ostanka po fermentaciji. Učinkovitost encimsko hidrolize smo primerjali z uporabo dveh komercialnih encimov. Z encimskim ekstraktom smo pridobili primerljive rezultate s komercialno dostopnimi encimi. Ker predstavlja LB precej neizkorističen vir obnovljive energije, bi bilo raziskave smiselnno nadaljevati na področju razgradnje LB, saj bi na tak način lahko izboljšali izkorističenost potenciala LB kot vira obnovljive energije.

## 7 Literatura

- [1] National Renewable Energy Laboratory NREL. Evaluation of Pretreatments of Biomass for Enzymatic Hydrolysis of Cellulose. BiblioGov; 2012. 80 p.
- [2] Mussatto SI, Teixeira JA. Lignocellulose as raw material in fermentation processes. Curr Res Technol Educ Top Appl Microbiol Microb Biotechnol Méndez-Vilas Ed. 2010;2:897–907.
- [3] Merlin Christy P, Gopinath LR, Divya D. A review on anaerobic decomposition and enhancement of biogas production through enzymes and microorganisms. Renew Sustain Energy Rev. 2014 Jun;34:167–73.
- [4] Pérez J, Muñoz-Dorado J, de la Rubia T, Martínez J. Biodegradation and biological treatments of cellulose, hemicellulose and lignin: an overview. Int Microbiol Off J Span Soc Microbiol. 2002 Jun;5(2):53–63.
- [5] Hurst CJ, Crawford RL. Manual of environmental microbiology. ASM Press; 2002. 1176 p.
- [6] Isikhuemhen OS, Mikiashvili NA. Lignocellulolytic enzyme activity, substrate utilization, and mushroom yield by *Pleurotus ostreatus* cultivated on substrate containing anaerobic digester solids. J Ind Microbiol Biotechnol. 2009 Nov;36(11):1353–62.
- [7] Rashad MM, Abdou HM, Mahmoud AE, Nooman MU, others. Nutritional analysis and enzyme activities of *Pleurotus ostreatus* cultivated on *Citrus limonium* and *Carica papaya* wastes. Aust J Basic Appl Sci. 2009;3(4):3352–60.
- [8] Sánchez C. Lignocellulosic residues: Biodegradation and bioconversion by fungi. Biotechnol Adv. 2009 Mar;27(2):185–94.
- [9] Sun Y, Cheng J. Hydrolysis of lignocellulosic materials for ethanol production: a review. Bioresour Technol. 2002 May;83(1):1–11.
- [10] Binner R, Menath V, Huber H, Thomm M, Bischof F, Schmack D, et al. Comparative study of stability and half-life of enzymes and enzyme aggregates implemented in anaerobic biogas processes. Biomass Convers Biorefinery. 2011 Jan 25;1(1):1–8.
- [11] Romano RT, Zhang R, Teter S, McGarvey JA. The effect of enzyme addition on anaerobic digestion of JoseTall Wheat Grass. Bioresour Technol. 2009 Oct;100(20):4564–71.
- [12] Suárez Quiñones T, Plöchl M, Budde J, Heiermann M. Results of batch anaerobic digestion test – effect of enzyme addition. Agric Eng Int CIGR J. 2012 Mar 15;14(1):38–50.
- [13] Ziemiński K, Romanowska I, Kowalska M. Enzymatic pretreatment of lignocellulosic wastes to improve biogas production. Waste Manag. 2012 Jun;32(6):1131–7.
- [14] Adhikari R, Juanga JP, Visvanathan C. Anaerobic digestion of municipal solid waste in thermophilic sequential batch process, 2014.  
[http://www.researchgate.net/publication/240611207\\_Ananaerobic\\_digestion\\_of\\_municipal\\_solid\\_waste\\_in\\_thermophilic\\_sequential\\_batch\\_process](http://www.researchgate.net/publication/240611207_Ananaerobic_digestion_of_municipal_solid_waste_in_thermophilic_sequential_batch_process) (dostop: 30.1.2015)
- [15] Brown D, Shi J, Li Y. Comparison of solid-state to liquid anaerobic digestion of lignocellulosic feedstocks for biogas production. Bioresour Technol. 2012 Nov;124:379–86.
- [16] Zheng Y, Zhao J, Xu F, Li Y. Pretreatment of lignocellulosic biomass for enhanced biogas production. Prog Energy Combust Sci. 2014 Jun;42:35–53.
- [17] Kim S, Holtzapple MT. Effect of structural features on enzyme digestibility of corn stover. Bioresour Technol. 2006 Mar;97(4):583–91.
- [18] Yang B, Wyman CE. Pretreatment: the key to unlocking low-cost cellulosic ethanol. Biofuels Bioprod Biorefining. 2008 Jan 1;2(1):26–40.

- [19] Sticklen M. Plant genetic engineering to improve biomass characteristics for biofuels. *Curr Opin Biotechnol.* 2006 Jun;17(3):315–9.
- [20] Pandey JK, Kim C-S, Chu W-S, Lee CS, Jang D-Y, Ahn S-H. Evaluation of morphological architecture of cellulose chains in grass during conversion from macro to nano dimensions. *E-Polym.* 2009 Dec 1;9(1):1221–35.
- [21] Sjöström E. *Wood Chemistry: Fundamentals and Applications.* Gulf Professional Publishing; 1993. 320 p.
- [22] Pictures for Lignocellulose structure  
<http://biofuel.webgarden.com/sections/blog/pictures-for-lignocellulose> (dostop: 26. 10. 2014)
- [23] Zhang Y-HP, Lynd LR. Toward an aggregated understanding of enzymatic hydrolysis of cellulose: noncomplexed cellulase systems. *Biotechnol Bioeng.* 2004 Dec 30;88(7):797–824.
- [24] Biermann CJ. 2 - Wood and Fiber Fundamentals. V: Biermann CJ, urednik. *Handbook of Pulping and Papermaking (Second Edition).* San Diego: Academic Press; 1996, p. 13–54.
- [25] Hu G, Heitmann JA, Rojas OJ. Feedstock pretreatment strategies for producing ethanol from wood, bark, and forest residues. *BioResources.* 2008 Feb 12;3(1):270–94.
- [26] Hon DN-S, Shiraishi N. *Wood and Cellulosic Chemistry, Second Edition, Revised, and Expanded.* CRC Press; 2000. 930 p.
- [27] Fengel D, Wegener G. *Wood: chemistry, ultrastructure, reactions.* Walter de Gruyter; 1983. 633 p.
- [28] Fan LT, Lee Y-H, Gharpuray MM. The nature of lignocellulosics and their pretreatments for enzymatic hydrolysis. V: *Microbial Reactions.* Springer Berlin Heidelberg; 1982. p. 157–87.
- [29] Buswell JA, Odier E, Kirk TK. Lignin Biodegradation. *Crit Rev Biotechnol.* 1987 Jan 1;6(1):1–60.
- [30] Hahn-Hägerdal B, Galbe M, Gorwa-Grauslund MF, Lidén G, Zacchi G. Bio-ethanol – the fuel of tomorrow from the residues of today. *Trends Biotechnol.* 2006 Dec;24(12):549–56.
- [31] Khanal SK. *Bioenergy and Biofuel from Biowastes and Biomass.* ASCE Publications; 2010. 523 p.
- [32] Sánchez ÓJ, Cardona CA. Trends in biotechnological production of fuel ethanol from different feedstocks. *Bioresour Technol.* 2008 Sep;99(13):5270–95.
- [33] Singhania RR, Sukumaran RK, Patel AK, Larroche C, Pandey A. Advancement and comparative profiles in the production technologies using solid-state and submerged fermentation for microbial cellulases. *Enzyme Microb Technol.* 2010 Jun 7;46(7):541–9.
- [34] Kumar R, Singh S, Singh OV. Bioconversion of lignocellulosic biomass: biochemical and molecular perspectives. *J Ind Microbiol Biotechnol.* 2008 May 1;35(5):377–91.
- [35] Ryu DDY, Mandels M. Cellulases: Biosynthesis and applications. *Enzyme Microb Technol.* 1980 Apr;2(2):91–102.
- [36] Linder M, Teeri TT. The roles and function of cellulose-binding domains. *J Biotechnol.* 1997 Sep 16;57(1–3):15–28.
- [37] Hall M, Bansal P, Lee JH, Realff MJ, Bommarius AS. Biological pretreatment of cellulose: Enhancing enzymatic hydrolysis rate using cellulose-binding domains from cellulases. *Bioresour Technol.* 2011 Feb;102(3):2910–5.
- [38] Lynd LR, Weimer PJ, van Zyl WH, Pretorius IS. Microbial Cellulose Utilization: Fundamentals and Biotechnology. *Microbiol Mol Biol Rev.* 2002 Sep 1;66(3):506–77.

- [39] Yoon LW, Ang TN, Ngoh GC, Chua ASM. Fungal solid-state fermentation and various methods of enhancement in cellulase production. *Biomass Bioenergy*. 2014 Aug;67:319–38.
- [40] Polizeli MLTM, Rizzatti ACS, Monti R, Terenzi HF, Jorge JA, Amorim DS. Xylanases from fungi: properties and industrial applications. *Appl Microbiol Biotechnol*. 2005 Jun;67(5):577–91.
- [41] Wang M, Li Z, Fang X, Wang L, Qu Y. Cellulolytic Enzyme Production and Enzymatic Hydrolysis for Second-Generation Bioethanol Production. V: Bai F-W, Liu C-G, Huang H, Tsao GT, uredniki. *Biotechnology in China III: Biofuels and Bioenergy*. Springer Berlin Heidelberg; 2012. p. 1–24.
- [42] Niladevi KN. Ligninolytic Enzymes. V: Nigam PS nee', Pandey A, urednika. *Biotechnology for Agro-Industrial Residues Utilisation*. Springer Netherlands; 2009. p. 397–414.
- [43] Piontek K, Antorini M, Choinowski T. Crystal structure of a laccase from the fungus *Trametes versicolor* at 1.90-A resolution containing a full complement of coppers. *J Biol Chem*. 2002 Oct 4;277(40):37663–9.
- [44] Claus H. Laccases: structure, reactions, distribution. *Micron*. 2004 Jan;35(1–2):93–6.
- [45] Banci L. Structural properties of peroxidases. *J Biotechnol*. 1997 Mar 14;53(2–3):253–63.
- [46] Pohleven, Franc. Gobje bogastvo Bele krajine. V: Štangelj, M (ur.), idr. Narava Bele krajine. Metlika: Belokranjski muzej, 2013, str. 88-93.
- [47] Young RA, Akhtar M. Environmentally Friendly Technologies for the Pulp and Paper Industry. John Wiley & Sons; 1998. 594 p.
- [48] Liese W. Ultrastructural Aspects of Woody Tissue Disintegration. *Annu Rev Phytopathol*. 1970;8(1):231–58.
- [49] Martínez AT, Speranza M, Ruiz-Dueñas FJ, Ferreira P, Camarero S, Guillén F, et al. Biodegradation of lignocellulosics: microbial, chemical, and enzymatic aspects of the fungal attack of lignin. *Int Microbiol Off J Span Soc Microbiol*. 2005 Sep;8(3):195–204.
- [50] Cohen R, Persky L, Hadar Y. Biotechnological applications and potential of wood-degrading mushrooms of the genus *Pleurotus*. *Appl Microbiol Biotechnol*. 2002 Apr;58(5):582–94.
- [51] Stamets P. Growing Gourmet and Medicinal Mushrooms. 3 edition. Berkeley, Calif: Ten Speed Press; 2000. 614 p.
- [52] Zadražil F. Cultivation of *Pleurotus*. In: chang ST, Hayes WA, urednika. *The Biology and Cultivation of Edible Mushrooms*. Academic Press; 1978. p. 521–572.
- [53] Reddy GV, Ravindra Babu P, Komaraiah P, Roy KRRM, Kothari IL. Utilization of banana waste for the production of lignolytic and cellulolytic enzymes by solid substrate fermentation using two *Pleurotus* species (*P. ostreatus* and *P. sajor-caju*). *Process Biochem*. 2003 May;38(10):1457–62.
- [54] Qinnghe C, Xiaoyu Y, Tiangu N, Cheng J, Qiugang M. The screening of culture condition and properties of xylanase by white-rot fungus *Pleurotus ostreatus*. *Process Biochem*. 2004 Jul 30;39(11):1561–6.
- [55] Gregori A, Švagelj M, Pahor B, Berovi M, Pohleven F. The use of spent brewery grains for *Pleurotus ostreatus* cultivation and enzyme production. *New Biotechnol*. 2008 Oct;25(2–3):157–61.
- [56] Khalil MI, Hoque MM, Basunia MA, Alam N, Khan MA. Production of cellulase by *Pleurotus ostreatus* and *Pleurotus sajor-caju* in solid state fermentation of lignocellulosic biomass. *Turk J Agric For*. 2011 Jul 29;35(4):333–41.

- [57] Ruiz-Rodríguez A, Polonia I, Soler-Rivas C, Wichers HJ. Ligninolytic enzymes activities of Oyster mushrooms cultivated on OMW (olive mill waste) supplemented media, spawn and substrates. *Int Biodeterior Biodegrad.* 2011 Mar;65(2):285–93.
- [58] Dugba PN, Zhang R. Treatment of dairy wastewater with two-stage anaerobic sequencing batch reactor systems — thermophilic versus mesophilic operations. *Bioresour Technol.* 1999 Jun;68(3):225–33.
- [59] Veeken AH, Hamelers BV. Effect of substrate-seed mixing and leachate recirculation on solid state digestion of biowaste. *Water Sci Technol J Int Assoc Water Pollut Res.* 2000;41(3):255–62.
- [60] Kayode Feyisetan Adekunle JAO. A Review of Biochemical Process of Anaerobic Digestion. *Adv Biosci Biotechnol.* 2015;06(03):205–12.
- [61] Cirne D g., Lehtomäki A, Björnsson L, Blackall L l. Hydrolysis and microbial community analyses in two-stage anaerobic digestion of energy crops. *J Appl Microbiol.* 2007 Sep 1;103(3):516–27.
- [62] Taherzadeh MJ, Karimi K. Pretreatment of Lignocellulosic Wastes to Improve Ethanol and Biogas Production: A Review. *Int J Mol Sci.* 2008 Sep 1;9(9):1621–51.
- [63] Vavilin VA, Rytov SV, Lokshina LY. A description of hydrolysis kinetics in anaerobic degradation of particulate organic matter. *Bioresour Technol.* 1996 May;56(2–3):229–37.
- [64] Lai TE, Nopharatana A, Pullammanappallil PC, Clarke WP. Cellulolytic activity in leachate during leach-bed anaerobic digestion of municipal solid waste. *Bioresour Technol.* 2001 Dec;80(3):205–10.
- [65] Fernandes TV, Klaasse Bos GJ, Zeeman G, Sanders JPM, van Lier JB. Effects of thermo-chemical pre-treatment on anaerobic biodegradability and hydrolysis of lignocellulosic biomass. *Bioresour Technol.* 2009 May;100(9):2575–9.
- [66] Mosey FE, Fernandes XA. Patterns of Hydrogen in Biogas from the Anaerobic Digestion of Milk-Sugars. *Water Sci Tachnol.* 1989;21(4/5):187–96.
- [67] Gujer W, Zehnder AJB. Conversion Processes in Anaerobic Digestion. *Water Sci Tachnol.* 1989;15(8/9):127–67.
- [68] Kalyuzhnyi S, Veeken A, Hamelers B. Two-particle model of anaerobic solid state fermentation. *Water Sci Technol J Int Assoc Water Pollut Res.* 2000;41(3):43–50.
- [69] Pesta G. Anaerobic Digestion of Organic Residues and Wastes. V: Oreopoulou V, Russ W, urednika. Utilization of By-Products and Treatment of Waste in the Food Industry. Springer US; 2007. p. 53–72.
- [70] Demirel B, Yenigün O. Two-phase anaerobic digestion processes: a review. *J Chem Technol Biotechnol.* 2002 Jul 1;77(7):743–55.
- [71] Elefsiniotis P, Oldham WK. Influence of pH on the acid-phase anaerobic digestion of primary sludge. *J Chem Technol Biotechnol.* 1994 May 1;60(1):89–96.
- [72] Pavlostathis SG, Giraldo-Gomez E. Kinetics of anaerobic treatment: A critical review. *Crit Rev Environ Control.* 1991 Jan 1;21(5-6):411–90.
- [73] Hwang S, Lee Y, Yang K. Maximization of acetic acid production in partial acidogenesis of swine wastewater. *Biotechnol Bioeng.* 2001 Dec 5;75(5):521–9.
- [74] Shively JM, Barton LL. Variations in autotrophic life. London; San Diego: Academic; 1991.
- [75] Xing J, Criddle C, Hickey R. Effects of a long-term periodic substrate perturbation on an anaerobic community. *Water Res.* 1997 Sep;31(9):2195–204.
- [76] Salminen E, Rintala J, Lokshina LY, Vavilin VA. Anaerobic batch degradation of solid poultry slaughterhouse waste. *Water Sci Technol J Int Assoc Water Pollut Res.* 2000;41(3):33–41.

- [77] Sekiguchi Y, Kamagata Y, Harada H. Recent advances in methane fermentation technology. *Curr Opin Biotechnol.* 2001 Jun;12(3):277–82.
- [78] Boone DR, Castenholz RW, Garrity GM, uredniki. *Bergey's Manual® of Systematic Bacteriology*. Springer New York; 2001.
- [79] Ferry JG. Enzymology of the fermentation of acetate to methane by *Methanosarcina thermophila*. *BioFactors*. 1997 Jan 1;6(1):25–35.
- [80] Chugh S, Chynoweth DP, Clarke W, Pullammanappallil P, Rudolph V. Degradation of unsorted municipal solid waste by a leach-bed process. *Bioresour Technol.* 1999 Aug;69(2):103–15.
- [81] Kangle KM, Kore SV, Kore VS, Kulkarni GS. Recent trends in anaerobic codigestion; A review. *Univers J Environ Res Technol.* 2012;(2):210–9.
- [82] Mata-Alvarez J. *Biomethanization of the Organic Fraction of Municipal Solid Wastes*. IWA Publishing; 2003. 292 p.
- [83] Harmon JL, Svoronos SA, Lyberatos G, Chynoweth D. Adaptive temperature optimization of continuous anaerobic digesters. *Biomass Bioenergy*. 1993;5(3-4):279–88.
- [84] Kim DH, Oh SE. Continuous high-solids anaerobic co-digestion of organic solid wastes under mesophilic conditions. *Waste Manag.* 2011 Oct;31(9-10):1943–8.
- [85] Zaher U, Li R, Jeppsson U, Steyer JP, Chen S. GISCOD: General Integrated Solid Waste Co-Digestion model. *Water Res.* 2009 Jun;43(10):2717–27.
- [86] Nayono SE. *Anaerobic Digestion of Organic Solid Waste for Energy Production*. KIT Scientific Publishing; 2010. 152 p.
- [87] Braun R. *Anaerobic digestion: a multi-faceted process for energy, environmental management and rural development*. V: Ranalli P, urednik. *Improvement of Crop Plants for Industrial End Uses*. Springer Netherlands; 2007. p. 335–416.
- [88] Mudrack K, Kunst S. *Biologie der Abwasserreinigung*. 5. Aufl. Heidelberg: Spektrum Akademischer Verlag; 2003. 206 p.
- [89] Chynoweth DP, Bosch G, Earle JFK, Legrand R, Liu K. A novel process for anaerobic composting of municipal solid waste. *Appl Biochem Biotechnol.* 1991 Mar;28-29(1):421–32.
- [90] Montgomery DC. *Design and Analysis of Experiments*. John Wiley & Sons; 2005. 643 p.
- [91] Taguchi G, Chowdhury S, Wu Y. *Taguchi's Quality Engineering Handbook*. Wiley; 2005. 1708 p.
- [92] Jej i V, Poje T. Bioplín v kmetijstvu. Informacije za proizvodnjo bioplina v Sloveniji. Kmetijski inštitut Slovenije;  
<http://www.biogasregions.org/doc/brochures/AIS.pdf/> (dostop: 21. 8. 2015).
- [93] Eaton AD, Franson MAH. *Standard Methods for the Examination of Water & Wastewater*. American Public Health Association; 2005. 1382 p.
- [94] Dearman B, Marschner P, Bentham RH. Methane production and microbial community structure in single-stage batch and sequential batch systems anaerobically co-digesting food waste and biosolids. *Appl Microbiol Biotechnol.* 2006 Jan;69(5):589–96.
- [95] Geotech. GA2000Plus Gas Analyser Operating Manual 2010.  
<http://www.keison.co.uk/products/geotechnical/GA2000Manual.pdf/> (dostop: 15. 9. 2015).
- [96] Miller GL. Use of Dinitrosalicylic Acid Reagent for Determination of Reducing Sugar. *Anal Chem.* 1959 Mar 1;31(3):426–8.
- [97] Zhang YHP, Hong J, Ye X. Cellulase Assays. V: Mielenz JR, urednik. *Biofuels*. Humana Press; 2009. p. 213–31.

- [98] Ghose TK. Measurement of cellulase activities. *Pure Appl Chem.* 1987 Jan;1;59(2): 257-68.
- [99] Ghose TK, Bisaria VS. Measurement of hemicellulase activities: Part I Xylanases. *Pure Appl Chem.* 1987 Jan 1;59(12): 1739-51.
- [100] Bailey MJ, Biely P, Poutanen K. Interlaboratory testing of methods for assay of xylanase activity. *J Biotechnol.* 1992 May;23(3):257-70.
- [101] Mishra A, Kumar S. Cyanobacterial biomass as N-supplement to agro-waste for hyper-production of laccase from *Pleurotus ostreatus* in solid state fermentation. *Process Biochem.* 2007 Apr;42(4):681-5.
- [102] Kafle GK, Kim SH, Sung KI. Ensiling of fish industry waste for biogas production: A lab scale evaluation of biochemical methane potential (BMP) and kinetics. *Bioresour Technol.* 2013 Jan;127:326-36.
- [103] Fernández J, Pérez M, Romero LI. Effect of substrate concentration on dry mesophilic anaerobic digestion of organic fraction of municipal solid waste (OFMSW). *Bioresour Technol.* 2008 Sep;99(14):6075-80.
- [104] Rana IS, Rana AS. Lignocellulolytic Enzyme Profile of Agaricus and Pleurotus Species Cultured on used Tea Leaves Substrate. *Lignocellulolytic Enzyme Profile Agaricus Pleurotus Species Cult Used Tea Leaves Substrate.* 2011;11(06):10-4.
- [105] Kurt S, Buyukalaca S. Yield performances and changes in enzyme activities of *Pleurotus* spp. (*P. ostreatus* and *P. sajor-caju*) cultivated on different agricultural wastes. *Bioresour Technol.* 2010 May;101(9):3164-9.
- [106] Kyu KL, Ratanakhanokchai K, Utta pap D, Tanticharoen M. Induction of xylanase in *bacillus circulans* B6. *Bioresour Technol.* 1994;48(2):163-7.
- [107] Verma P, Madamwar D. Production of ligninolytic enzymes for dye decolorization by cocultivation of white-rot fungi *Pleurotus ostreatus* and *phanerochaete chrysosporium* under solid-state fermentation. *Appl Biochem Biotechnol.* 2002 Dec;102-103(1-6):109-18.
- [108] Gupte A, Gupte S, Patel H. Ligninolytic enzyme production under solidstate fermentation by white rot fungi. *J Sci Ind Res.* 2007;66(8):611.
- [109] Arora DS, Sharma RK. Ligninolytic Fungal Laccases and Their Biotechnological Applications. *Appl Biochem Biotechnol.* 2009 Jun 10;160(6):1760-88.
- [110] Chagas EP, Durrant LR. Decolorization of azo dyes by *Phanerochaete chrysosporium* and *Pleurotus sajorcaju*. *Enzyme Microb Technol.* 2001 Nov 5;29(8-9):473-7.
- [111] Levin L, Forchiassin F, Viale A. Ligninolytic enzyme production and dye decolorization by *Trametes trogii*: application of the Plackett-Burman experimental design to evaluate nutritional requirements. *Process Biochem.* 2005 Mar;40(3-4):1381-7.
- [112] Qi-he C, Krügener S, Hirth T, Rupp S, Zibek S. Co-cultured Production of Lignin-Modifying Enzymes with White-Rot Fungi. *Appl Biochem Biotechnol.* 2011 Jun 7;165(2):700-18.
- [113] Papinutti VL, Forchiassin F. Lignocellulolytic enzymes from *Fomes sclerodermeus* growing in solid-state fermentation. *J Food Eng.* 2007 Jul;81(1):54-9.
- [114] Beaugrand J, Reis D, Guillou F, Debeire Philippe, Chabbert B. Xylanase-Mediated Hydrolysis of Wheat Bran: Evidence for Subcellular Heterogeneity of Cell Walls. *Int J Plant Sci.* 2004 Jul 1;165(4):553-63.
- [115] Maes C, Delcour JA. Alkaline Hydrogen Peroxide Extraction of Wheat Bran Non-starch Polysaccharides. *J Cereal Sci.* 2001 Jul;34(1):29-35.
- [116] Babu KR, Satyanarayana T. -Amylase production by thermophilic *Bacillus coagulans* in solid state fermentation. *Process Biochem.* 1995;30(4):305-9.

- [117] Gessesse A, Mamo G. High-level xylanase production by an alkaliphilic *Bacillus* sp. by using solid-state fermentation. *Enzyme Microb Technol.* 1999 Jul 15;25(1–2):68–72.
- [118] Tinoco R, Acevedo A, Galindo E, Serrano-Carreón L. Increasing *Pleurotus ostreatus* laccase production by culture medium optimization and copper/lignin synergistic induction. *J Ind Microbiol Biotechnol.* 2010 Aug 9;38(4):531–40.
- [119] Mikiashvili N, Wasser SP, Nevo E, Elisashvili V. Effects of carbon and nitrogen sources on *Pleurotus ostreatus* ligninolytic enzyme activity. *World J Microbiol Biotechnol.* 2006 Feb 8;22(9):999–1002.
- [120] Periasamy R, Palvannan T. Optimization of laccase production by *Pleurotus ostreatus* IMI 395545 using the Taguchi DOE methodology. *J Basic Microbiol.* 2010 Dec;50(6):548–56.
- [121] Janusz G, Rogalski J, Szczodrak J. Increased production of laccase by *Cerrena unicolor* in submerged liquid cultures. *World J Microbiol Biotechnol.* 2007 May 5;23(10):1459–64.
- [122] Moharib SA, Abdel-Rahman TM, Moussa TA-M, Yehia RS. Effect of media composition on laccase production by *Pleurotus ostreatus* in batch culture. *Electron J Pol Agric Univ.* 2011;14(3):10.
- [123] Adebayo EA, Martinez-Carrera D. Oyster mushrooms (*Pleurotus*) are useful for utilizing lignocellulosic biomass. *Afr J Biotechnol.* 2015 Jan 7;14(1):52–67.
- [124] Karp SG, Faraco V, Amore A, Birolo L, Giangrande C, Soccol VT, et al. Characterization of laccase isoforms produced by *Pleurotus ostreatus* in solid state fermentation of sugarcane bagasse. *Bioresour Technol.* 2012 Jun;114:735–9.
- [125] Membrillo I, Sánchez C, Meneses M, Favela E, Loera O. Effect of substrate particle size and additional nitrogen source on production of lignocellulolytic enzymes by *Pleurotus ostreatus* strains. *Bioresour Technol.* 2008 Nov;99(16):7842–7.
- [126] Iandolo D, Piscitelli A, Sannia G, Faraco V. Enzyme production by solid substrate fermentation of *Pleurotus ostreatus* and *Trametes versicolor* on tomato pomace. *Appl Biochem Biotechnol.* 2011 Jan;163(1):40–51.
- [127] Staji M, Persky L, Friesem D, Hadar Y, Wasser SP, Nevo E, et al. Effect of different carbon and nitrogen sources on laccase and peroxidases production by selected *Pleurotus* species. *Enzyme Microb Technol.* 2006 Jan 3;38(1–2):65–73.
- [128] Yunqin L, Dehan W, Lishang W. Biological pretreatment enhances biogas production in the anaerobic digestion of pulp and paper sludge. *Waste Manag Res J.* 2010 Sep;28(9):800–10.
- [129] Mena-Espino X, Barahona-Pérez F, Alzate-Gaviria L, Rodríguez-Vázquez R, Tzec-Simá M, Domínguez-Maldonado J, et al. Saccharification with *Phanerochaete chrysosporium* and *Pleurotus ostreatus* enzymatic extracts of pretreated banana waste. *Afr J Biotechnol.* 2013 Sep 4;10(19):3824–34.

## 8 Življenjepis

### OSEBNI PODATKI

Belšak Šel Nataša

📍 Spuhlija 10, 2250 Ptuj (Slovenija)  
✉️ natasa.belsak@gmail.com

### DELOVNE IZKUŠNJE

12. 2008–6. 2015

Mlada raziskovalka

ZRS Bistra Ptuj, Ptuj (Slovenija)

### IZOBRAŽEVANJE IN USPOSABLJANJE

10. 2003–9. 2008

Univerzitetna diplomirana inženirka kemijske tehnologije

Raven 7 EOK

Univerza v Mariboru, Fakulteta za kemijo in kemijsko tehnologijo  
Smetanova ulica 17, 2000 Maribor (Slovenija)

Področje: kemijske tehnologije in biokemijske tehnike

9. 1999–6. 2003

Gimnaziska maturantka

Škofijska gimnazija Antona Martina Slomška, Maribor (Slovenija)

Po učnem programu za splošno gimnazijo

### KOMPETENCE

Materni jezik slovenščina

Drugi jeziki

angleščina

nemščina

Drug jezik	RAZUMEVANJE		GOVORJENJE		PISNO SPOROČANJE
	Slušno razumevanje	Bralno razumevanje	Govorno sporazumevanje	Govorno sporočanje	
angleščina	C1	C1	C1	C1	C1
nemščina	B1	B1	B1	A2	A2

Stopnja: A1 in A2: Osnovni uporabnik - B1 in B2: Samostojni uporabnik - C1 in C2: Usposobljeni uporabnik  
Skupni evropski jezikovni okvir

Digitalna kompetenca

SAMOVREDNOTENJE

Obdelava informacij	Komunikacija	Ustvarjanje vsebin	Varnost	Reševanje problemov
Samostojni uporabnik				

Digitalne kompetence - Samoocenjevalna lestvica

UNIVERZA V MARIBORU  
FAKULTETA ZA KEMIJO IN KEMIJSKO TEHNOLOGIJO

**Izjava doktorskega kandidata**

Podpisana **Nataša Belšak Šel**, vpisna številka **95032879**

**izjavljam,**

da je doktorska disertacija z naslovom **Razgradnja lignocelulozne biomase z glivo *Pleurotus ostreatus* pred procesom anaerobne fermentacije v trdnem stanju**

- rezultat lastnega raziskovalnega dela,
- da predložena disertacija v celoti ali v delih ni bila predložena za pridobitev kakršnekoli izobrazbe po študijskih programih drugih fakultet ali univerz,
- da so rezultati korektno navedeni in
- da nisem krsil-a avtorskih pravic in intelektualne lastnine drugih.

Podpis doktorskega kandidata

## Bibliografija kandidata

### LANKI IN DRUGI SESTAVNI DELI

#### 1.01 Izvirni znanstveni lanek

**1.** BRGLEZ, Polonca, HOLOBAR, Andrej, PIVEC, Aleksandra, BELŠAK, Nataša, KOLAR, Mitja. Determination of oxygen by means of a biogas and gas - interference study using an optical tris (4,7-diphenyl-1,10-phenanthroline) ruthenium(II) dichloride complex sensor. *Acta chimica slovenica*, ISSN 1318-0207. [Tiskana izd.], 2012, vol. 59, no. 1, str. 50-58, ilustr. <http://acta.chem-soc.si/59/59-1-50.pdf>. [COBISS.SI-ID [15889686](#)], [JCR, SNIP, WoS do 7. 5. 2014: št. citatov (TC): 1, istih citatov (CI): 1, normirano št. istih citatov (NC): 0, Scopus do 16. 4. 2014: št. citatov (TC): 1, istih citatov (CI): 1, normirano št. istih citatov (NC): 0]

#### 1.05 Poljudni lanek

**2.** BELŠAK, Nataša. Uspešno raziskovalno delo na podro ju ravnanja z razli nimi vrstami vre k. *Ptuj an*, ISSN 1318-8550, 25. jul. 2011, leta 17, št. 7/8, str. 25. [COBISS.SI-ID [23014968](#)]

#### 1.08 Objavljeni znanstveni prispevek na konferenci

**3.** BELŠAK, Nataša, GREGORI, Andrej, LEITGEB, Maja, KLINAR, Dušan, ELAN, Štefan. Uporaba fermentacije v trdnem stanju za proizvodnjo lignoceluloliti nih encimov z glivo Pleurotus ostreatus = Lignocellulolytic enzymes production by Pleurotus ostreatus solid state fermentation. V: Slovenski kemijski dnevi 2015, Ljubljana, 24. - 25. september 2015 = Slovenian Chemical Days 2015, Ljubljana, September 24 - 25, 2015. KAU I , Ven eslav (ur.), et al. *Zbornik referatov in povzetkov*. Ljubljana: Slovensko kemijsko društvo, 2015, str. [1-7]. [COBISS.SI-ID [18979350](#)]

**4.** BELŠAK, Nataša, OSOJNIK RNIVEC, Ilja Gasan, PINTAR, Albin, PIVEC, Aleksandra. Bioplinski potencial trdnih organskih odpadkov biološko pred obdelanih z glivo Pleurotus ostreatus = Biogas potential of organic waste biologically pre-treated with fungi Pleurotus ostreatus. V: KRAVANJA, Zdravko (ur.), BRODNJAK-VON INA, Darinka (ur.), BOGATAJ, Miloš (ur.). *Slovenski kemijski dnevi 2012, Portorož, 12.-14. september 2012 = Slovenian Chemical Days 2012, Portorož, September 12-14, 2012*. Maribor: FKKT, 2012, str. 1-8. [COBISS.SI-ID [5070618](#)]

**5.** BELŠAK, Nataša, ELAN, Štefan, LEITGEB, Maja, PIVEC, Aleksandra. Thermophilic solid state anaerobic digestion of OFMSW in sequential batch reactors. V: *1st International Conference on Waste Management in Developing Countries and Transient Economies, Mauritius, Africa, 5-8 September 2011*. [S. 1.]: Edulink, 2011, str. 1-8, graf. prikazi. [COBISS.SI-ID [23244600](#)]

**6.** BELŠAK, Nataša, PIVEC, Aleksandra, ORI , Miroslav, LEITGEB, Maja, ŠVAGELJ, Mirjan, GREGORI, Andrej. Lignocellulose biomass pretreatment with white and brown rot fungi before the anaerobic digestion process. V: 2nd Conference on Applied Biocatalysis and 7th Meeting of Students and University Professors from Maribor and Zagreb, November 7th and 8th 2011, Maribor, Slovenia. LEITGEB, Maja (ur.), PRIMOŽI , Mateja (ur.). *2nd Conference on "Applied Biocatalysis" and 7th Meeting of Students and University Professors from Maribor and Zagreb, November 7th and 8th 2011, Maribor, Slovenia.* Maribor: Faculty of Chemistry and Chemical Engineering; Zagreb: Faculty of Chemical Engineering and Technology, 2011, 6 str., ilustr. [COBISS.SI-ID [23245368](#)]

**7.** BELŠAK, Nataša, ELAN, Štefan, LEITGEB, Maja, KLINAR, Dušan, PIVEC, Aleksandra. Proces anaerobne digestije organskega odpada v pilotnem sistemu treh zaporednih šaržnih reaktorjev = Anaerobic digestion process of organic waste in pilot system of three sequential batch reactors. V: *Slovenski kemijski dnevi 2010, Maribor, 23. in 24. september 2010.* [Maribor]: FKKT, [2010], 11 str. [COBISS.SI-ID [14428438](#)]

**8.** PIVEC, Aleksandra, LAH, Branko, ŠVAGELJ, Mirjan, KLINAR, Dušan, BEROVI , Marin, BELŠAK, Nataša. Anaerobna digestija lignocelulozne biomase - predhodna obdelava substrata = Anaerobic digestion of lignocellulosic biomass - pretreatment. V: *Slovenski kemijski dnevi 2010, Maribor, 23. in 24. september 2010.* [Maribor]: FKKT, [2010], str. 1-12. [COBISS.SI-ID [34462725](#)]

**9.** BELŠAK, Nataša, ELAN, Štefan, LEITGEB, Maja, KLINAR, Dušan, PIVEC, Aleksandra. Optimizacija procesa anaerobne digestije za proizvodnjo bioplina ter priprava ostanka za odlaganje na deponijo. V: *Slovenski kemijski dnevi 2009, Maribor, 24. in 25. september 2009.* [Maribor]: FKKT, [2009], 9 str. [COBISS.SI-ID [13467670](#)]

#### 1.12 Objavljeni povzetek znanstvenega prispevka na konferenci

**10.** BELŠAK, Nataša, OSOJNIK RNIVEČ, Ilja Gasan, PINTAR, Albin, PIVEC, Aleksandra. Bioplinski potencial trdnih organskih odpadkov biološko pred obdelanih z glivo Pleurotus ostreatus. V: Slovenski kemijski dnevi 2012, Portorož, 12. in 14. september 2012. KRAVANJA, Zdravko (ur.), BRODNJAK-VON INA, Darinka (ur.), BOGATAJ, Miloš (ur.). *Zbornik povzetkov referatov s posvetovanja.* Maribor: FKKT, 2012, str. 187. [COBISS.SI-ID [5073434](#)]

**11.** BELŠAK, Nataša, PIVEC, Aleksandra, ORI , Miroslav, LEITGEB, Maja, ŠVAGELJ, Mirjan, GREGORI, Andrej. Predobdelava lignocelulozne biomase z glivami bele in rjave trohnobe pred procesom anaerobne digestije = Lignocellulose biomass pretreatment with white and brown rot fungi before the anaerobic digestion process. V: 2nd Conference on Applied Biocatalysis and 7th Meeting of Students and University Professors from Maribor and Zagreb, November 7th and 8th 2011, Maribor, Slovenia. LEITGEB, Maja (ur.), PRIMOŽI , Mateja (ur.). *Book of abstracts.* Maribor: Faculty of Chemistry and Chemical Engineering; Zagreb: Faculty of Chemical Engineering and Technology, 2011, str. 18-19. [COBISS.SI-ID [23245624](#)]

#### MONOGRAFIJE IN DRUGA ZAKLJU ENA DELA

#### 2.11 Diplomsko delo

**12.** BELŠAK, Nataša. *Anaerobna digestija biomase v trdnem stanju za proizvodnjo bioplina : diplomsko delo univerzitetnega študijskega programa*. Maribor: [N. Belšak], 2008. 64 f., ilustr. [COBISS.SI-ID [128686301](#)]

2.13 Elaborat, predštudija, študija

**13.** VOVK KORŽE, Ana, PIVEC, Aleksandra, POTISK, Julija, BELŠAK, Nataša. *Strokovne podlage za umešanje ERM na VVO območja na Dravskem polju*. Ptuj: Znanstveno-raziskovalno središče Bistra, 2010. 41 f., ilustr. [COBISS.SI-ID [18470152](#)]

## IZVEDENA DELA (DOGODKI)

3.15 Prispevek na konferenci brez natisa

**14.** BELŠAK, Nataša. *Producija celulolitičnih encimov z glivo Pleurotus ostreatus in encimska hidroliza lignoceluloznega substrata pred procesom anaerobne fermentacije = Production of cellulolytic enzymes by the fungus Pleurotus ostreatus and enzymatic hydrolysis of lignocellulosic substrates prior to the process of anaerobic fermentation* : prispevek na delavnici "Trajnostna potrošnja in proizvodnja v kemijskih in procesnih industrijah", "Zelena topila - Uporabna biokataliza". Univerza v Mariboru, Fakulteta za kemijo in kemijsko tehnologijo, Slomškov trg 15, dvorana Frana Miklošiča, 11. in 12. 11. 2014. [COBISS.SI-ID [25139256](#)]

## SEKUNDARNO AVTORSTVO

Somentor - drugo

**15.** BEZJAK, Jan, BEZJAK, Katja. *Obnašanje različnih vrst vrečk v kompostu, v vodi, na zraku in v zemlji : ekologija z varstvom okolja : raziskovalna naloga*. Ptuj: Osnovna šola Mladika, 2011. 64 str., ilustr. [COBISS.SI-ID [23015224](#)]

**16.** DJAKOVIĆ, Ivana, HORVAT, Larisa. *Informiranje o uporabi in koristna uporaba odpadne kartonske embalaže za tekoča in živila : ekologija z varstvom okolja : raziskovalna naloga*. Ptuj: Osnovna šola Mladika, 2010. 72 f., ilustr. [COBISS.SI-ID [22568760](#)]

**17.** DJAKOVIĆ, Ivana, HORVAT, Larisa. *Zbiranje, predelava in ponovna uporaba kartonske embalaže za tekoča in živila : ekologija z varstvom okolja : raziskovalna naloga*. Ptuj: Osnovna šola Mladika, 2009. 48 f., ilustr. [COBISS.SI-ID [21286200](#)]

Fotograf

**18.** KAFEL, Sašo (urednik), MRŠEK, Nataša (urednik). *Bistroum : zbornik recenzij raziskovalnih nalog*. Ptuj: Znanstvenoraziskovalno središče Bistra, 2011. ISBN 978-961-6253-36-9. [COBISS.SI-ID [67302913](#)]